### ь гричению читочьи

վ. Դ. Ազատյան (դլի. իմբագրի տհղակալ), Մ. Գ. Աղբալյան, Հ. Գ. Ռաբայան, Գ. Հ. Գրիգորյան, Գ. Տ. Բաղևոսյան (գլի. իմբագիր), Վ. Մ. Բառայան, Ա. Մ. Հակոբյան, Հ. Ա. Հարոյան, Ա. Հ. Մանրաշյան, Մ. Գ. Մանվելյան, Լ. Գ. Մելբոնյան, Հ. Հ. Չալթիկյան, Ս. Հ. Վարդանյան, Ս. Ա. Տեր-Դանիելյան (պատ. ջարտուգար), Տ. Վ. Քրմոյան

#### РЕДАКЦИОННАЯ КОЛЛЕГИЯ

С. Г. Агбалян, В. Д. Азатян (зам. главного редактора), А. Н. Акоптн, А. А. Ароян, Г. Г. Бабаян, Г. О. Григорян, С. А. Вартанян, Т. В. Крмоян, М. Г. Манвелян, А. А. Манташян, Л. Г. Мелконян, В. М. Тараян, Г. Т. Татевосян (глав. редактор), С. А. Тер-Даниелян (ответ. секретарь), О. А. Чалтыкян

ы драгория банавый времей 19, Вырый аль руши, 24. Адрес редакции: Ереван-19, Барекамутян, 24.

#### 

XXIV, № 7, 1971

#### ОБЩАЯ И ФИЗИЧЕСКАЯ ХИМИЯ

УДК 541.127+542.943+547.532

## ОКИСЛЕНИЕ БЕНЗОЛА В ГАЗОВОЙ ФАЗЕ

I. КИНЕТИКА НАКОПЛЕНИЯ ФЕНОЛА В РЕАКЦИИ ТЕРМИЧЕСКОГО ОКИСЛЕНИЯ БЕНЗОЛА

А. А МАНТАШЯН, О. М. НИАЗЯН и А. Б. НАЛБАНДЯН Лаборатория химической физики АН Армянской ССР (Ереван) Поступило 18 XII 1970

Изучена реакция термического окисления бензола в фенол. Найдены кинетические закономерности накопления фенола в зависимости от концентрации реагентов в пустом и заполненном кварцевым боем сосудах.

Выявлены новые факты. Для их объяснения сделано предлоложение, что фенол образуется в результате цепной разветвленной реакции, в которой обрыв цепей происходит эффективнее разветвления. Рассмотрен вероятный механизм. Показано, что скорость накопления фенола описывается уравнечием типа  $W = N(1 - e^{-\varphi t})$ .

Рис. 7, библ. ссылок 25.

Окисление бензола в газовой фазе все еще недостаточно исследовано.

В основном изучена феноменология процесса [1—14]. Показано, что процесс подчиняется закономерностям вырожденно-разветвленных цепных реакций. Определены некоторые макрожнетические параметры [8,13]: энергия активации по максимальной скорости [7,14], порядки по компонентам [6,13] и т. д. Только в работах Иоффе [10,11], Норриша и Тейлора [12] предложена конкретная схема образования промежуточного продукта реакции—фенола. Однако эта схема основана на сравнительно небольшом экспериментальном материале и поэтому не может рассматриваться как окончательно установленная.

В данной работе сделана попытка более подробно изучить кинетические закономерности накопления фенола на начальных стадиях окисления бензола.

Опыты проводились в спруевых условиях на установке атмосферного дарления, описанной в работе [8]. Реактором служил кварцевый сосуд сбъемом 22 см³, предварительно промытый плавиковой кислотой. Струя бензола регулировалась изменением температуры в испарителе бензола. Кислород подавался из баллона. Реакпрующая омесь разбавлялась авзтом, подаваемым из баллона. Предварительно подопретая газовая смесь поступала в реактор. Конденсируемые продукты реакции вместе с бензолом вымораживались в ловушках, попруженных в жидкий азот. Определение фенола производилось фотоколориметрически [15].

На рисунке 1 представлены кинетические кривые накопления фенола для реагирующей смеси состава:  $P_{\text{C_6H_6}}=170$ ,  $P_{\text{O_9}}=85$ ,  $P_{\text{N_1}}=425$  мм рт. ст., полученные при различных температурах (600, 640, 660°). Как видно, накопление фенола, в соответствии с данными работ [8,12], происходит с укокорением. Замедление накопления, по-видимому, связано с дальнейшим окислением [16] или распадом фенола.

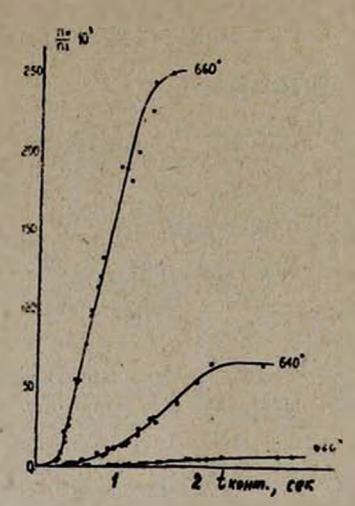


Рис. 1. Кинетика накопления фенола при 600, 640 и 660°.  $P_{C_0H_0}=170~\text{мм}$  рт. ст.,  $P_{O_0}==85~\text{мм}$  рт. ст.,  $P_{N_0}=425~\text{мм}$  рт. ст.,  $\frac{n_\phi}{n_6}$  — мольное отношение фенола к исходному бензолу.

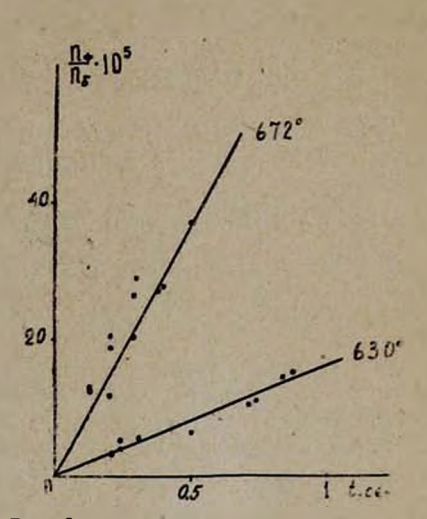


Рис. 2. Кинетика накопления фенола в заполненном реакторе (свободный объем 7 мл) при 630 и 672°,  $P_{\rm C_aH_a}=170$  м.и рт. ст.,  $P_{\rm O_a}=85$  м.и рт. ст., и  $P_{\rm N_a}=425$  м.м рт. ст.,  $\frac{n_{\rm \Phi}}{n_6}$  — мольное отношение фенола к исходному бензолу.

В работе [8] было показано, что изменение S/V (S—поверхность, V—объем реакционного сосуда) влияет на окорость окисления бензола. Нами были поставлены опыты по установлению влияния поверхности на кинетические закономерности накопления фенола. На рисунке 2 приводится кинетика накопления фенола при 630 и 672° в заполненном кв\_рцевым боем сосуде. Как видно из этих данных, увеличение поверхности привело к уменьшению максимальной окорости и исчезновению периода индукции. Этот результат является несколько неожиданным, так как увеличение S/V должно было привести к увеличению периода индукции, а не к сокращению его.

Из данных предыдущих исследований известно, что отношение  $O_2/C_6H_6$  влияет на выход фенола [8], а мажсимальный выход наблюдается при  $O_2/C_6H_6=1$  [12]. Следует опметить, что относительно влияния концентрации кислорода на скорость окисления бензола имеются разноречивые данные [6, 8, 12, 13]. Исходя из этого, в настоящей работе подробно изучено влияние концентрации кислорода на скорость накопления

фенола. Опыты проводились при постоянном общем давлении реагирующей смеси и постоянном парциальном давлении бензола. Концентрация кислорода варьировалась изменением содержания азота.

На рисунке 3 приводится зависимость скорости накопления фенола от концентрации кислорода при  $600^\circ$ ,  $P_{\rm C.H.}=304$  мм рт. ст. и  $t_{\rm конт.}=0.76$  сек (кр. 1). Как видно из приведенных результатов, с увеличением концентрации кислорода скорость накопления фенола растет, достигая предельного значения и далее не меняется. Интересно, что при относительно больших временах контакта ( $t_{\rm конт.}=2.9$  сек) изменение концентрации кислорода в широких пределах не приводит к изменению скорости накопления фенола (кр. 2).

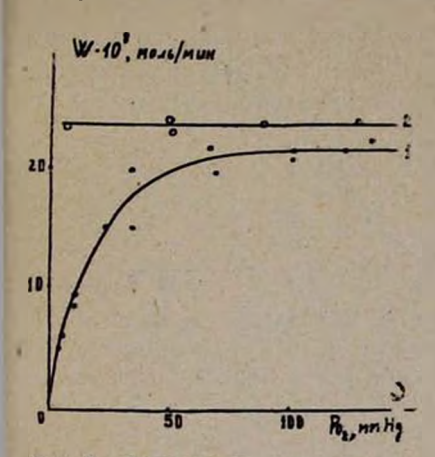


Рис. 3. Зависимость скорости накопления фенола от концентрации кислорода при  $600^\circ$ :  $1-t_{\text{конт.}}=$ -0.76 сек.,  $P_{\text{CuH}_n}=304$  мм рт. ст.,  $2-t_{\text{конт.}}=2.9$  сек.,  $P_{\text{CuH}_a}=345$  м.м рт. ст.

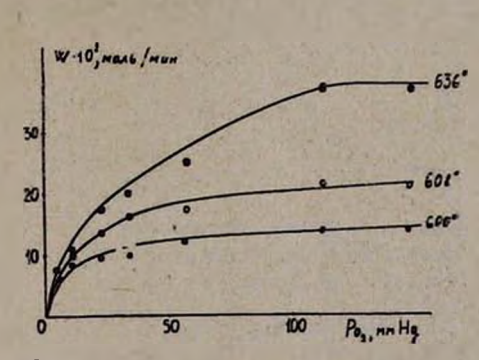


Рис. 4. Зависимость скорости накопления фенола от концентрации кислорода в заполненном реакторе (свободный объем 7 мл) при различных температурах и  $t_{\text{конг.}} = 0.22 \div 0.24$  сек.  $P_{\text{C_0H_0}} = 306$  мм рт. ст.

Результаты опытов в заполненном кварцевым боем сосуде приводятся на рисунке 4. В этом случае зависимость скорости накопления фенола наблюдается в более узком интервале изменения содержания кислорода и при меньших временах контакта ( $t_{\text{конт.}} = 0.24 + 0.22 \, \text{сек}$ ), чем в пустом сосуде (рис. 3). Сопоставление данных, полученных при различных температурах, приводит к выводу, что с увеличением температуры расширяются пределы концентрации кислорода, в которых наблюдается изменение скорости накопления фенола.

В связи с наблюденными закономерностями изучалось также влияние содержания кислорода в реагирующей смеси на период индукции (в пустом сосуде). На рисунке 5 представлены кинетические кривые, полученные при 636°, различных содержаниях кислорода, постоянных содержании бензола и общем давлении. Из кинетических кривых видно, что увеличение концентрации кислорода кокращает период индукции.

Зависимость скорости накопления фенола от концентрации бензолл изучалась при  $600^\circ$ . Опыты проводились при  $t_{\text{коит.}}=1,65\,\text{сек}$  и постоянном содержании кислорода ( $P_{\text{O}}=100\,\text{мм}$  рт. ст.). Из рисунка 6 виднь, что с увеличением концентрации бензола скорость накопления достигает максимального значения и далее не меняется. Порядок реакции по бензолу при малых его концентрациях оказался равным единице.

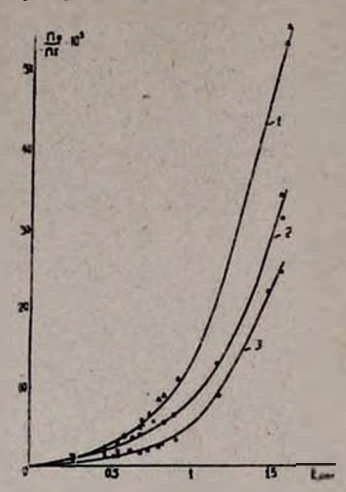


Рис. 5. Кинетика накопления фенола при различных содержаниях кислорода и 636°.

пф — мольное отношение фе-

пола к исходному бензолу.  $1 - P_{C_nH_n} : P_{O_2} : P_{N_2} = 2 : 2 : 4;$   $2 - P_{C_nH_n} : P_{O_2} : P_{N_3} = 2 : 1 : 5;$ 

 $3 - P_{C_{aHs}} : P_{O_2} : P_{N_2} = 2 : 0.25 : 5.75.$ 

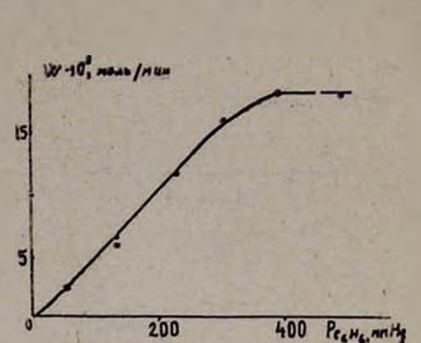


Рис. 6. Зависимость скорости накопления фенола от концентрации бензола при  $T=600^\circ$ ,  $P_{O_d}=100$  мм рт. ст.,  $t_{\text{конт.}}=1,65$  сек.

# Обсуждение результатов

Накопление фенола в пустом сосуде происходит с ускорением (рис. 1), что характерно для цепных разветвленных и вырожденно-разветвленных реакций. Исходя из этого, в соответствии с уравнением

$$W = Ne^{\tau t}, (1)$$

которым описывается протекание указанных реакций во времени [17], по начальным участкам кинетических кривых (рис. 1) определялась величина  $\varphi$ . Оказалось, что при  $600^{\circ}$   $\varphi$ =1,6,  $640^{\circ}$ —2,7 и 660—5,3  $ce\kappa^{-1}$ . Пользуясь этими величинами и имея в виду, что скорости образования и накопления фенола могут совпадать практически только на начальных участках кинетических кривых, мы оценили изменение скорости образования фенола при более высоких временах контакта.

Легко убедиться, что при  $640^{\circ}$  с изменением времени контакта от 0.4 до 3.4 сек скорость образования фенола должна возрасти в  $10^{3.5}$  раз, а при  $660^{\circ}$  с изменением времени контакта от 0.3 до 2.3 сек — в  $10^{1.6}$  раз. Расчет показывает. что в результате этого при  $640^{\circ}$  к моменту  $t_{\text{конт.}} = 3.4$  сек —  $30^{9}/_{0}$  бензола должно было израсходоваться, превращаясь в фенол (если считать, что из одной молекулы бензола образуется одна молекула фенола), а при  $660^{\circ}$  к моменту  $t_{\text{конт.}} = 2.3$  сек — гораздо большая доля. Однако опыты показали, что при  $640^{\circ}$ , когда  $t_{\text{конт.}} = 3.4$  сек и  $660^{\circ}$ , когда  $t_{\text{конт.}} = 2.3$  сек, как и при меньших временах контакта, процент превращения бензола незначителен. В связи с этим противоречием обратим внимание на то, что обычно вырожденно-разветвленные реакции характеризуются сравнительно малыми значениями  $\mathfrak{P}$  [17]. В частности, величина  $\mathfrak{P}$ , вычисленная по данным Хиншельвуда [1], для общего процесса окисления бензола (изменение  $\Delta P$  во времени) оказывается равной 0.0075 сек $^{-1}$  [17].

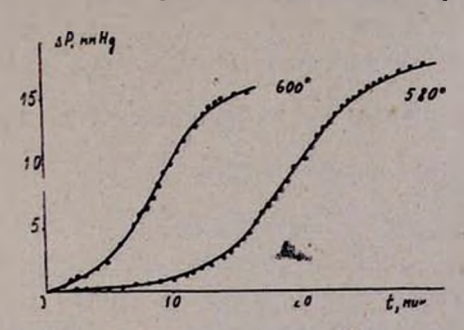


Рис. 7. Кинетика окисления бензола при 580 и 600°.  $P_{C_aH_a}: P_{O_2}=2:1$ ,  $P_{O_1}=75$  мм рт. ст.

Нами специально изучалось термическое окисление бензола в статических условиях при тех составах реагирующей смеси ( $P_{\text{C H}_a} = 50$  мм рт. ст.,  $P_{\text{O}_a} = 50$  мм рт. ст.), при которых исследовалась кинетика накопления фенола (рис. 1). Полученные результаты при 580 и  $600^{\circ}$  в координатах  $\Delta P - t$  представлены на рисунке 7. Вычисленная из этих данных величина p при  $600^{\circ}$  оказалась равной 0.0053  $cek^{-1}$ . Отметим, что период индукции в этом случае  $\sim 10^{\circ}$  разбольше времени, при котором достигается максимальная концентрация фенола.

Итак, кинетические параметры, характеризующие накопление фенола, и общее превращение бензола не соответствуют друг другу. Отсюда можно оделать вывод, что накопление фенола с отмеченными закономерностями предшествует вырожденно-разветвленному превращению бензола.

Следует обратить внимание на то, что уравнение (I), хотя формально и описывает начальные участки кинетических комвых нахопления фенола, тем не менее ряд экспериментальных фактов при этом остается не объясненным. Кроме приведенной выше оценки и аномального действии поверхности на кинетику накопления фенола укажем и на то, что накопление фенола на значительном участке кинетической кривой происходит с постоянной окоростью (рис. 1).

В выполненных за последнее время исследованиях по механизму фотохимического окисления бензола [21—24] установлен ряд кинетических закономерностей накопления фенола, во многом совпадающих с результатами настоящей работы. В частности, было показано, что при фотохимическом окислении бензола накопление фенола также происходит с уокорением в начале процесса и по линейному закону при более высожих временах контакта; наблюдается аналогичная зависимость скорости от конщентрации кислорода и бензола и т. д.

Для объяснения жинетических закономерностей накопления фенола в случае фотохимического окисления одним из нас [19, 20] была выдвинута гипотеза, согласно которой образование фенола происходит в результате цепной разветвленной реажции, в которой разветвления реализуются медленнее обрыва цепей. На основании этого предположения интеприрование дифференциального уравнения по активным центрам  $\frac{dn}{dt} = n_0 + fn - gn$  при g > f и граничных условиях n = 0 при t = 0 приводит к выражению для скорости [17]

$$W - N(1 - e^{-\varphi t}). \tag{II}$$

где  $\varphi \equiv g - f$ .

Согласно уравнению (II), скорость образования фенола должна возрасти во эремени, достигая предельного значения, и далее оставаться постоянной до уменьшения ее из-за выгорания исходных веществ. Кинетическая кривая вначале должна иметь вогнутый участок, затем переходящий в прямую линию (рис. 1). Таким образом, в соответствии с уравнением (II) нелинейное накопление фенола вначале процесса должно быть обусловлено установлением длины цепи, а время достижения максамальной скорости фактически является временем развития цепи.

Гіользуясь соотношением  $t=\Delta \tau$  (где t — время развития цепи  $\Delta \tau$  — время развития одного звена, а  $\tau$  — длина цепи). Можно показать, что если развитие цепи происходит в результате бимолекулярной реакции с энергией активации  $25-30~\kappa \kappa a n/mon$  и если длинацепи составлает  $\sim 100$  звеньев (по аналогии с окислением метана [18]) в условиях нашего эксперимента время развития цепи может достигать  $0.5-1~ce\kappa$  (что соответствует полученным нами экспериментальным значениям).

Из ураннения (II) следует, что увеличение S/V должно приводить к уменьшению времени установления цепи. Действительно, с увеличением S/V увеличивается g, а следовательно, уменьшается время, при котором экспоненциальный член становится пренебрежимо малым. Кроме того, уменьшится и максимальная скорость, так как

член, стоящий перед скобкой, обратно пропорционален (g-f). Именно эти закономерности наблюдаются на опыте (рис. 2).

Наблюденные на опыте зависимости скорости накопления фенола от концентрации реагентов при различных временах контакта также мож по объяснить с помощью уравнения (II) при рассмотрении конкретных реакционных схем.

В случае фотохимического окисления бензола были рассмотрены следующие вероятные реакции, приводящие к образованию фенола [19,20].

$$R + O_{2} \longrightarrow RO_{2}$$

$$RO_{2} + O_{2} \longrightarrow RO_{2} + O_{2}$$

$$R + O_{2}^{*} \longrightarrow RO + O$$

или

$$RO_2^* + RH \longrightarrow RO + OH + R$$
  
 $R + O_2 + RH \longrightarrow RO + OH + R$  (брутто реакция)  
 $RO + RH \longrightarrow ROH + R$ 

Участие фенильных и соответствующих им перекисных радикалов в образовании фенола при фотохимическом ожислении бензола было показано методом ЭПР [21].

Полученные в настоящей работе закономерности можно объяснить, в частности, при допущении существования следующих элементарных реакций с участием фенильных радикалов.

1. 
$$R + O_2 \longrightarrow RO + O$$

5. 
$$O + RH \longrightarrow OH + R$$

2. 
$$R + O_2 \longrightarrow продукт + R'$$

6. 
$$OH + RH \longrightarrow H_2O + R$$

3. 
$$R' + RH \longrightarrow продукт + R$$

4. 
$$RO + RH \longrightarrow ROH + R$$

Зарождение цепей может происходит гомогенным или гетерогенным путями.

Рассматриваемая эдесь реакция разветвления (1) эндотермична на  $\sim 26-28 \ \kappa \kappa a n/monb$  и поэтому будет протекать примерею с такой же энергией активации (см. сделанную выше оценку).

В результате элементарного акта (3) (и других возможных реакций с участием R', не рассмотренных здесь) могут образоваться ниэкомолекулярные соединения, обнаруживаемые в продуктах реакции [8, 12, 13]. Приведенная предположительная схема, по-видимому, не включает и другие возможные реакции.

Интеприрование дифференциального уравнения по радикалу R с применением квазистационарности по остальным центрам в предполо-

жении, что реакция (2) протекает быстрее (1) приводит к следующему выражению для скорости накопления фенола (ROH):

$$W = \frac{K_1 W_0}{\left[\alpha K_2 + \frac{K_1}{(O_2)} - 2K_1\right]} \left\{1 - \exp\left[\alpha K_2 + \frac{K_2}{(O_2)} - 2K_1\right] (O_2) t\right\}.$$
 (III)

где 
$$W_0$$
 — скорость зарождения цепей, а  $\alpha = 1 - \frac{K_2(\text{RH})}{K_2(\text{RH}) + K_8}$ .

Полученное уравнение удовлетворительно описывает наблюденные закономерности накопления фенола. Действительно, при больших содержаниях жислорода и временах контакта скорость накопления фенола будет определяться членом, стоящим перед скобкой. При малых временах контакта и содержаниях жислорода экспоненциальным членом пренебрегать, по сравнению с единицей, нельзя. Отсюда наблюдаемая на опыте зависимость скорости от концентрации кислорода при определенных временах контакта.

Из уравнения (III) следует также, что увеличение концентрации кислорода должно сокращать время достижения максимальной скорости, что на самом деле и наблюдается (рис. 3). Действие поверхности на период индукции и максимальную окорость, согласно уражнению (III), связано с константами К<sub>7</sub> и К<sub>8</sub>. Зависимость окорости от концентрации углеводородов определяется членом  $\alpha$  (рис. 6).

Из данных рисунков 1 и 2 можно определить энергию активации по мажсимальным скоростям накопления фенола в пустом и заполненном сосудах. Оценка показывает, что в первом случае она больше (~75±5 ккал/моль), чем во втором (~63±2 ккал/моль). Этот результат может говорить о том, что в заполненном сосуде инициирование цепей преимущественно протекает гетерогенно на поверхности, поэтому в соответствии с уравнением (III) энергия активации члена, стоящего перед скобкой, уменьшится. Для подтверждения или опровержения рассмаприваемой здесь точки зрения необходимы опыты по изучению влияния гразличных поверхностей на скорость реакции и кинетических закономерностей накопления других промежуточных продуктов.

Наличие этих данных позволит конкретизировать элементарные реакции, к участием которых происходит образование фенола.

Совсем недавно появилась работа [25], в которой изучено термическое окисление бензола по изменению общего давления. Авторы, определяя ф (мажрожинетический параметр общего процесса превращения бензола) при различных составах и давлениях реагирующей смеси, делают конкретные выводы относительно механизма образования одного из промежуточных продуктов реакции—фенола. Интересно, что этот механизм совпадает с рассмотренным в [19,20] механизмом образования фенола для случая фотохимического окисления бензола (материалы клипознумов [19,20] вышли в свет тогда, когда авторы [25] посылали в печать свою работу, поэтому об этом они могли не знать).

## ԴԱԶ ՖԱԶՈՒՄ ԲԵՆԶՈԼԻ ՕՔՍԻԴԱՑՈՒՄ

1. ընդչութ ջիբլուցին, օքորդացրան տնակցրանորը Ֆենութ կորջակրան կրճենիկան

Ա. Հ. ՄԱՆԹԱՇՑԱՆ, Օ. Մ. ՆԻԱԶՏԱՆ և Ա. Բ. ՆԱԼԲԱՆԴՑԱՆ

# Ամփոփում

Ուսումնասիրված է ֆենոլի առաջացումը բենզոլի ջերմային օքսիդացման ռեակցիայով։ Գտնված են ֆենոլի կուտակման կինետիկական օրինաչափու-Այունները՝ կախված ռեադենտների կոնցենտրացիաներից, դատարկ և քվարցի կտորտանքներով լցված անոթներում։ Ի հայտ են բերված նոր փաստեր։ Դրանց բացատրման համար արված է ենթադրություն, որ ֆենոլն առաջանում է ճյուավորված շղթայական ռեակցիայի հետևանքով, որի ընթացքում շղթաների խղումը դերիշխող է։

Քննարկված է հավանական մեխանիզմ։ Ցույց է տրված, որ ֆենոլի կուտակման արագությունը նկարագրվում է.

$$W = N(1 - e^{-\tau t})$$

արոնի չավարաևաւզով։

#### ЛИТЕРАТУРА

- 1. R. Fort, C. N. Hinshelwood, Proc. Roy. Soc., A127, 804, 218 (1930).
- 2. J. Amtel, C. r., 197, 984 (1933).
- 3. J. Amiel, Ann. chim., 7, 70 (1937).
- 4. J. H. Burgoyne, T. L. Tang, D. M. Newitt, Proc. Roy. Soc., A174, 379 (1940).
- 5. J. H. Burgoyne, Proc. Roy. Soc., A161, 78 (1937).
- 6. J. II. Burgoyne, Proc. Roy. Soc., A174, 394 (1940).
- 7. J. H. Burgoyne, Proc. Roy. Soc., A175, 538 (1940).
- 8. И. И. Иоффе, Я. С. Левин, Е. В. Соколова, И. Г. Кронич, И. И. Широкова, ЖФХ, 28, 1386 (1954).
- 9. И. И. Иоффе, Я. С. Левин, И. Г. Кронич, ЖФХ, 28, 1395 (1954).
- 10. И. И. Иоффе, ЖФХ, 28, 1555 (1954).
- И. И. Иоффе, Сб. Вопросы хим. кинетики, катализа и реакционной способности, Изд. АН СССР, Москва, 1955.
- 12. R. G. W. Norrish, G. W. Taylor, Proc. Roy. Soc., A234, 160 (1956).
- 13. J. Drillat, C. r., 251, 2359 (1960).
- 14. J. Drillat, P. Zaffitt, C. r., 252, 408 (1961).
- 15. И. И. Иоффе Е. В. Соколова, ЖПХ, 18, 273 (1945).
- 16. И. И. Иоффе, ЖФХ, 28, 772 (1954).
- 17. Н. Н. Семенов, Цепные реакции, Госкимтехиздат, Ленинград, 1934.
- Н. Н. Семенов, «О некоторых проблемах химической кинетики и реакционной способности», Изд. АН СССР, Москва, 1958.
- А. А. Манташян, Второй Всесоюз. симпознум по горению и варыву, г-реван, 1969, стр. 173.

- A. A. Mantashian, G. L. Grigorian, O. M. Niazian, M. D. Musseridze, A. B. Nalbandian, International Symposium on gas Kinetics, I. Text of contributed Papers, P. 400; II. Text of Plenary Zectures and Discussion 8—11 July, Szeged Hungary, 1969, p. 208.
- 21. Т. А. Гарибян, Г. Л. Григорян, А. А. Манташян, А. Б. Налбандян, ДАН СССР, 177, 149 (1967).
- 22. О. М. Ниазян, А. А. Манташян, А. Б. Налбандян, Арм. хим. ж., 20, 671 (1967).
- 23. Г. Л. Григорян. А. А. Манташян, А. Б. Налбандян, Арм. хим. ж., 22, 379 (1969).
- 25. M. O. Delcourt-Euverte, J. Drillet, Bull. soc. chim. Fr., 1970, 5.

XXIV, № 7, 1971

УДК 541.49±546.98

# КРИСТАЛЛИЧЕСКАЯ И МОЛЕКУЛЯРНАЯ СТРУКТУРЫ 2-НЕОПЕНТИЛ-ѫ-АЛЛИЛПАЛЛАДИЙХЛОРИДА

М. Х. МИНАСЯНЦ и Ю. Т. СТРУЧКОВ

Ереванский государственный университет, Институт элементоорганических соединений АН СССР (Москва)

Поступило 8 VII 1970

Проведено рентгеноструктурное исследование 2-неопентил- палимлиалладийхлорида. Вещество кристаллизуется в моноклинной сингонии: Ф. гр. P2<sub>1</sub>, N⇒2. Структура расшифрована методом тяжелого атома, уточнена методом наименьших квадратов до R=0,186, Доказано, что соединение является димером. Молекула имеет не скрученную конформацию, как диктовало химическое поведение вещества, а предельно распрямленную. Центральная часть молекулы не плоская—угол перегиба по ливии С1.....С1 составляет 162,2°. Все четыре расстояния Pd—С1 одинаковы и полученное их значение (2,4° Å) хорошо согласуется с литературными данными. Рассматриваемая молекула является истинным палимльным комплексом, так как одинаковы все расстояния Pd—С копц. (2,11 Å) и С—С в аллиле (1,40 Å). Неопентильные группы имеют обычное строение.

Рис. 4, табл. 2, библ. ссылок 19.

Аллильные комплексы переходных металлов представляют большой интерес с практической и теоретической лочек эрения.

Они являются промежуточными продуктами в различных реакциях органического синтеза: изомеризация, окисление, гидрирование олефинов, стереоспецифический катализ полимеризации и олигомеризации олефинов и дненов. Их строевие необычно, что диктуется сочетанием в них особенностей взаимодействия металл—лиганд, характерных для олефиновых и ареновых комплексов. Эти своеобразно построенные комплексы после их открытия (1959 г. [1,2]) сразу привлекли к себе внимание многих исследователей химпи металлоорганических соединений. Много структурных исследований было посрящено «пионеру» этого класса соединений—димерному п-аллилпалладий-хлорнду [3, 4, 5, 6].

На основании ЯМР спектров были установлены четыре типа строения аллильных комплексов переходных металлов [7].

Однако для объективного установления характера связи и нахождения закономерностей осуществления того или иного типа связи необходимо детальное опредзление геометрического строения молекул. В связи с этим нами проведено рентгеноструктурное исследование ряда аллильных комплексов переходных металлов, результаты которых частично уже опубликованы [8, 9, 10].

Указанное в затоловке соединение интересно своим химическим поведением. Это предположительно димерное соединение, впервые синтезированное Хюттелом с соавторами [1-1], в отличие от других алдильных комплексов палладия, не вспупает в реакцию  $\pi \to \pi$ -переноса  $\pi$ -

аллильной группы с атома палладия на атом железа при взаимодействии с Fe<sub>2</sub>(CO)<sub>9</sub> [12]. Можно было предположить, что эти особенности химического поведения неопентильного производного обуслов чены экранированием атома палладия объемистыми и разветвленными неопентильными пруппами при соответствующей ориентации их в молекуле.

## Экспериментальная часть

Прозрачные бесцветные кристаллы 2--неолентилаллилпалладийхлорида, вытянутые вдоль оси c, оказались двойниковыми. Индивиды, образующие двойник, срастаются по плоскости (100). Дифракционная картина двойника имеет истинную плоокость симметрии  $a^*c^*$  и псевдоплоскость  $b^*c^*$ , обусловленную двойникованием. Попоречное сечение (ab) кристалла представляет ромб, очень близкий к квадрату. Из-за отсутствия плоскости спайности нам не удалось выколоть монокристалл (его не удалось получить также разрезанием кристаллов вдоль оси c), что неоколько затруднило определение интенсивностей, хотя системы рефлексов, отвечающие каждому из индивидов двойника, были разрешены довольно четко (только рефлексы типа hkO обеих систем точно совпадают).

Вещество кристаллизуется в моноклинной сингонии и имеет следующие параметры элементарной ячейки\*:

$$a = 22,87_5 \pm 0,013 \text{ Å}$$
  $M = 506,4$   
 $b = 8,05_1 \pm 0,005 \text{ Å}$   $d_{\text{HDM}} = 1,56 \text{ z/cm}^3$   
 $c = 5,67_7 \pm 0,004 \text{ Å}$   
 $\beta = 97^{\circ}5_4 \pm 25'$   $d_{\text{BMYL}} = 1,63 \text{ z/cm}^3$   
 $V = 1038 \text{ Å}^3$   $N = 2$ 

Периоды и угол моноклинности определены по эталонированным рентгенопраммам вращения Вейссенберга, а также по кфоропраммам. Плотность найдена гидростатическим взвешиванием в жидкости Туле.

Систематические погасания указывают на возможные пространственные группы  $P2_1/m$  или  $P2_1$ . Несмотря на отсутствие пьезоэффекта, дальнейший ход структурного анализа подтвердил наличие последнего из них.

Весь экспериментальный материал для расшифровки спруктуры был получен с двух кристаллов, имеющих поперечные размеры  $0.20 \times 0.15$  мм². Один из них использован для получения разверток hKl с L=0+4, а второй — hKl с K=0+6.

<sup>•</sup> Некоторая дополнительная симметрия расположения пятен на рентгенограммах привела нас первоначально к неправильному заключению, что кристаллы принадлежат к ромбической сингонии. Псовдоромбической установке соответствует пространственная группа С222<sub>1</sub>, в которой мы первоначально и расшифровали структуру (см. [13]).

Развертки получены на неотфильтрованном медном излучении в эквипаклонном рентгенгониометре Вейссенберга. Общее число независимых ненулевых отражений 1621. Интенсивности оценены визуально, сравнением со стандартной шкалой почернений. Поправка на поглощение не вводилась из-за малых размеров и почти изометрической формы кристалликов.

Структура расшифрована методом тяжелого атома, уточнена методом наименьших квадратов до R=0,186 при  $B_{\rm обш.}=4,0$  Å<sup>2</sup>. Столь высокое значение R-фактора объясняется низким качеством пятен на рентгенограммах из-за двойникования кристаллов.

Таблица 1 Координаты атомов, их индивидуальные изотропные тенловые факторы ( $\mathring{A}^2$ ) и высоты максимумов электронной плотности ( $\rho_{\max}$ ,  $\jmath A / \mathring{A}^3$ )

Атом	x	у	z	$B_j$	Pmax
Pd	0.294	0,083	0,314	3,65	46,2
Pd'	0,212	-0,119	0,692	3,72	44,1
Cl	0,197	0,115	0,430	5,85	16,3
·CI′	0,298	<b>—0,187</b>	0,504	5,73	18,0
C(1)	0,373	0,091	0,157	5,60	6,4
C(2)	0,333	0,254	0,146	4,80	6,8
C(3)	0,293	0,290	0,086	5,50	6,6
·C(4)	0,378	0,392	0,318	5,70	6,7
·C(5)	0,419	0,511	0,211	5,00	7,0
C(6)	0,447	0,628	0,407	6,10	5,6
C(7)	0,467	0.415	0,105	5,80	5,5
C(8)	0,385	0,616	0,016	6,00	5,8
C(1')	0,135	-0,112	0,860	6,10	6,4
C(2')	0,153	-0,278	0,853	5,55	6,2
C(3')	0,211	-0.337	0,899	5,70	6,6
'C(4')	0,114	-0,385	0,675	5,90	5,8
C(5')	0,077	0,504	0,805	6,00	6,7
C(6')	0,040	-0,613	0,622	6,30	5,9
C(7')	0,037	0,408	0,950	5,80	6,7
C(8')	0,117	-0,617	0,970	5,10	6,6

Окончательные значения координат даны в таблице 1. Там же приведены индивидуальные температурные факторы и высоты маккимумов электронной плотности. Точность определения координат была оценена по формулам Вайнштейна [14]. При R=0,19,  $B_0=4.0$  Ų и  $(\sin\theta/h)_{\rm max}=0,65$ , ошибки равны:  $\epsilon(x)_{\rm Pd}=0,004$ ,  $\epsilon(x)_{\rm Cl}=0,01$  и  $\epsilon(x)_{\rm C}=0.04$  Å. Точность определения длин связей таковы: Pd—Cl 0,01, Pd—C 0,04, C—C 0,06 Å, а точность определения валентных

углов, рассчитанная по Дарлоу [15] — PdClPd 0,4, ClPdCl 0,6, CPdC 1,6, CCC 3,4°.

Таблица 2 Длины связей и валентные углы в молекуле димерного 2-неонентил-к-аллилпалладийхлорида

я з ей, А 2,19 С(4)—С(5) 1	VAC
C(4) = C(5) - 1	
$\begin{array}{c ccccccccccccccccccccccccccccccccccc$	,53 ,54 ,53 ,52 ,51 ,52 ,53
С(2)С(4)С(5) 114 С(2')С(4')С(5') 110 С(4)С(5)С(6) 109 С(4')С(5')С(6') 100 С(4')С(5')С(6') 100 С(4')С(5')С(7') 110 С(4')С(5')С(8) 111 С(4')С(5')С(8') 110 С(6)С(5)С(7) 110 С(6)С(5)С(7) 110 С(6)С(5)С(7) 110 С(6)С(5)С(8) 100 С(6')С(5')С(8') 100 С(6')С(5')С(8') 100 С(6')С(5')С(8') 100 С(6')С(5')С(8') 100 С(6')С(5')С(8') 100 С(6')С(5')С(8') 100 С(7')С(5')С(8') 100 С(7')С(7')С(7')С(7')С(7')С(7')С(7')С(7')	
	С(5')—С(6') 1  1,53  С(5')—С(7') 1  С(5)—С(7') 1  С(5)—С(7') 1  С(5)—С(7') 1  С(5)—С(8') 1  С(5)—С(8') 1  С(5')—С(8') 1  С(2')—С(8') 1  С(4)—С(5)—С(8') 110  С(4')—С(5')—С(8') 110  С(4')—С(5')—С(8') 110  С(4')—С(5')—С(8') 110  С(4')—С(5')—С(8') 110  С(6)—С(5)—С(8') 110  С(6)—С(5)—С(8') 110  С(6)—С(5)—С(8') 110  С(6)—С(5)—С(8') 110  С(6)—С(5)—С(8') 110  С(6)—С(5)—С(8') 108  С(6')—С(5')—С(8') 108  С(6')—С(5')—С(8') 108  С(6')—С(5')—С(8') 108  С(6')—С(5')—С(8') 108  С(6')—С(5')—С(8') 108  С(6')—С(5')—С(8') 109

Oписание структуры. Длины связей и валентные углы приведены в таблице 2, строение молекулы и внутримолекулярные расстояния—на рисунках 1 и 2.

Молекула, как и ожидалось, представляет димер, состоящий из дру половин ( $\pi$ — $C_3H_4$ ) [— $CH_2$ — $C(CH_3)_3$ ]PdCl, связанных между собой мостиковыми атомами Cl, как и в структуре [( $\pi$ — $C_3H_5$ )PdCl] $_2$ . Молекула предельно распрямлена, так что малая реакционная способность не является результатом стерической недоступности атомов Pd, поскольку неопентильные группы не экранцруют  $\mu x$ .

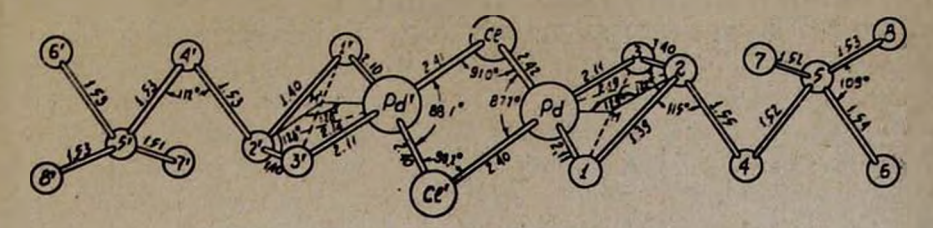


Рис. 1. Геометрия молекулыв

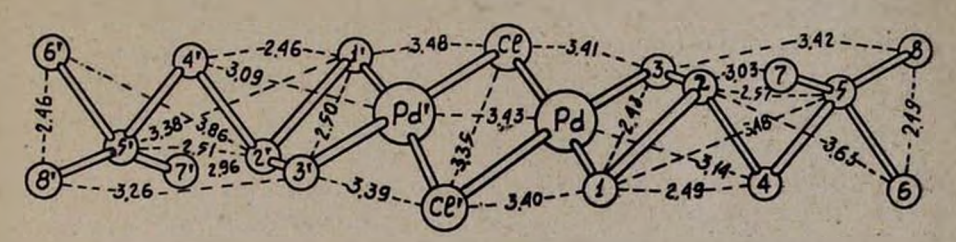


Рис. 2. Расстояния между валентно несвязаннымнатомами в молекуле.

Собственная симметрия молекулы (не реализующаяся в кристалле) приближается к  $C_l$ , а еще более приближенно — к  $C_{2h}$ .

Все четыре расстояния Рф-СІ практически одинаковы (среднее-2,41 А). Это значение хорошо согласуется с литературными данными (соответствует мостиковой связи Pd-Cl в транс-положении к связи олефин-Pd [16]. Углы CIPdCI, равные 88,1°, 87,7°, как и обычно, меньше углов PdCIPd, равных 90,2 и 91°. Однако, как нетрудно заключить из приведенных углов (их сумма составляет 357 вместо 360°), центральная часть молекулы—четырехугольник (PdCl)<sub>2</sub> — не плоская, в отличие от случая п-аллилпалладийхлорида. Плоскость, проходящая через атомы Cl, Pd и Cl', образует с плоскостью Cl, Pd', Cl' угол 162,2°. Аналогичный, но заметно больший перегиб четырехугольника (PdC1)<sub>2</sub> по линии Cl...Cl найден также в структуре димерного ж-(1,3-диметил)аллилпалладийхлорида [17] с двугранным углом в 150°-Такой перегиб не может объясняться пространственной напряженностью молекул, так как в случае обеих структур нет сокращенных внутримолекулярных контактов, вызывающих деформацию молекулы. По-видимому, указанное нарушение копланарности фрагмента (PdCI). вызвано полем кристалла,

Раосматриваемая молекула является истинным  $\pi$ -аллильным комплексом, что доказывается равенством длин связей С—С в аллильных группах и их симметричным расположением относительно «своих» атомов Pd.

Валентные углы ССС в аллильных пруппах 122 и 126° (среднее 124°) близки к идеальному значению 120° для  $Sp^2$ -гибридизации углерода, найденное небольшое отклонение от теоретической величины не является необычным для  $\pi$ -аллильных комплексов, где наблюдаются эначенич как большие, так и меньшие, чем 120°, [18].

Важным геометрическим параметром  $\pi$ -аллильных комплеюсов переходных металлов является ориентация аллильной группы относительно координационной плоскости металла, содержащей атом металла и другие его лиганды (в нашем случае это плоскости Cl'PdCl и ClPd'Cl'). Квантово-химический расчет для  $[(\pi-C_3H_5)PdCl]_2$  дает  $\phi=102-114^\circ$  [19]. Структурные исследования дают значения  $\phi$ , обычно несколько (а иногда и существенно) превосходящие теоретическое. В нашем случае эти двугранные углы составляют: ClPdCl'/C (1) C(2) C(3) 128° и ClPd'Cl'/C(1') C(2') C(3') 119°. Увеличение углов может быть вызвано сокращенными внутримолекулярными расстояниями Pd··· C(4) 3,14 Å и Pd'···C(4') 3,09 Å, которых, разумеется, нет в молекуле  $[(\pi-C_3H_5)PdCl]_2$  (где значение  $\phi=112^\circ$  совпадает с теоретическим).

Неопентильные прукцы— $CH_2C(CH_3)_3$  имеют обычное строение. Валентные углы при их центральных атомах углерода C(5) и C(5') варыруют в пределах ошибки опыта от 108 до 111°, причем среднее значение 109,4° совпадает с идеальным тепраэдрическим углом. Средняя длина связи C—C в неопентильных группах 1,53 Å (индивидуальные 1,51—1,54 Å) также совпадает со стандартным для ординарной овязи  $C(5p^3)$ — $C(5p^3)$ . Длины связей, соединяющих неопентильные и аллильные группы C(2)—C(4) г C(2')—C(4'), равны 1,53 и 1,55 Å, соответственно. Валентные углы при атомах C(4) и C(4'), являющихся заместителями в аллильных группах, составляют 114 и 110°, сооответственно.

Упаковка молекул. Расположение молекул в кристалле показано на рисунках 3 и 4. Как видно, кристаллическая структура димерного 2-неопентил- $\pi$ - алличпалладийхлорида является типично молекулярной. Исходная молекула касается двух молекул, связанных с ней трансляцией b, двух, связанных трансляцией c, двух, связанных трансляцией b+c, и еще восьми выводимых винтовыми осями  $2_1$  [Oy 1/2],  $2_1$  [1/2уO] и  $2_1$  [1/2y 1/2].

Тажим образом, общее координационное число равно 14, т. е. высокое и типичное для плотной упаковки. Несмотря на высокую плотность упаковки, число межмолекулярных касаний сравнительно невелико. Возможно число касаний на самом деле больше, если учесть атомы водорода. Однако в данном случае размещение атомов водорода, исходя из геометрических соображений, затруднительно (неизвестно, как направлены связи С— Н метильных пруппп). Все короткие межмолекулярные расстояния близки к нижнему пределу равновесных значений. Это указывает на отсутствие вращения метильных группп и их наиболее плотное

расположение: выступ касающегося атома входят в впадину между атомами водореда метильной группы.

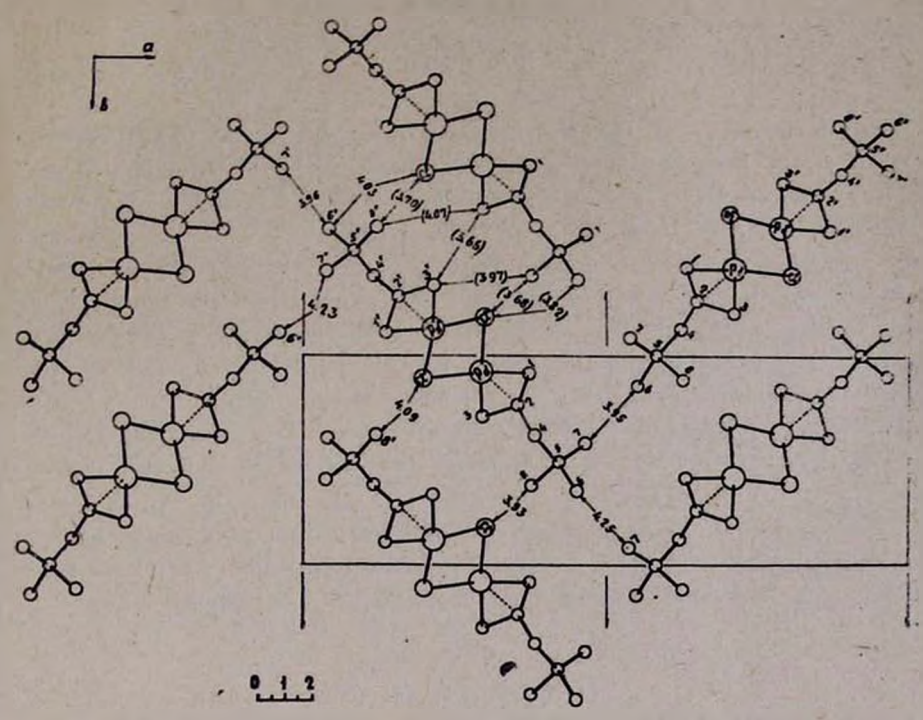


Рис. 3. Проекция структуры на грань ab. Цифры в скобках означаю ¬расстояния между двумя атомами соседних молекул, удаленных на трансляции с.

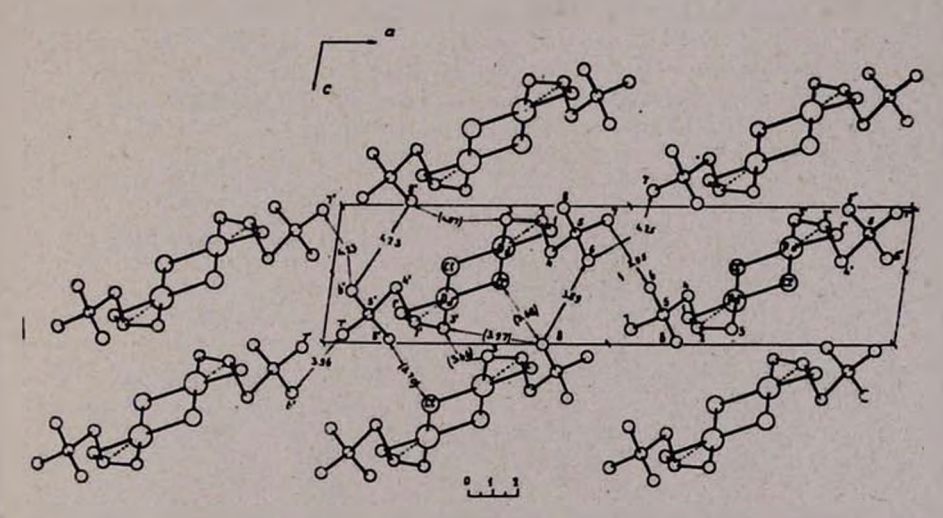


Рис. 4. Проекция структуры на грань ас. Цифры в скобках означают рассгояния между двумя атомами соседних молекул, удаленные на трансляции в.

# 2\_ՆԵՈՊԵՆՏԻԼ---ԱԼԼԻԼՊԱԼԱԴԻՈՒՄՔԼՈՐԻԴԻ ԲՅՈՒՐԵՂԱԿԱՆ՝ ԵՎ ՄՈԼԵԿՈՒԼԱՅԻՆ ԿԱՌՈՒՑՎԱԾՔԸ

Մ. Խ. ՄԻՆԱՍՑԱՆՑ և ՅՈՒ. Տ. ՍՏՐՈՒՉԿՈՎ

## Udhnhnid

Կատարված է 2-նևոպևնաիլ-ռ-ալլիլպալադիում քլորիդի լրիվ ռևնտգևնակառուցված քային անալիգը։ Նլուխը բլուրեղանում է մոնոկլինային սինգտնիայում։ Տարրական բջիջի պարամևարևրն են՝ a = 22.875, b = 8.051,  $c = 5.677 Å, <math>\beta = 96^{\circ}54'$ ,  $\phi$ , իսմթ.  $P2_1$ ,  $d_{1-1} = 1.56 q/ud^3$ , N = 2։ Կառուցված քն որոշված է ծանր ատոմի մեխոդով, ճշաված է փուքրագույն քառակուսիների մեխոդով մինչև R ֆակտորի 0,186 արժեքը։ Ապացուցված է, որ
միացությունը դիմեր է։ Մոլեկուլն ունի ոչ Քև պարուրված կառուցված ք,
ինչպես Թելադրում է նլութի քիմիական վարքը, այլ ուղղված (ձգված)։ Մոլևկուլի կենտրոնական մասը (PdCl)<sub>2</sub> քառանկլունին՝ հարթ չէ. Cl···Cl դժով
ծալման անկլունը կաղմում է 162,2°։ Բոլոր չորս Pd—Cl հեռավորություննևրը միանման են (2,41 Å) և համապատասխանում են դրական տվյալ-

քննարկվող մոլեկուլն իսկական ռ-ալլիլալին կոմպլևքս է, քանի որ նրա րոլոր Pd—C<sub>եղբ</sub> (2,14 Å) և C—C երկարությունները ալլիլում (1,40 Å) իրար հավասար են։ Նեոպենտիլալին խմբերը սովորական կառուցվածք ունեն։

#### ЛИТЕРАТУРА

- 1. И. И. Моисеев, Э. Л. Федоровская, Я. К. Сыркин, ЖНХ, 4, 2641 (1959).
- 2. J. Schmidt, W. Hufner, Angew. Chem., 71, 284 (1959).
- 3. J. M. Rowe, Proc. Chem. Soc., 1962, 66.
- 4. В. Ф. Левдик, М. А. Порай-Кошиц, ЖСХ. 3, 472 (1962).
- 5. W. E. Oberhansli, L. F. Dahl, J. Organomet. Chem., 3, 43 (1965).
- 6. A. E. Schmith, Acta crystallogr., 18, 33 (1965).
- 7 М. И. Лобач, Б. Д. Бабицкий, В. А. Кромер, Усп. хим., 7, 1158 (1967).
- 8. М. Х. Минасянц Ю. Т. Стручков, ЖСХ, 3, 481 (1968).
- 9. M. X. Минасянц, Ю. Т. Стручков, ЖСХ. 4, 665 (1968).
- 10. М. Х. Минасянц, В. Г. Андрианов, Ю. Т. Стричков, ЖСХ. 6, 1055 (1968).
- 11. R. Huttel, F. Kratzer, M. Rechter, Chem. Ber., 94, 766 (1961).
- 12. А. Н. Несмеянов А. З. Рубежов, С. П. Губин, Изв. АН СССР, ОХН, 1966, 194.
- 13. М. Х.Минасянц, С. П. Губин, Ю. Т. Стручков, ЖСХ, 6, 1108 (1967).
- 14. Б. К. Вайнштейн, ЖЭТФ, 27, 44 1954).
- 15. S. F. Darlow, Acta crystallogr., 13, 683 (1960).
- 16. F. R. Holden, N. C. Baenziger, ACHS, 77, 4987 (1958).
- 17. G. R. Davles, S. O'Brien, R. C. Owston, Chem. Communs, 22, 1151 (1967).
- .18. Ю. Т. Стручков, Структурная химия комплексов переходных металлов, Методы элементосрганической химии, т. 13, Изд. «Наука», Москва. 1969.
- 19. S. F. Ketle, R. Mason, J. Organom. Chem., 5. 573 (1966).

XXIV, № 7, 1971

## НЕОРГАНИЧЕСКАЯ И АНАЛИТИЧЕСКАЯ ХИМИЯ

УДК 541.49+546.78

# О СССТАВЕ ОКСАЛАТНОГО, ЦИТРАТНОГО И ТАРТРАТНОГО КОМПЛЕКСОВ ВОЛЬФРАМА (VI)

#### 3. 3. ТЕРМЕНДЖЯН и Д. С. ГАЙБАКЯН

Ереванский государственный университет

Поступило 24 III 1971

Методами спектрофотометрии и нонообменной хроматографии исследованы составы оксалатного, цитратного и тартратного комплексов вольфрама (VI). Установлено, что при рН 2.1 мольное отношение вольфрамил-нона к оксалат-, цитрат- и тартрат-нонам фавно 1:1. Методом миграции нонов при ионофорезе на бумаге подтвержден отрицательный заряд исследуемых комплексных анионов. Изучением полной обменной емкости (ПОЕ) анионита AB-17 по исследуемому нону в присутствии лиганда определена величина заряда образующихся комплексных нонов вольфрама (VI).

Предложены формулы, выражающие их состав:

 $[WO_2(OH)C_2O_4]^-$ ,  $[WO_2C_6H_5O_7]^-$  и  $[WO_2C_4H_3O_4]^-$ .

Рис. 6. библ. ссылок 10.

О способности ионов вольфрама (VI) образовывать комплексные соединения с щавелевой, лимонной и винной кислотами, особенно о составе образующихся комплексных соединений, имеются следующие литературные данные.

Методом криоскопни изучено [1] взаимодействие в системе Na, WO4-H2C2O4-Н<sub>2</sub>О. Показано, что в растворе образуются комплексы с мольным отношением:  $WO_4^{2-}: C_2O_4^{2-} = 1:1$  и 1:2, а кондуктометрическим и полярографическим методами [2] — 1:1 и 1:6. Спектрофотометрическим методом установлено, что вольфрам при рН 5 образует с лимонной кислотой комплекс с мольным отношением Na<sub>2</sub>WO<sub>4</sub>:  $: H_3C_4H_3O_7 = 1:1$ , при pH 9—с отношением  $Na_2WO_4: H_3C_4H_5O_7 = 1:2$  [3], а с щавелевой кислотой образует анион комплексной кислоты [WO<sub>3</sub>(C<sub>2</sub>O<sub>4</sub>)]<sup>2-</sup> [4]. Тем же методом другие авторы [5] пришли к выводу, что эти реакции могут быть отнесены к реакциям нейтрализации, а не комплексообразования. Методом экстракции изучен [6] состав комплексов вольфрама. В интервале концентраций оксикислот 0,001-0.01 моль/л отношение компонентов WO2 : оксикислота равно 1 : 1. Изучены [7] оксалатные, малонатные и тартратные комплексы шестивалентного вольфрама. Было установлено, что в кислых растворах образуются комплексные соединения состава 1:1. Исследования [8] раман-спектров винной кислоты, вольфрамата натрия и их смесей показали существование в водных растворах комплекса Na<sub>2</sub>[WO<sub>3</sub>C<sub>4</sub>H<sub>4</sub>O<sub>8</sub>] Поляриметрическим и кондуктометрическим методами [9, 10], потенциометрическим титрованием и измерением ИК спектров изучено [10] комплексообразование вольфрамат-ионов с винной кислотой и подтверждено образование комплексного соединения состава 1:1,

Изложенные выше работы по исследованию оксалатного, цитратного и тартратного комплексов вольфрама (VI) проведены различными методами в разных условиях и поэтому иногда полученные результаты противоречивы.

В настоящей работе описываются результаты исследования состава указанных комплексов вольфрама (VI) при определенной кислотносту растворов, а именно, при pH=2,1, при которой катионит КУ-2 количественно поглощает вольфрам(VI) (вольфрамил-ион  $WO_2^{2+}$ ).

## Экспериментальная часть

Раствор вольфрамата натрия готовили растворением перекристаллизованной соли в соответствующем объеме дистиллированной воды. Поскольку полимерные формы образуются при концентрации элементов выше  $10^{-5}-10^{-4}\ z$ -am/a. в далынейшем при спектрофотометрических исследованиях эти растворы добавочно разбавляли. Растворы щавелевой, лимонной и винной кислот готовили эквимольными раствору вольфрамата. Во избежание наложения кислотно-основного равновесия, концентрацию водородных ионов испытуемых растворов доводили разбавленной соляной жислотой до pH=2,1.

Описанное ниже исследование составов оксалатного, цитратного и тартратного комплексов вольфрама (VI) проведено опектрофотометрическим методом. Для большей надежности был применен и ионообменно-хроматопрафический метод. Заряд образующихся комплексных изнов был установлен методами митрации ионов при ионофорезе на бумаге и ионообменно-хроматопрафическим.

Все измерения оптической плотности проводили на опектрофотометре СФ-4А.

Спектрофотометрическое исследование взаимодействия вольфрамилиона с щавелевой, лимонной и винной кислотами в водном растворе. Для определения мольного отношения вольфрамил-иона к оксалат-, цитрати тарпрат-ионам были иопользованы методы мольных отношений и логарифмический Бента и Френча.

Возможность применения этих методов к исследуемым системам: вольфрамил-ион—щавелевая кислота, вольфрамил-ион—лимонная кислота и вольфрамил-ион—винная кислота, была подтверждена онятием опектров потлощения в ультрафиолетовой области в интервале длин волн 218—232 нм (рис. 1).

Из приведенных на рисунке данных следует, что растворы щавелевой, лимонной и винной кислот (рис. 1, кр. 1, 2, 3), в отличие от раствора, содержащего вольфрам(VI) (рис. 1, кр. 4), почти не проявляют способности светопоглощения в указанной области спектра.

Спектры поглощения эквимольных смесей растворов вольфрама (VI) со щавелевой, лимонной и винной кислотами, т. е. растворов образующихся комплексных соединений (рис. 2, кр. 1, 2, 3), обладают меньшим.

по сравнению с раствором вольфрама (VI), оветопоглощением и тем самым указывают на отклонение от аддитивности. На этом основании к исследуемым системам был применен метод мольных отношений (рис. 3, кр. 1, 2, 3).

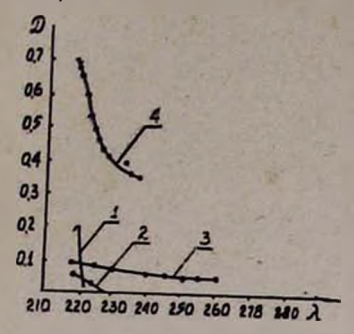


Рис. 1. Спектры поглощения растворов: 1 — щавелевой; 2 — лимонной; 3 — винной кислот; 4 — нольфрама(VI).

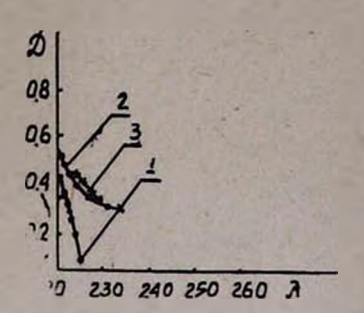


Рис. 2. Спектры поглощения эквимольных смесей растворов вольфрама(VI) с кислотами: 1 — щавелевой; 2 — лимонной; 3 — винной.

Перегиб на кривых светопоглощения для прех систем: вольфрамилнон—щавелевая кислота, вольфрамил-ион—лимонная кислота и вольфрамил-ион—винная кислота с достаточной четкостью отмечается при отношении компонентов 1:1.

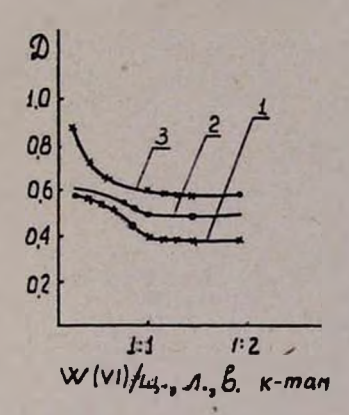


Рис. 3. Определение состава оксалатного, цитратного и тартратного комплексов вольфрама(VI) методом мольных отношений,  $\lambda=218$  мм. 1— система вольфрам(VI)—щавелевая кислота, [W(VI)]=[ щавел.  $\kappa$ -та $]=1,2\cdot 10^{-5}$  M; 2— система вольфрам(VI)—лимонная кислота, [W(VI)]=[ лимон.  $\kappa$ -та $]=1,2\cdot 10^{-5}$  M; 3— система вольфрам(VI)— винная кислота, [W(VI)]=[ вин.  $\kappa$ -та $]=1,2\cdot 10^{-5}$  М.

Результаты, полученные логарифмическим методом Бента и Френча, представлены на рисунках 4,5 и 6.

На основании данных, полученных двумя различными спектрофотометрическим методами, можно принять, что при избранной кислотности (pH=2,1) вольфрамил-ион взаимодействует с оксалат-, цитрат- и тартрат-ионами в отношении 1:1.

Исследование взаимодействия вольфрамат-иона с щавелевой, лимонной и вчиной кислотами ионообменно-хроматографическим методом. Методом мипрации нонов при ионофорезе на бумаге были доказаны отринательные заряды исследуемых комплексных ионов. Величины зарядов

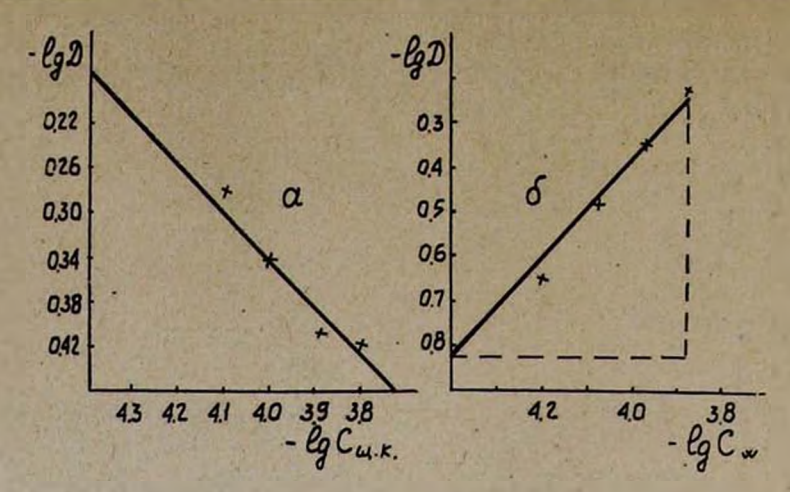


Рис. 4. Определение состава оксалатного комплекса вольфрама логарифмическим методом Бента и Френча. а — система вольфрам(VI) — щавелевая кислота, [щавел. к-та] =  $1.2 \cdot 10^{-5}$  М; 6 — система шавелевая кислота—вольфрам(VI),  $[W(VI)] = 1.2 \cdot 10^{-5}$  М.

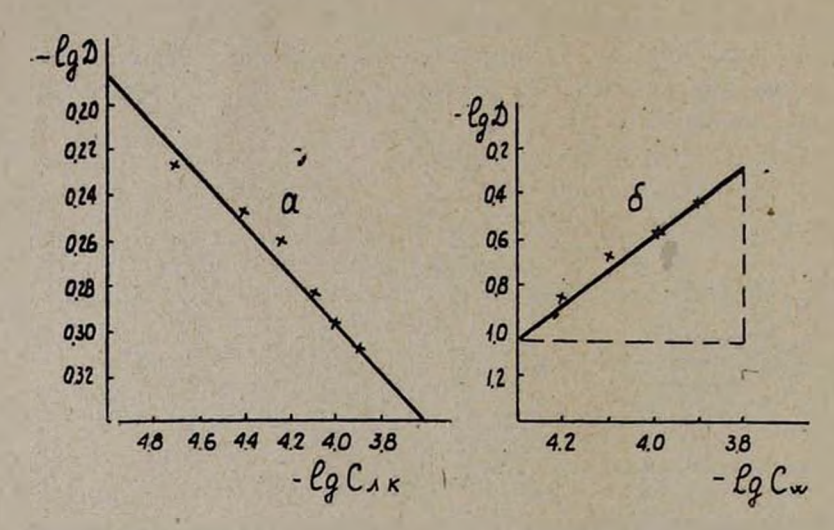


Рис. 5. Определение состава цитратного комплекса вольфрама логарифиическим методом Бента и Френча. а — система вольфрам(VI)— лимонная кислота,  $W(VI) = 1.2 \cdot 10^{-5} M$ ; 6 — система лимонная кислота—вольфрам(VI), [лимон. к-та] =  $1.2 \cdot 10^{-5} M$ ,

этих ионов определяли динамическим методом, путем изучения полной эбменной емкости (ПОЕ) анионита AB-17 по исследуемому иону в пр г-сутствии лиганда и стандартному иону с известной величиной заряди (в качестве такового был использован хлор-ион). Для этого через колонку размерами 0,5×10 см, содержащую 1 г анионита AB-17, в одном случае в оксалатной, а в других цитратной и тарпратной формах, пропускали 0,1 и соляную кислоту до прекращения поглощения Cl<sup>-</sup>. При этом

было найдено, что ПОЕ по С1 равна в среднем 2,95 мг-экв/г. Затем через такую же колонку пропускали в одном случае оксалатный, в следующих цитратный и тартратный растворы вольфрама (VI) с рH=2,1 до прекращения поглощения вольфрама (VI) анионитом. ПОЕ по оксалатному комплексному аниону вольфрама оказалась равной 2,90, по цитратному 2,86, по тартратному—3,02 мг-экв/г.

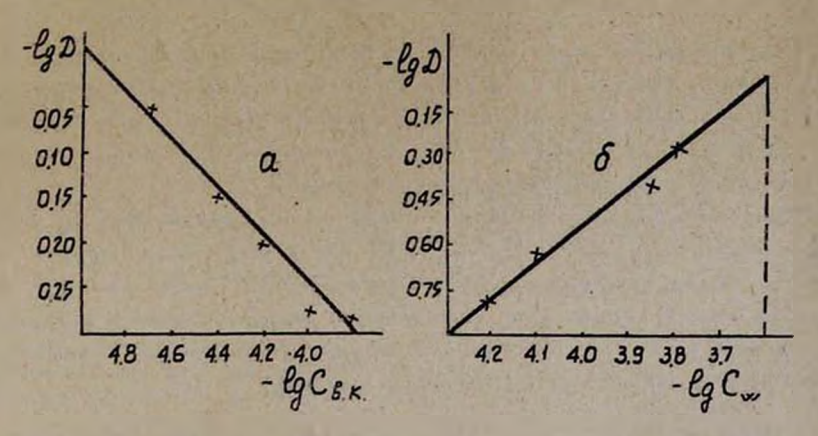


Рис. 6. Определение состава тартратного комплекса вольфрама логарифмическим метолом Бента и Френча. а — система вольфрам(VI)— винная кислота,  $[W(VI)] = 1.2 \cdot 10^{-5} \text{ M}$ ; 6 — система винная кислота— вольфрам(VI), [вин. к-та] =  $1.2 \cdot 10^{-5} \text{ M}$ .

Величины зарядов оксалатного, ципратного и тартрапного комплексных изазв вольфрама определялись по отношениям:

$$Z = \frac{\Pi \text{OE}_{\text{CI}^-}}{\Pi \text{OE}_{\mathbf{W}_{0, \text{ komfi.}}}} = \frac{2.95}{2.90} = 1.01,$$

$$Z = \frac{\Pi \text{OE}_{\text{CI}^-}}{\Pi \text{OE}_{\mathbf{W}_{\text{IL, komfi.}}}} = \frac{2.95}{2.86} = 1.03,$$

$$Z = \frac{\Pi \text{OE}_{\text{CI}^-}}{\Pi \text{OE}_{\mathbf{W}_{\text{IL, komfi.}}}} = \frac{2.95}{3.02} = 0.97.$$

Одновременно полученные результаты указывают и на мольное отношение вольфрамил-иона к оксалат-, цитрат- и тартрат-ионам.

Таким образом, результаты исследования составов оксалатного, ципратного и тартратного комплексов вольфрама (VI) в растворах с pH=2,1, проведенного спектрофотометрически и иснообменно-хроматографическим методом, однозначны.

На основании всего изложенного состав образующегося при рH=2,1 вольфрам-оксалатного комплексного иона можно выразить формулой [ $WO_2(OH)C_2O_4$ ], цитратного — [ $WO_2(C_6H_5O_7)$ ], тартратного — [ $WO_2C_4H_3O_6$ ].

# ՎՈ<mark>ԼՖՐԱՄԻ(VI) ԹՐԹՆԶԿԱԹԹՎ</mark>ԱՅԻՆ, ԿԻՏՐՈՆԱ<mark>ԹԹՎԱՅԻՆ ԵՎ</mark> ԳԻՆԵԹԹՎԱՅԻՆ ԿՈՄՊԼԵՔՍՆԵՐԻ ԲԱՂԱԴՐՈՒԹՅԱՆ ՀԱՔՑ**Ի ՄԱՍԻՆ**

#### 2. 2. ՏԵՐՄԵՆՋԵԱՆ և Դ. Ս. ԳԱՅՐԱԿԵԱՆ

## Udhnhnid

Սպնկարաֆոտոմետրիկ և իոնափոխանակային քրոմատոգրաֆիայի եղանակներով ուսումնասիրված է վոլֆրամի(VI) ԹրԹնջկաԹԹվային, կիտրոնաԹըԹվային և գինե⊮Թվային կոմպլեքսների բաղադրուԹյունը, Հաստատված է, որ pH=2,1-ի դեպքում վոլֆրամիլ-իոնի և օքսալատ-, ցիտրատ- և տարտրատիոների մոլային հարաբերուԹյունը հավասար է 1:1։

Թղթե իոնաֆորեզի ժամանակ իոների տեղաշարժի եղանակով Հաստատված է հետագոտվող կոմպլեքսային անիոնների բացառական լիցքը։

Ուսումնասիրելով լիգանդի ներկայությամբ AB-17 անիոնիտի լրիվ փոխանակային տարողությունը ըստ հետազոտվող իոնի, որոշված է վոլֆրամի(VI) առաջացրած կոմպլեքսային իոների լիցքի մեծությունը։ Առաջարկված են նրանց բաղադրությունը արտահայտող բանաձևեր՝

 $[WO_2(OH)C_2O_4]^-$ ,  $[WO_2C_6H_5O_7]^-$  &  $[WO_2C_4H_3O_6]^-$ .

#### ЛИТЕРАТУРА

- 1. Н. В. Улько, Вісник Київск. ун-ту, Сер. Фіз.-на хім., № 6, 106 (1966).
- R. Ripan, A. Duca, J. Ceteanu, Studii si cercetări chim. Acad. RPR Fil. Cluj. 10, No. 1, 31 (1959); PXX, 14, 56489 (1960).
- 3. Х. Р. Рахимов, А. Бердихаликов, Научн. тр. Ташкентского ун-та, 264, 142 (1964).
- 4. O. Vartapetian, P. Sakellaridis, C. r., 234. 1621 (1952).
- 5. Г. С. Савченко, Химия редких элементов, вып. 2, 68 (1955).
- 6. И. В. Пятницкий, Л. Ф. Кравцова Укр. хим. ж., 34, 760 (1968).
- 7. К. Б. Яцимирский, К. Е. Прик, ЖНХ, 7, 1589 (1962).
- 8. M. Theodoresko, C. r., 203, 668 (1936); [C. 1937, 11, 4197].
- S. Prasad, K. S. R. Krishnalah, J. Proc. Inst. Chemists (India), 33, 5, 239 (1961), PKX, 19B, 39 (1962).
- 10. M. J. Baillie, D. K. Brown, J. Chem. Soc., 1961, 3691.

XXIV, № 7, 1971

#### ОРГАНИЧЕСКАЯ ХИМИЯ

УДК 542.91 +547.474.3

# СИНТЕЗ И НЕКОТОРЫЕ ПРЕВРАЩЕНИЯ ДИЭТИЛОВЫХ ЭФИРОВ АЛКИЛГЛИЦИДИЛМАЛОНОВЫХ КИСЛОТ

# Э. Г. МЕСРОПЯН, З. Т. КАРАПЕТЯН и М. Т. ДАНГЯН

Ереванский государственный университет

Поступило 19 XI 1970

Описывается синтез новых оксиранов—аддуктов натриевых производных алкил (аллил) малоновых эфиров с эпихлоргидрином. Исследованы некоторые превращения алкил (аллил) глицидилмалоновых эфиров, приводящие к образованию замещенных увалеролактонов и спиро - у д-дилактона.

Табл. 4, библ. ссылок 15.

Ранее сообщалось о получении оксиранов нового ряда и их производных [1]. Данная работа является продолжением этих исследований; в ней описан ряд новых оксиранов и некоторые их химические превращения.

В литературе имеется много сообщений о взаимодействии несимметричных α-окисей со спиртами [2—10]. Нам казалось интересным изучить порядок присоединения спирта к оксиранам нового ряда. С этой целью изучалась конденсация метилового спирта с оксиранами I в присутствии натрия. 

•

В ИК спектре продукта присоединения (R=C<sub>4</sub>H<sub>8</sub>) обнаружены полосы поглощения при 1771 (СО в пятичленном лактоне), 1727 (сложноэфирная группа) и 1291—1232 см<sup>-1</sup> (С-О-С). На основании этих, а также аналитических данных и химических превращений установлена структура II продуктов присоединения; согласно правилу Красуского [11], оксигруппа присоединяется к наименее гидрогенизированному атому углерода. Структуру II подтверждает и то обстоятельство, что нами не обнаружены в- лактоны, которые должны были бы образоваться при обратном порядке присоединения.

Щелочным гидролизом соединений II получены α-алкил-δ-меток си-γ-валеролактоны III.

$$(C_2H_3OCO)_2C(R)CH_2CH - CH_2 \xrightarrow{CH_8OH} H_3COH_2CHC \xrightarrow{C} COOC_2H_3$$

$$H_3COH_2CHC \xrightarrow{C} CO$$

$$H_3COH_2CHC \xrightarrow{C} COOC_2H_3$$

$$H_3COH_3CHC \xrightarrow{C} COOC_2H_3$$

$$H_3COH_3CHC \xrightarrow{C} COOC_2H_3$$

$$H_3COH_3CHC \xrightarrow{C} COOC_3H_3$$

При реакции оксиранов с эфирным раствором хлористого водорода [12] в основном получены α-алкил-2-карбэтокси-6-хлор-γ-валеролактоны IV, т. е. присоединение хлористого водорода происходит в соответствии с правилом Марковникова [13]. В случае соединения с пропильным радикалом нам удалось в малом количестве выделить также лактон V [14].

В ИК спектре лактона VI с  $R=C_4H_8$  обнаружены полосы поглощения при 1770 (СО в пятичленном лактоне), 1730 (сложноэфирная группа) 1228 см $^{-1}$  (С—О—С). Строение VI подтверждено и щелочным гидролизом в описанные ранее [1]  $\alpha$ -алкил-с-окси- $\gamma$ -валеролактоны, а также встречным синтезом; осадок хлористого натрия, образовавшийся при синтезе оксирана I и пропитанный им [1], обрабатывается серной кислотой и экстрагируется эфиром; при этом с низкими выходами получены лактоны VI:

$$! + \underset{\mathsf{NaCl}}{\mathsf{HOH}} \longrightarrow [\mathsf{I} + \mathsf{C}\overline{\mathsf{I}} + \mathsf{O}\overline{\mathsf{H}} + \overset{\scriptscriptstyle{+}}{\mathsf{N}} \longrightarrow \mathsf{NaOH} + \mathsf{IV}] \longrightarrow \mathsf{VI}$$

Ранее сообщалось о синтезе α-ацетил-α'-оксиметил-ү, спиродилактона [15]. Продолжая исследования в этом аспекте, мы синтезировали аллилглицидилмалоновый эфир IX. Кислотным гидролизом окиси был получен α-аллил-α-карбэтокси-δ-окси-γ-валеролактон X, ко-

торый окислением перекисью водорода в среде уксусного ангидрида переведен в 2,2'-диоксиметил-7,7-спиродилактон XI. Структура последнего подтверждена данными ИК спектроскопии [в спектре обнаружены полосы при 1741—1734 (С=О), 1232, 1195, 1045 (С—О—С) и 3433—3254 см—1 (ОН-спиртовая)] и встречным сиптезом: при окислении окиси IX перекисью водорода в среде уксусного ангидрида выделен тот же спиро-7,7-дилактон XI.

# Экспериментальная часть

Алкилглицидилмалоновые эфиры. Известным способом [1] получены новые оксираны. Константы и данные элементарных анализов приведены в таблице 1.

Tαδλυμα 1
(C<sub>2</sub>H<sub>5</sub>OCO)<sub>2</sub>C(R')CH<sub>2</sub>CH — CH<sub>2</sub>

17			ая	1		MRD		Анализ, <sup>0</sup> / <sub>0</sub>			
R'	0/0 :	Т. кип.,	улярн яа	n <sub>D</sub> <sup>20</sup>		01	числено	01	3	2	
	Выход	°С/мм	Молекуля формула	- 5	d <sub>4</sub> <sup>20</sup>	найдено	B IN Y III C.	найдено	вычис	пайдено	вычис-
CH	E0 4	126 140/0	C H O	1 4422	1 0700	74 00	74 00	60 67	en 00	0 01	000
C <sub>5</sub> H <sub>11</sub>		136—140/2	C15H26O5								
C7H15	54.3	149—151/0,5									
C <sub>8</sub> H <sub>17</sub>	55,4		C <sub>18</sub> H <sub>32</sub> O <sub>5</sub>								
CH <sub>2</sub> =CHCH <sub>2</sub> -	52,5	119121/1	C13H20O5	1,4540	1,0727	64,60	64,53	61,34	60,93	8,13	7,81
							1	10			1000

2-Алкил-а-карбэтокси - в-метокси-ү-валеролактоны. К смеси 23 мл метилового спирта и 0,23 г натрия добавляют 20,5 г (0,07 моля) амилглицидилмалонового эфира; реакционную смесь нагревают в течение 6 часов при 50°, отгоняют избыток спирта, остаток промывают водой, экстрагируют эфиром, эфирный экстракт высушивают безводным сульфатом натрия. После удаления эфира остаток разго-

няют в вакууме. Физико-химические константы и данные элементарных анализов приведены в таблице 2.

		4 72 05 1	Молекулярная формула	n <sup>20</sup>	d <sup>20</sup>	MRD		Анализ, <sup>0</sup> / <sub>0</sub>				
1000	Выход, 0/0	1				100		9	С		Н	
R		Т. кип., °С!мм				найдено	Вычислено	найдено	вычис-	найдено	лено	
C <sub>3</sub> H,	65,2	135—140/2	C <sub>12</sub> H <sub>20</sub> O <sub>5</sub>	1,4470	1,0885	59,80	60,38	58,42	59,01	8,24	8,19	
C <sub>4</sub> H,	66,3	140-143/1	C13H22O5	1,4531	1,0779	64,70	65,00	61,02	60,46			
C <sub>5</sub> H <sub>11</sub>	67,5	145—147/2	C141124O5	1,4540	1,0642	69,13	69,92	61,82	61,76	8,46	8,82	

а-Алкил-о-метокси-  $\gamma$  - валероликтоны (щелочной гидролиз). Смесь 4,32 г едкого натра, 5,6 мл воды и 10 г (0,037 моля) а-амил-а-карбэтокси-о-метокси- $\gamma$ -валеролактона нагревают на кипящей водяной бане в течение 4 часов, после чего добавляют 10 мл воды, экстрагируют эфиром, подкисляют соляной кислотой (на конго) и снова экстрагируют эфиром. Эфирные вытяжки высушивают над безводным сернокислым натрием. После удаления эфира остаток перегоняют в вакууме (табл. 3).

Таблица 3

		Т. кип., °С/мм	88			MR		Анализ, °/0			
R	Выход, 0/0		Молекулярная формула	n <sup>20</sup>	d <sub>4</sub> <sup>20</sup>	найдено	вычислено	найдено	вычис-	найдено	вычис-
C <sub>3</sub> H <sub>7</sub>	59,2	124—125/1	C <sub>9</sub> H <sub>16</sub> O <sub>3</sub>	1,4495	1,0368	44,67	44,87	65,51	62,70	9,12	9,30
C <sub>4</sub> H <sub>9</sub>	54,5	125—126/1	C10H18O3	1,4500	1,0159	49,45	49,49	64,32	64,51	9,45	9,67
C <sub>5</sub> H <sub>11</sub>	52,4	122—126/0,5	C <sub>11</sub> H <sub>20</sub> O <sub>3</sub>	1,4502	0,9900	54,28	54,11	65,98	66,00	9,85	10,00

а-Алкил-а-карбэтокси-δ-хлор-γ-валеролактоны. К 10 г (0,035 мо-ля) амилглицидилмалонового эфира при охлаждении добавляют 10 мл 5,9 к эфирного раствора хлористого водорода. Реакционную массу оставляют в течение 48 часов при 20—22°, затем перегоняют в вакууме. Физико-химические констыты полученных соединений и данные элементарных анализов приведены в таблице 4.

Таблица 4

	Выхол, 0/0			3,13		М	R <sub>D</sub>	Анал	из, 0/0
R		Т. кип., °С/мм	Молекулярная формула	n <sub>D</sub> <sup>20</sup>	d <sub>4</sub> <sup>20</sup>	найдено	вычислено	найдено	DIPARIC-
C <sub>3</sub> H <sub>7</sub> *	50,2	160165/1	C11H17O4CI	1,4635	1,1497	59,56	58,98	13,61	14,29
C <sub>4</sub> H <sub>e</sub>	51,2	162-165/1	C12H18O4CI	1,4632	1,1241	64,33	63,60	12,88	13,52
C <sub>5</sub> H <sub>11</sub>	60,1	165—170/1	C <sub>13</sub> H <sub>21</sub> O <sub>4</sub> Cl	1,4641	1,1035	69,15	68,22	12,51	12.83

\* В случае пропилового радикала нам удалось выделить 2-пропил-2-карбэтокси-3-окси-7-валеролактон с константами, соответствующими литературным данным [1].

Шелочный гидролиз а-алкил-а-карбэтокси- $\hat{\alpha}$ -хлор- $\gamma$ -валеролактонов. Аналогично вышеописанному щелочному гидролизу, из 5,47 г (0,02 моля) а-бутил-а-карбэтокси- $\hat{\alpha}$ -хлор- $\gamma$ -валеролактона, 3,4 г едкого натра и 3 мл воды получено 3 г а-бутил- $\hat{\alpha}$ -окси- $\gamma$ -валеролак: она; т. кип. 148°/1 мм;  $n_{\rm m}^{20}$  1,4610 [1].

Из 7 г (0,02 моля) 2-амил- $\alpha$ -карбэтокси- $\delta$ -хлор- $\gamma$ -валеролактона, 3,4 г едкого натра и 3 мл воды получено 4,5 г 2-амил- $\delta$ -окси- $\gamma$ -валеролактона; т. кип.  $160^{\circ}/1$  мм;  $n_{\rm D}^{20}$  1,4600.

Окисление аллилглицидилмалонового эфира. К 6,5 г (0,02 моля) аллилглицидилмалонового эфира по каплям добавляют 40 мл уксусного ангидрида с 14 мл перекиси водорода. Реакционную смесь нагревают при  $55-65^{\circ}$  в течение 16 часов. После удаления избытка уксусного ангидрида остаток перегоняют в вакууме. Получено 3 г (54,5%) IX; т. кип.  $225-230^{\circ}/1,5$  мм;  $n_D^{20}$  1,4860;  $d_D^{20}$  1,3285;  $MR_D$  найдено 46,51, вычислено 45,76. Найдено  $n_D^{00}$ : С 50,39, Н 5,95.  $n_D^{00}$ 0 Вычислено  $n_D^{00}$ 0: С 50,00; Н 5,55.

а-Аллил-а-карбэтокси- $\mathfrak{F}$ -окси- $\mathfrak{F}$ -валеролактон X. Смесь 9 г (0,03 моля) аллилглицидилмалонового эфира, 0,1 мл концентрированной серной кислоты, 25 мл воды нагревают при  $78-80^{\circ}/_{\circ}$  в течение 3 часов. Затем нейтрализуют небольшим количеством поташа, экстрагируют эфиром. Эфирные вытяжки высушивают безводным сернокислым магнием. После удаления эфира остаток перегоняют в вакууме. Получено 4 г ( $56,1^{\circ}/_{\circ}$ ) X; т. кип.  $143-150^{\circ}/_{\circ}$ ,5 мм;  $\mathfrak{n}_{D}^{20}$  1,4870;  $\mathfrak{d}_{4}^{20}$  1,1529; М $\mathfrak{R}_{D}$  найдено  $\mathfrak{h}_{6}$ 5,88, вычислено  $\mathfrak{h}_{6}$ 5. Найдено  $\mathfrak{h}_{6}$ 6. С  $\mathfrak{h}_{7}$ 7,44. С $\mathfrak{h}_{11}$ 605. Вычислено  $\mathfrak{h}_{7}$ 6. С  $\mathfrak{h}_{7}$ 7,91.

Окисление а-аллил-а-карбэтокси- $\gamma$ -окси- $\gamma$ -валеролактона. Аналогично вышеописанному, из 1 г лактона X, 2,9 мл перекиси водорода и 3 мл уксусного ангидрида получено 0,5 г (50,5%) XI; т. кип. 224—240°/1 мм;  $n^{20}$  1,4865.

# ԱԼԿԻԼԳԼԻՑԻԴԻԼՄԱԼՈՆԱԹԹՈՒՆԵՐԻ ԴԻԼԹԻԼԷՍԹԵՐՆԵՐԻ ՍԻՆԹԵԶ ԵՎ ՆՐԱՆՑ ՄԻ ՔԱՆԻ ՓՈԽԱՐԿՈՒՄՆԵՐԸ

է. Գ. ՄԵՍՐՈՊՅԱՆ, Զ. թ. ԿԱՐԱՊԵՏՑԱՆ և Մ. Տ. ԴԱՆՂՑԱՆ

# Udhnhnid

Աշխատանքում նկարագրված է նոր օքսիրանների սինթեղ՝ ալկիլ(ալլիլ)մալոնաթթուների դիէթիլէսթերների նատրիումական ածանցյալների և էսլիւլորհիդրինի փոխազդմամբ։ Հետազոտված են ալկիլ(ալլիլ)գլիցիդիլմալոնաթթուների դիէթիլէսթերների որոշ փոխարկումները, որոնց արդյունքները հանդիսացել են տեղակալված ղ-վալերալակտոններ և սպիրո-դ,-դիլակտոն։

Ստացված միացությունները և նրանց որոշ տվյալները ներկայացված են

շորս աղլուսակներում։

#### ЛИТЕРАТУРА

- 1. Э. Г. Месропян. З. Т. Карапетян, М. Т. Дангян, Арм. хим. ж., 22, 905 (1969).
- 2. Л. А. Мухамедова, Т. М. Малышко, Р. Р. Шагидуллин, Н. В. Тептина, ХГС 1968, 195.
- М. С. Малиновский, Окиси олефинов и их производные, Госхимиздат, Москва! 1961, стр. 152.
- A. Weissberger. A. Rosovsky, The Chemistry of Heterocyclic Compounds, N. Y.— London—Sydney, 1, 1964, 289.
- 5. А. А. Петров, ЖОХ, 10, 981 (1940).
- 6. А. А. Тяжелова, Тр. Воронежск. ун-та, 9, 140 (1937).
- 7. А. Н. Пудовик, С. Г. Денисламова, ЖОХ, 27, 2363 (1957).
- 8. Л. А. Мухамедова, Т. М. Малышко, Изв. АН СССР, ОХН, 1964 2042.
- А. А. Петров, Сб. «Вопросы кимической кинетики, катализа и реакционной способности», Изд. АН СССР, 1955. стр. 782.
- 10. Л. А. Мухамедова, М. И. Кудрявцева, ХГС, 1968, 579.
- 11. К. А. Красуский, ЖРХО, 39, 460, 1969 (1907); А. А. Петров, Е. Н. Притула, ЖПХ, 28, 556 (1955).
- 12. Л. А. Мухамедова, Т. М. Мальшко, ХГС, 1968, 195.
- 13. В. В. Марковников, ЖРХО. 8, 22 (1876); К. А. Красуский, ЖРХО, 32, 84 (1900); Вег., 39, 530 (1907).
- М. С. Малиновский, Окисн олефинов и их производные, Госхимиздат, Москва, 1961, стр. 196.
- 15. Э. Г. Месропян, Э. Т. Карапетян, М. Т. Дангян, Арм. хим. ж., 23, 714 (1970).

# 

XXIV, № 7, 1971

УДК 542.955+547.239.2+547.316

18 74

# РЕАКЦИИ НЕПРЕДЕЛЬНЫХ СОЕДИНЕНИИ

## II. ПРИСОЕДИНЕНИЕ ТРИХЛОРАЦЕТОНИТРИЛА К НЕКОТОРЫМ ДИЕНАМ И ЕНИНАМ

Ш. О. БАДАНЯН, К. Л. САРКИСЯН и А. А. ГЕВОРКЯН Институт органической химии АН Армянской ССР (Ереван) Поступило 18 VI 1970

Ревиция присоединения трихлорацетонитрила к дненам и енинам, иницинруемая окнелительно-восствиовительными системами, приводит к образованию интрилов галогенсодержащих алкеновых и алленовых кислот, соответственно.

Табл. 1, библ. ссылок 5.

Среди молекул, вступающих в реакцию радикального присоединения, особое место занимают производные пергалондкарбоновых кислот, способные давать продукты присоединения с непредельными системами [1,2]. Между тем, имеются лишь скудные данные относительно присоединения соединений указанного типа к диенам и енинам [3,4]. Это побудило нас к исследованию реакции полигалондсоединений с диеновыми и винилацетиленовыми уплеводородами и их производными.

В настоящей статье рассмапривается овободнорадикальное присоединение трихлорацетонитрила к диенам и енинам, инициируемое окислительно-восстановительными системами.

Оказалось, что соли одновалентной меди в ацетониприльном или метанольном растворах хорошо катализируют реакцию присоединения прихлорацетонитрила к хлоропрену, 2,3-дихлорбутадиену, изопрену, пиперилену, бутадиену и циклогексадиену; при этом с хорошими выходами получаются нитрилы галогенсодержащих гексеновых кислот.

CHR=CXCX<sub>1</sub>=CHR' 
$$\longrightarrow$$
 CIC(R)HCX=CX<sub>1</sub>CH(R)CCI<sub>2</sub>CN  
I. R=R'=H; X=X<sub>1</sub>=CI; II. R=R'=H; X=H; X<sub>1</sub>=CH<sub>2</sub>;  
III. R=R'=H; X=H; X<sub>1</sub>=CI; IV. R=CH<sub>3</sub>; R'=H; X=X<sub>1</sub>=H;  
V. R=R'=H; X=X<sub>1</sub>=H; VI. R  $\bowtie$  R'=CH<sub>2</sub>CH<sub>2</sub>; X=X<sub>1</sub>=H.

Трихлорацетонитрил в аналогичных условиях присоединяется также к винил- и изопропенилацетиленам с образованием нитрилов галогенсо-держащих алленовых кислот.

$$CH_2=C(R)C\equiv CH \longrightarrow CIHC=C=C(R)CCl_2CN$$
VII. R=H. VIII. R=CH<sub>3</sub>.

Строение полученных соединений подтверждено их ИК спектрами. В ИК спектрах нитрилов хлорсодержащих алкеновых кислот I—VI обнаружены полосы поглощения в области 2250-2260 (C  $\equiv$  N), 1650-1660 см $^{-1}$  (C=C) средней интенсивности. В спектрах нитрилов алленовых кислот VII—VIII найдены интенсивные частоты, характерные для C $\equiv$ N-, C=C=C- и =CHCI-групп, соответственно, при 2257, 1963 и 3069, 991, 909 см $^{-1}$ .

Реакция присоединения прихлорацетонитрила к диенам и енинам, по сравнению с присоединением к моноолефинам, обладает рядом особенностей, обусловленных, в первую очередь, малой реакционной способностью генерируемого радикала. Так, ни в одной из вышеописанных реакций нам не удалось выделить теломерный продукт. Видимо, это объясняется тем, что аллильный и апленильный радикалы в значительной мере стабилизированы  $\pi$ -электронами аллильной и винильной систем. Этим объясняется и тот факт, что указанная реакция легче протекает в присутствии солей металлов переменной валентности (галогениды железа и меди, являющиеся эффективными передатчиками цепи по схеме передачи лиганда).

NCCCI<sub>3</sub> + CuCi 
$$\longrightarrow$$
 NCCCI<sub>2</sub> + CuCi<sub>2</sub>

NCCCI<sub>3</sub> + CHR=CXCX<sub>1</sub>=CHR'  $\longrightarrow$  N=CCCI<sub>3</sub>C(R)HCX=CX<sub>1</sub>C(R')H

IX

NCCCI<sub>2</sub> + CH<sub>3</sub>=CRC=CH  $\longrightarrow$  NCCCI<sub>2</sub>CH<sub>2</sub>CR=C=CH

X

IX + CuCl<sub>2</sub>  $\longrightarrow$  I-VI + CuCi

X + CuCl<sub>3</sub>  $\longrightarrow$  VII-VIII + CuCi и т. д.

# Экспериментальная часть

Присоединение трихлорацетонитрила к диенам и енинам. Смесь 0,045 моля диена (енина), 0,45 моля трихлорацетонитрила, 0,1 г хлористой меди в 20 мл ацетонитрила напревалась при 60° в течение 20 часов. Реакционная смесь разбавлялась 15 мл воды, затем экспрагировалась эфиром, высущивалась сульфатом магния и после отгонки эфира остаток перегонялся в вакууме.

Константы полученных хлорсодержащих непредельных нитрилов приведены в таблице.

Соединение	Выход, 0/0	Т. кип., °С/ мм	Молекулярная формула	n D	d <sup>20</sup>	
I	87,5	112/4	C <sub>6</sub> H <sub>4</sub> Cl <sub>5</sub> N	1,5350	1,5070	
II	97,6	96/4	C7H7Cl3N	1.4930	1,2420	
Ш	95,2	97/3	C <sub>s</sub> H <sub>5</sub> Cl <sub>4</sub> N	1,5084	1,4107	
IV	84,0	80-82/2,5	C7H7Cl3N	1,4850	1,2140	
٧	56,8	91/4	C <sub>e</sub> H <sub>e</sub> Cl <sub>3</sub> N	1,4870	1,2493	
VI	50,0	93/3	C <sub>8</sub> H <sub>8</sub> Cl <sub>3</sub> N	1,5290	1,2955	
VII	62,5	87/5	C <sub>e</sub> H <sub>4</sub> Cl <sub>3</sub> N	1,5160	1,3329	
VIII	98,0	69-70/2	C <sub>1</sub> H <sub>8</sub> Cl <sub>3</sub> N	1,5200	1,2906	

M	MR <sub>D</sub> Анализ, °/о								
Ollis	A	нандено				вычислено			
найдено	Вычис	С	н	CI	N	СН		CI	N
55,19	53,59	26,92	1,65	65,90	5,75	26,92	1,49	66,85	5,27
48,69	48,49	39,90	3,58	50,50	6.49	39,57	3,77	50,12	6,58
49,22	48,73	31,73	2,53	59,90	5,94	30,90	2,14	60,90	6,02
49,92	48,47	38,82	3,69	50,80	7,29	39,52	3,76	50,11	6,54
45,67	44,23	36,50	3,00	52,97	7,20	36,27	3,02	53,60	7,05
53,45	50,90	41,80	3,79	46,55	7,01	42,76	3,57	47,43	6,23
44,52	43,39	36,56	2,23	52,00	7,03	36,63	2,04	53.87	7.12
49,58	49,01	39,61	3,13	50,58	6,20	39,95	2,95	50,59	6.65

### ՉՀԱԳԵՑԱԾ ՄԻԱՑՈՒԹՅՈՒՆՆԵՐԻ ՌԵԱԿՑԻԱՆԵՐ

II. ԴԻՍՆՆԵՐԻՆ ԵՎ ԵՆԻՆՆԵՐԻՆ ՏՐԻՔԼՈՐԱՑԵՏՈՆԻՏՐԻԼԻ ՄԻԱՑՈՒՄ

Շ. Հ. ՔԱԴԱՆՑԱՆ, Կ. Լ. ՍԱՐԳՍՑԱՆ և Ա. Հ. ԳԵՎՈՐԳՑԱՆ

# Ամփոփում

Ցույց է արված, որ արիջլորջացախաքիկի նիարիլը պղնձի մոնոջլորիդի ներկայությամբ ացետոնիարիլի կամ մեթանոլի միջավայրում բավական սա-Տուն միանում է զուգորդված դիձններին (ջլորապրեն, 2,3-դիջլորթուտադիեն, իզոպրեն, բուտադիեն, պիպերիլեն և ցիկլոհեքսադիեն) և ենիններին (վինիլացետիլեն և իզոպրոպենիլացետիլեն), գոյացնելով ջլոր պարունակող համապատասխան ալկենային և ալլենային թթուների նիտրիլներ։

#### JHTEPATYPA

- 1. И. Уоллинг, Э. Хойзер, Орг. реакции, ИЛ, Москва 13, 103 (1966).
- 2. Ф. У. Стем, Дж. Х. Гаррис, Орг. реакции, ИЛ, Москва, 13, 170 (1966).
- 3. И. Б. Афанасьев, Г. И. Самохвалов, Усп. хим., 38, 687 (1969).
- 4. Ш. О. Баданян, А. Н. Степанян, А. А. Геворкян, Арм. хим. ж., 24, 498 (1971).

## XXIV, № 7, 1971

УДК 541.8+541.64

## ИССЛЕДОВАНИЕ СТРУКТУР ГИДРОКСИЛ- И КАРБОКСИЛСОДЕРЖАЩИХ ПОЛИМЕРОВ В РАСТВОРАХ

III. СВЕТОРАССЕЯНИЕ И ПОЛИЭЛЕКТРОЛИТНОЕ НАБУХАНИЕ ПРИВИТОГО СОПОЛИМЕРА ПОЛИДИМЕТИЛВИНИЛЭТИНИЛКАРБИНОЛ—МЕТАКРИЛОВАЯ КИСЛОТА

В. А. ДАНИЕЛЯН, В. Г. БАРХУДАРЯН и С. Г. МАЦОЯН

Институт органической химин АН Армянской ССР (Ереван), Ереванский подитехнический институт

## Поступило 3 VII 1970

Методом светорассеяния в трех растворителях определен средневесовой молекулярный вес привитого сополимера полидиметильниилэтивилкарбинол—метакриловая кислота, содержащего 54 вес. % привитых ценей. Измеревием вязкости растворов изучено
полиэлектролитное набухание сополимера в бинарных растворителях метанол—вода.
Показано, что, вследствие двойной роли воды в исследованных системах (осадителя
для поликарбинольного скелета и среды диссоциации для поликислотных ветвей), значения приведенных вязкостей растворов привитого сополимера в зависимости от состава
бинарного растворителя проходят через экстремальные точки. Этому способствуют также разные качества воды и метанола как растворителей гомополимеров, составляющих
привитый сополимер.

Рис. 4, табл. 2, библ. ссылок 8.

Поведение привитых сополимеров полиэлектролитного характера в растворах почти не изучено. Представлялось интересным исследование структуры и полиэлектролитных свойств привитого сополимера полидиметильникарбинол-метакриловая жислота, синтезированного разработанным нами способом [1]. Был исследован привитый сополимер (ПС), содержащий 54 вес. % полиметакриловой кислоты. Такое содержание ПМАК недостаточно для солюбилизации не растворимого в воде полидиметильний привитый скелета ПС, вселедствие чего последний не растворяется в воде. Нами были найдены только три растворителя для ПС—метанол, этанол и диметилформамид.

Диссоциация и полиэлектролитное набухание отчетливо заметны лишь в бинарных смесях указанных растворителей с водой. В частности мы остановились на системе метанол—вода; при этом верхний предел содержания воды ограничивается составом бинарной смеси, при котором ПС осаждается! Зависимость приведенных оптических и гидродинамических параметров растворов ПС в безводных растворителях линейна. Это позволило нам измерением света, рассеянного растворами ПС в указанных трех растворителях, определить истинный средневесо-

вой молекулярный вес  $\overline{M}_{\varpi}$  ПС на основе экспериментальных, кажущихся величин  $\overline{M}_{\varpi \ каж}$ . Согласно теории рассеяния света растворами сополимеров [2]

$$\overline{M}_{w \text{ каж.}} = \overline{M}_w + 2P \frac{\mathbf{v}_A - \mathbf{v}_B}{\mathbf{v}_0} + Q \left( \frac{\mathbf{v}_A - \mathbf{v}_B}{\mathbf{v}_0} \right)^2,$$

где  $\mathbf{v}_A$ ,  $\mathbf{v}_B$  и  $\mathbf{v}_0$  — инкременты показателя преломления  $\frac{\partial n}{\partial c}$  соответственно гомополимеров, мономеров A,B и сополимера данного состава в данном растворителе. P и Q являются мерой дисперсности сополимера по массе или композиции.

Измеренные значения  $\nu_A$  (ПДМВЭК),  $\nu_B$  (ПМАК),  $\nu_0$  и соответственно вычисленные величины  $\left(\frac{\nu_A-\nu_B}{\nu_0}\right)$  приведены в таблице 1.

Таблица 1 Рефрактометрические данные привитого сополимера в разных растворителях

Растворитель	n <sub>D</sub> <sup>20</sup>	$v_A$	B	70	$\frac{\gamma_A - \gamma_B}{\gamma_0}$
Метанол	1,32801	0,175	0,213	0,1954	-0,1945
Этапол	1,36278	0,157	0,133	0,1440	0,1667
Диметилформамид	1,42922	0,085	0.071	0,0766	0,1432

При измерении светорассеяния методом асимметрии в растворителях, в которых полиэлектролитные эффекты (ПЭ) не проявляются, в нашем случае с хорошей апроксимацией могут быть применены табулированные для клубков факторы внутренней интерференции  $P^{-1}_{90}$ .

В таблице 2 приведены вычисленные по данным таблицы 1 константы Дебая K для различных растворителей (при длине волны падающего света 436  $m_{\rm P}$ ), измеренные отношения  $(KC/R_{90})_{c=0}$ , характеристические асимметрии [Z], а также значения  $P_{90}^{-1}$  и  $M_{w_{\rm Kag}}$ :

Таблица 2 Светодисперсионные параметры привитого сополимера в разных растворителях

Растворитель	K-107	$\left(\frac{KC}{R_{90}}\right)_{c\to 0}$	[Z]	$P_{90}^{-1}$	M <sub>w каж.</sub> ⋅10-6
Метанол	6,13	$0.20 \cdot 10^{-5}$ $0.158 \cdot 10^{-5}$ $0.176 \cdot 10^{-5}$	2,02	1,840	0,93
Этанол	3,58		1,84	1,642	1,04
Диметилформамид	0,99		1,95	1,785	1,01

Совместным решением трех уравнений  $\overline{M}_{w \, \text{каж}} = f\left(\frac{\gamma_A - \gamma_B}{\gamma_0}\right)$  были получены значения  $\overline{M}_w = 0.887 \cdot 10^6$ ,  $P = 0.2 \cdot 10^6$  и  $Q = 3.31 \cdot 10^6 \cdot \overline{M}_w$  для ПДМВЭК (скелета прививки), измеренный двойной экстраполяцией по Зимму, составлял  $2.56 \cdot 10^5$ .

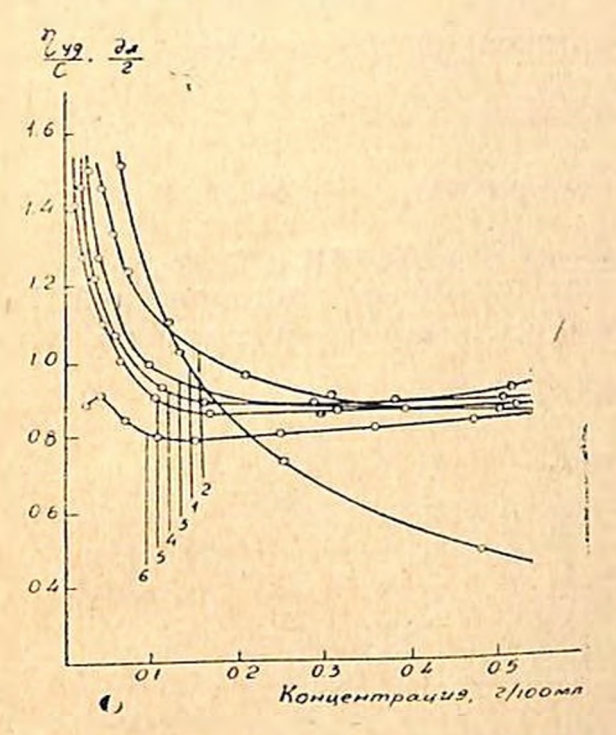


Рис. 1. Зависимость  $\eta_{yx}/C = f(C)$  для ПМАК при объемных процентах воды в смесях метанол—вода: 1—100; 2—41; 3—23.1; 4—16,8; 5—9,1; 6—0.

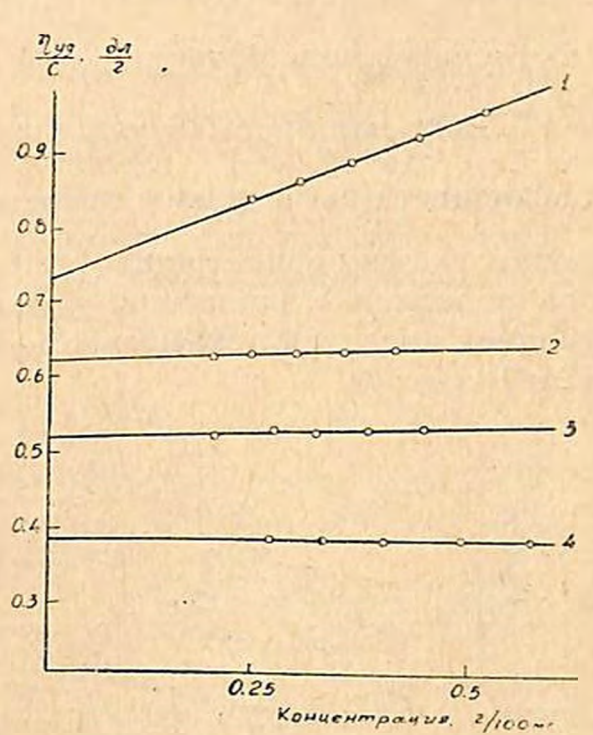


Рис. 2. Зависимость  $\eta_{yA}/C = f(C)$  для ПДМВЭК при объемных процентах воды в смесях метанол—вода: 1 - 0; 2 - 9,1 и 10,7; 3 - 23,1; 4 - 28,6.

В литературе имеются данные по поведению неполиэлектролитных сополимеров в смешанных растворителях [3—6]. Для изучения полиэлектролитного набухания ПС прежде всего необходимо было изучить гидродинамическое поведение составных гомополимеров ПДМВЭК и ПМАК в метаноле, воде и в их разных омесях. При этом необходимо оценить растворитель с термодинамической стороны («качество» растворителя) и с точки зрения возбуждения электростатических сил вдоль полиэлектролитных цепей (диссоциация). При этом разбавление растворов смещанными растворителями метанол—вода постоянного состава в пределах одного опыта обеспечивало проявление ПЭ только за счет «разрежения» облака противононов. Рисунок 1 показывает, что с термодинамической точки зрения метанол для ПМАК лучший растворитель, чем вода. Несмотря на явно выраженный ПЭ в воде, лишь при концентрациях меньне 0,2 г/100 мл вязкость водных растворов больше вязкости метанольных растворов.

Как и следовало ожидать, введение воды в растворы ПДМВЭК в метаноле закономерно уменьшает вязкость вследствие ухудшения растворителя и сворачивания клубков макромолекул ПДМВЭК (рис. 2).

При изучении вязкостей распворов ПС ярко выражается двоякая роль воды в смесях метанол—вода, где вода, с одной стороны, уменьнает вязкость сворачиванием ПДМВЭК-ного скелета, с другой, увеличивает вязкость вследствие ПЭ. Эти конкурентные факторы, приводят к прохождению вязкости через экстремальные значения в узком читервале соотношений вода—метанол. Другим следствием является неприменнымость уравнения Фуокса и нарушение линейной зависимости  $\frac{C}{\tau_{yx}}$  от  $C^{\tau_{h}}$  даже для явно ПЭ участков прафиков на рисунке 3. Для большей наглядности на рисунке 4 приведена зависимость  $\frac{\tau_{yx}}{C}$  от состава фастворителя при концентрации ПС 0,4 г/100 мл (по давным рис. 3). Уверенное подавление ионизации подкислением бинарных рактворителей  $1\kappa$  соляной кислотой показывает, как ожидалось, выпрямление кривых (кр. 12 и 13 рис. 3).

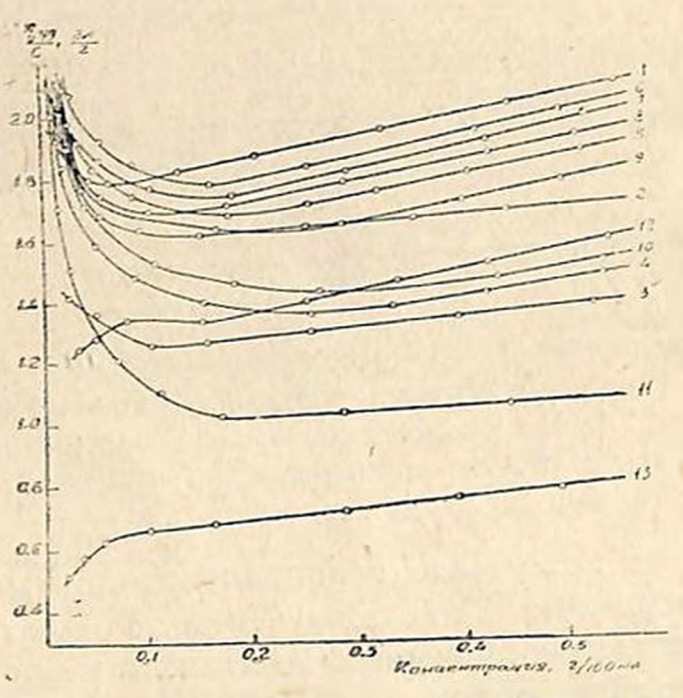


Рис. 3. Зависимость  $\eta_{yA}/C = f(C)$  для привитого сонолимера при объемных процентах воды в смесях метанол—вода: 1-0; 2-4.75; 3-9.1; 4-9.5; 5-9.9; 6-10.7; 7-13; 8-16.8; 9-23.1; 10-28.6; 11-35.4; 12-28.6 (1  $\mu$  HCI); 13-33.2 (1  $\mu$  HCI).

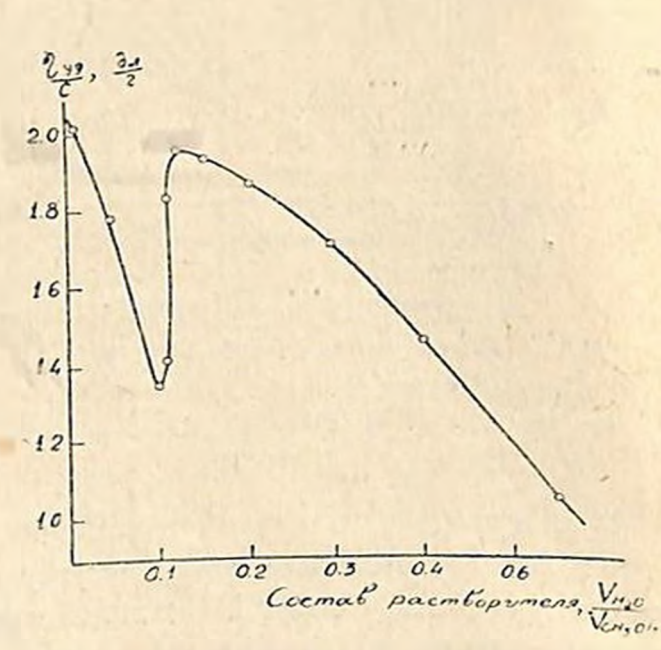


Рис. 4. Зависимость  $\eta_{y_A}/C$  от состава бинарного растворителя метанол—вода при концентрации привитого сополимера 0,4 г/100 мл.

Конечно было бы желательно непосредственно определить размеры маюромолекул ПС в смешанных растворителях оценкой раднуса инорции. Такая полытка сделана Орофино и Флори [7] для определения изменения раднуса инорции ПМАК в водных растворах в присутствии солей при разных нонных силах по угловой зависимости рассеянного света на графиках двойной экстраноляции и координатах (КС) =

 $=f\left(\sin^2\frac{\theta}{2}\right)$ . Однако при малых ионных силах отклонения от линейности настолько значительны, что экстраполяция становится очень неопределенной и данные трудно интерпретируются.

В нашем случае возможность такой, хотя бы приближенной оценки размеров исключается, по крайней мере, по трем причинам: а) обязательное применение бинарного растворителя представляет большие теоретические и экспериментальные трудности [8]; б) в разных бинарных смесях радиусы инерции получаются кажущимися, как и отрезки  $1/M_w$  на основе которых они вычисляются; в) уверенная экстраполяция к нулевому углу требует применения больших новных сил растворов, параллельно которым погашается вклад ПЭ набухания в изменении размеров мажромолекул.

## Экспериментальная часть

Синтезированный указанным в [1] способом ПС дважды осаждался в 10-кратном объеме воды, промывался водой на стеклянном фильтре и высушивался до постоянного веса.

Вязкости растворов определялись вискозиметром типа Уббелоде при 20°. Для измерения инкрементов показателей преломления (на рефрактометре ИРФ-23) использовались растворители одинаковых партий. Использованная посуда, а также кюветы для оветорассеяния обеспыливались конденсацией паров растворителей, а последние очищались и обеспылывались перегонкой. Растворы полимеров отфильтровывались через стеклянные фильтры Шотта № 5. Чистота растворителей проверялась отсутствием асимметрии индикатрисы светорассеяния под углами 45 и 135°. Измерение светорассеяния растворов производилось фотоэлектрическим нефелометром ФПС-1 конспрукции ЦКБ АН СССР.

# ՀԻԳՐՕՔՍԻԼ ԵՎ ԿԱՐԲՕՔՍԻԼ ՊԱՐՈՒՆԱԿՈՂ ԼՈՒԾՈՒՅԹՆԵՐՈՒՄ ԳՏՆՎՈՂ ՊՈԼԻՄԵՐՆԵՐԻ ԿԱՌՈՒՑՎԱԾՔԻ ՈՒՍՈՒՄՆԱՍԻՐՈՒԹՅՈՒՆ

III. ՊՈԼԻԳԻՄԵԹԻԼՎԻՆԻԼԷԹԻՆԻԼԿԱՔՔԻՆՈԼ–ՄԵՏԱԿՐԻԼԱԹԹՈՒ ՊԱՏՎԱՍՏՎԱԾ ՀԱՄԱՏԵՂ ՊՈԼԻՄԵՐԻ ԼՈՒՍԱՑՔՈՒՄԸ ԵՎ ՊՈԼԻԷԼԵԿՏՐԱԼԻՏԱՅԻՆ ՈՒՌՉՈՒՄԸ

Վ. Հ. ԳԱՆԻԵԼՅԱՆ, Վ. Գ. ԲԱԲԽՈՒԳԱԲՅԱՆ և Ս. Գ. ՄԱՑՈՅԱՆ

## U. ú chn chn c ú

Ըստ Բենուայի տեսուիյան պատվաստված Համատեղ պոլիմերի իվացող միջին կշռային մոլեկուլային կշիռները որոշվել են լուսացրման եղանակով, երեր լուծիչներում (մեթանոլ, էթանոլ, դիմեթիլֆորմամիդ)։ Այդ տվյալների Հիման վրա որոշվել է Համատեղ պոլիմերի միջին կշռային մոլեկուլային կշիռը։

չափսերը փոփոխվում են՝ կախված այդ խառնուրդների կաղմից, մածուցիկու-

թյան չափման միջոցով ուսումնասիրված է նաև պատվաստված համատեղ

արոլիմերի պոլիէլեկարալիտային ուռշումը։

Գանվել է, որ ջրի երկակի դերի հետևանքով (նստեցուցիչ՝ պոլիկարրինոլային կմախրի համար և դիսոցման միջավայր՝ պոլիթթվային ճյուղերի համար), կախված երկակի լուծիչի կաղմից, համատեղ պոլիմերի բերված մածուցիկություններն անցնում են էրսարեմալ արժերների վրայով։

Քննարկվում են նաև պոլիէլեկտրալիտային բաղադրիչ պարունակող հա-

մատեղ պոլիների չափսերի որոշման հետ կապված մի բանի հարցեր։

## ЛИТЕРАТУРА

- 1. В. А. Даниелян, В. Г. Бархударян, С. Г. Мацоян, Арм. хим. ж., 23, 905 (1970).
- 2. W. Bushuk, H. Benoit, C. r., 246, 3167 (1958); Can. J. Chem., 36, 1616 (1958). 3. J. Gallot, M. Leng, H. Benoit, P. Rempp, J. chem. phys., 59, 1093 (1962).
- 4. A. Dondos, P. Rempp. H. Benoit, J. chim. phys., 62, 821 (1965).
- 5. D. Froelich, H. Benoit, Makromolek. Chem., 92, 224 (1966).
- 6. В. Г. Алдошин. С. Я. Френкель. Высокомол. соед., 4, 116 (1962).
- 7. T. A. Orofino, P. J. Flory, J. Phys. Chem., 63, 283 (1959).
- 8. E. F. Casassa, H. Eisenberg, J. Phys. Chem., 64, 753 (1960).

XXIV, № 7, 1971

#### синтез пестицидов

#### ЭТИЛОВЫЕ ЭФИРЫ О-∡-АЛКОКСИ-3,3,3-ТРИХЛОРЭТИЛГЛИКО ЛЕВЫХ КИСЛОТ

#### В. В. ДОВЛАТЯН и К. А. ЭЛИАЗЯН

Армянский сельскохозяйственный институт (Ереван)

Поступило 22 XII 1970

Этиловый эфир гликолевой кислоты с хлоралем в присутствии каталитических количеств пиридина образует карбэтоксиметилполуацеталь хлораля.

Продукт хлорирования последнего со спиртами претерпевает реакцию переэторификации с образованием этиловых эфиров О-а,3,3,3-тетрахлорэтилгликолевой кислоты

Между тем, α, β, β, β-тетрахлорэтилалкилэфиры реагируют с этиловым эфиром гликолевой кислоты с образованием этиловых эфиров О-α-алкокси-β, β, β-трихлорэтилгликолевых кислот.

Табл. 1, библ. ссылок 4.

Согласно нашим предыдущим опытам, хлораль с циангидринами альдегидов и кетонов, а также с ацетиленовыми диолами образует соответствующие неустойчивые полуацетали, которые при вакуум-перегонке разлагаются с превращением в исходные продукты [1]. Было интересно изучить взаимодействие хлораля с этиловым эфиром гликолевой кислоты. Опыты показали, что ожидаемый при этом карбэтоксиметиллолуацеталь хлораля может быть получен с удовлетворительными выходами только в присупствии каталитических количеств пиридина:

$$CCI_3CHO + HOCH_2COOC_2H_5 \xrightarrow{C_8H_8N} CCI_2CH(OH)OCH_2COOC_2H_5.$$

Полученный полуацеталь, в противолопожность полуащеталям, содерокащим циангруппу или тройную связь, при вакуум-перегонке устойчив. Каталитическое действие пиридина, по-видимому, обусловлено возникновением водородной связи между пиридином и этиловым эфиром гликолевой кислоты:

$$C_2H_5N\cdots H^+\cdots \overline{O}CH_2COOC_2H_5$$
.

В полученном таким образом активированном комплексе поляризация связи Н-О усилена, что способствует нуклеофильному присоединению к хлоралю по схеме:

С целью получення соединений с гербицидной активностью нами изучалась возможность синтеза на основе полученного полуацеталя этиловых эфиров а-алкокси-β,β,β-трихлорэтилгликолевых кислот:

которые, ввиду структурного родства с ранее синтезированными этиловыми эфирами О- $\alpha$ -N-ацетиламино- $\beta$ , $\beta$ , $\beta$ -трихлорэтилгликолевой кислоты [2], могли представлять определенный интерес в качестве гербицидов.

Поскольку намеченные соединения являются полными смешанными ацеталями хлораля, нами были продприняты полытки применить описанные в литературе опособы их получения. Сотласно одному из известных опособов [3], указанные соединения образуются каталитической этерификацией полуацеталей хлораля по схеме:

$$CCl_3CHO \xrightarrow{HOR} CCl_3CH(OH)OR \xrightarrow{HOR'} CCl_3CH(OR')OR + H_2O.$$

По второму способу полуацетали хлораля превращают в соответствующие хлориды, переходящие в полные ацетали при напревании со спиртами при высокой температуре:

$$CCI_3CH(OH)OR \longrightarrow CCI_3CH(CI)OR \xrightarrow{HOR'} CCI_3CH(OR')OR.$$

Нами установлено, что первая из приведенных выше схем неприемлема для синтеза этиловых эфиров а-алкокси- $\beta$ ,  $\beta$ ,  $\beta$ -прихлорэтилгликолевых кислот. Детально был изучен второй путь синтеза. Было установлено, что исходный полуащеталь под действием хлористого тионила и пиридина гладко превращается в этиловый эфир  $\alpha$ ,  $\beta$ ,  $\beta$ ,  $\beta$ -тетрахлорэтилгликолевой кислоты, который со спиртами не образует намеченных продуктов. Как показали опыты, при указанном взаимодействии не выделяется хлористый водород. Поэтому продукты реакции отличаются сравнительно высоким содержанием хлора. Вместе с тем, по своим физикохимическим константам полученные соединения резко отличаются от исходных веществ. Эти данные навели на мысль, что исходный этиловый эфир О- $\alpha$ ,  $\beta$ ,  $\beta$ ,  $\beta$ -тетрахлорэтилгликолевой кислоты под действием спиртов претерпевает переэтерификацию, что приводит к получению алкиловых эфиров О- $\alpha$ ,  $\beta$ ,  $\beta$ ,  $\beta$ -тетрахлорэтилгликолевой кислоты:

Кроме хороших аналитических данных и  $MR_D$ , строение этих эфиров было подтверждено встречным синтезом на примере амилового эфира  $\alpha, \beta, \beta$ -тетрахлорэтилгликолевой кислоты по схеме:

$$\begin{array}{c} \text{CCI}_3\text{CHO} + \text{HOCH}_2\text{COQC}_5\text{H}_{11} & \xrightarrow{\text{SOCI}_3} \\ & \xrightarrow{\text{CCI}_3\text{CH}(\text{OH})\text{OCH}_2\text{COOC}_5\text{H}_{11}} & \xrightarrow{\text{SOCI}_3} \\ \end{array}$$

Результаты этих опытов указывают на то, что атом хлора в этиловом эфире  $(0-\alpha,\beta,\beta,\beta$ -тетрахлорэтилгликолевой кислоты менее подвижен, чем в  $\alpha,\beta,\beta$ -тетрахлорэтилалкилэфирах.

Это различие следует, по-видимому, объяснить уменьшением поляризации связи С—СІ в этиловом эфире 2,8,8,8-тетрахлорэтилгликолевой кислоты по причине электроотрицательной индукции карбонила карботоксильной группы и ослаблением той же связи в 2,8,8,8-тетрахлорэтилалкилэфирах под действием электроположительной индукции алкильного радикала:

Исходя из этих соображений, справедливо было полагать, что  $\alpha,\beta,\beta,\beta$ -тетрахлорэтилалкилэфиры с этиловым эфиром гликолевой кислоты будут реагировать легче, чем этиловый эфир О- $\alpha,\beta,\beta,\beta$ -тетрахлорэтилгликолевой кислоты. Действительно, в первом случае реакция протекает очень бурно, с выделением хлористого водорода и приводит к получению этиловых эфиров О- $\alpha$ -алкокси- $\beta,\beta,\beta$ -трихлорэтилгликолевых кислот с низкими выходами:

### Экспериментальная часть

Карбэтоксиметилполуацеталь хлораля. Смесь 6,8 г (0,046 моля) хлораля, 4,8 г (0,046 моля) этилового эфира гликолевой кислоты с т. кип.  $152^{\circ}/680$  мл и 0,2 г пиридина нагревают на водяной бане в течение 5 часов и оставляют на ночь. На следующий день продукт реакции перегоняют и получают 7,8 г (67,8%) карбэтоксиметилполуацеталя хлораля с т. кип.  $51^{\circ}/3$  мм;  $n_D^{20}$  1,4710;  $d_D^{20}$  1,3970. Найдено 0/0: C1 42,11.  $C_0H_0Cl_3O_4$ . Вычислено 0/0: C1 42,36. В ИК спектре соединения найдены полосы поглощения, характерные для следующих групп: 0/0 1044, 0/0, 1107, 0/00 1256, 0/00 1720 см0/01.

Этиловый эфир О-а, β, β, β-тетрахлорэтилгликолевой кислоты. К 13,8 г (0,054 моля) карбэтоксиметилполуацеталя хлораля в 25 мл абсолютного бензола при перемешивании и охлаждении по каплям приливают 9,3 г (0,078 моля) хлористого тнонила в 10 мл абсолютного бензола. Продолжают перемешивание и через 10 минут прибавляют 6,21 г (0,078 моля) пиридина. Реажционную смесь напревают на водяной бане до прекращения выделения сернистого газа (4 часа), затем к смеси приливают охлажденную воду, экстрагируют эфиром и эфирный экстракт высушивают над сернокислым магнием. После удаления растворителя остаток перегоняют и получают 9,7 г (65,5%) этилового эфира

O- $\alpha$ , $\beta$ , $\beta$ , $\beta$ -тетрахлорэтилгликолевой кислоты с т. кип.  $127^{\circ}/4$  .и.и;  $n_D^{20}$  1,4820;  $d_A^{20}$  1,4553. Найдено O0: С1 52,80.  $C_6H_8Cl_4O_3$ . Вычислено O0: С1 52,59.

Алкиловые эфиры O-2, $\beta$ , $\beta$ ,-тетрахлорэтилгликолевой кислоты. Смесь 27 г (0,1 моля) этилового эфира  $\alpha$ , $\beta$ , $\beta$ , $\beta$ -тетрахлорэтилгликолевой кислоты и 0,2 моля алкилового спирта нагревают при 150° в течение 15 часов. По окончании реакции содержимое колбы перегоняют в вакууме. Выходы и физико-химические константы полученных алкиловых эфиров O- $\alpha$ , $\beta$ , $\beta$ , $\beta$ -тетрахлорэтилгликолевой кислоты приведены в таблице. Чистота препаратов проверена хроматографированием на окиси алюминия второй степени активности: подвижная фаза — ацстон—петролейный эфир, 1:5, проявление йодом, значение  $R_f$  в пределах 0,86—0,899.

CCI3CHXOCH3COOR

Таблици

34.1	- Y			0/0			Анализ Cl. "/o	
R	х	Молекулярная формула	Т. кип., <sup>с</sup> С/ <i>им</i>	Выход,	n <sub>D</sub> <sup>20</sup>	d <sub>4</sub> <sup>20</sup>	найдено	вычис-
C <sub>3</sub> H <sub>7</sub>	CI	C7H10CI4O3	147/5	69,4	1,4810	1,4120	50,36	50,00
изо-С₃Н₁	CI	C7H10C14O3	133/5	75,8	1,4790	1,4075	50,21	50,00
C <sub>4</sub> H <sub>9</sub>	CI	C <sub>8</sub> H <sub>12</sub> Cl <sub>4</sub> O <sub>3</sub>	148/1	84,6	1,4770	1,3650	47,23	47,65
C5H11	CI	C <sub>9</sub> H <sub>14</sub> Cl <sub>4</sub> O <sub>3</sub>	163/2	76,0	1,4764	1,3260	45,81	45,50
изо-C <sub>5</sub> H <sub>11</sub>	CI	C <sub>9</sub> H <sub>14</sub> Cl <sub>4</sub> O <sub>3</sub>	156/2	70,0	1,4760	1,3230	45,30	45,50
ү-С1 крот.	CI	CaHaClaOa	163—165/4	60,0		-	53,12	53,70
C <sub>2</sub> H <sub>5</sub>	C <sub>2</sub> H <sub>5</sub>	C <sub>8</sub> H <sub>13</sub> Cl <sub>3</sub> O <sub>4</sub>	137/2	38,1	1,4650	1,3012	37,92	38,10
C <sub>2</sub> H <sub>5</sub>	C <sub>3</sub> H <sub>7</sub>	C <sub>9</sub> H <sub>15</sub> Cl <sub>3</sub> O <sub>4</sub>	148/2	34,0	1,4630	1,2674	36,01	36,28
C <sub>2</sub> H <sub>5</sub>	C <sub>4</sub> H <sub>9</sub>	C <sub>10</sub> H <sub>17</sub> Cl <sub>3</sub> O <sub>4</sub>	159/2	35,8	1,4620	1,2320	34,26	34,63
C <sub>2</sub> H <sub>5</sub>	изо-С <sub>5</sub> Н <sub>11</sub>	C11H19Cl3O4	166/3	41,2	1,4600	1,1982	32,85	33,12

Этиловые эфиры O- $\alpha$ - $\alpha$ лкокси- $\beta$ , $\beta$ , $\beta$ -трихлорэтилгликолевых кислот. Смесь 10,4 z (0,1 моля) этилового эфира гликолевой кислоты и 0,1 моля  $\alpha$ , $\beta$ , $\beta$ , $\beta$ -тетрахлорэтилалкилэфира при перемешивании нагревают при  $145-150^{\circ}$  в течение 16 часов, после чего продукт реакции перегоняют в вакууме и получают этиловые эфиры O- $\alpha$ -алкокси-3, $\beta$ , $\beta$ -трихлорэтилгликолевых кислот, выходы и физико-химические константы которых приведены в таблице.

Амиловый эфир  $\alpha$ -окси- $\beta$ ,  $\beta$ ,  $\beta$ -трихлорэтилгликолевой кислоты. Смесь 8,0 г (0,054 моля) амилового эфира гликолевой кислоты, 8,1 г (0,054 моля) хлораля и 0,2 г пиридина нагревают на водяной оане в течение 5 часов и оставляют на ночь. На следующий день продукт реакции перегоняют в вакууме и получают 9,7 г (63,8%) амилового эфира 2-окси- $\beta$ ,  $\beta$ ,  $\beta$ -трихлорэтилгликолевой кислоты с т. кип. 84°/7 мм;

 $n_D^{20}$  1,440,  $d_4^{(2)}$  1,1694. Найдено  $0_0$ : С1 35,93. С $_0$ Н $_{15}$ С1 $_3$ О $_4$ . Вычислено  $0_0$ : С1 36,28.

Амиловый эфир  $\alpha,\beta,\beta,\beta$ -тетрахлорэтилгликолевой кислоты. К 13 г (0,046 моля) этилового эфира  $\alpha$ -окси- $\beta,\beta,\beta$ -трихлорэтилгликолевой кислоты в 25 мл абсолютного бензола при перемешивании и охлаждении по каплям приливают 6,66 г (0,056 моля) хлористого тионила в 10 мл абсолютного бензола. Продолжают перемешивание и через 10 минут прибавляют 4,45 г (0,056 моля) пиридина. Реакционную смесь нагревают на водяной бане до прекращения выделения сернистого газа, затем к смеси приливают охлажденную воду, экстрагируют эфиром и высушивают над сернокислым магнием. После удаления растворителя остаток перегоняют и получают 9 г (81,7%) амилового эфира  $\alpha,\beta,\beta$ -тетрахлорэтилгликолевой кислоты с т. кип.  $165^\circ/7$  мм;  $n_D^{20}$  1,4750;  $d_D^{20}$  1,3220. Найдено  $d_D^{20}$ : C1 45,18.  $C_0H_{14}Cl_4O_3$ . Вычислено  $d_D^{20}$ : C1 45,51.

#### ՊԵՍՏԻՑԻԴՆԵՐԻ ՍԻՆԹԵԶ

O- $\alpha$ ፡ԱԼԿՕՔՍԻ $-3,\beta,\beta$ -SቦԻՔԼՈՐԷԹԻԼԳԼԻԿՈԼԱԹԹՈՒՆԵՐԻ ԷԹԻԼԱՅԻՆ ԷՍԹԵՐՆԵՐ

Վ. Վ. ԴՈՎԼԱԹՑԱՆ և Կ. Ա. ԷԼԻԱԶՑԱՆ

### Udhnhnid

ույց է տրված, որ գլիկոլաթթվի էթիլային էսթերը պիրիդինի կատալիտիկ ջանակների ներկայությամբ ջլորալի հետ առաջացնում է ջլորալի կարբէթօջսիմեթիլկիստացետալ։ Վերջինիս ջլորման պրոդուկան ալկահոլների հետ փոխազդելիս ենթարկվում է վերաէսթերացման, առաջացնելով Ο-α,β,β,βտնտրաջլորէթիլգլիկոլաթթվի ալկիլային էսթերներ, մինչդեռ α,β,β,β-տնտթաջլորէթիլալկենթերները գլիկոլաթթվի էթիլային էսթերի հետ ռեակցիայի մեջ մտնելիս առաջացնում են Օ-α-ալկօջսի-β,β,β-տրիջլորէթիլգլիկոլաթթուների էթիլային էսթերներ։

#### ЛИТЕРАТУРА

- 1. В. В. Довлатян, Д. А. Жостанян, Арм. хим. ж., 22, 596 (1969).
- 2. В. В. Довлатян, К. А. Элиазян, Арм. хим. ж., 21, 842 (1968).
- 3. Ш. Мамедов, Г. Лернер, ЖОХ, 32, 403 (1962).

XXIV, № 7, 1971

УДК 542.91+547.723

#### химия винилацетилена

LXXXIX. СИНТЕЗ И ПРЕВРАЩЕНИЯ 2,2,5,6-ТЕТРАМЕТИЛ--\23.4-ДИГИДРОФУРАН-3-ЭТИНИЛАЛКИЛКАРБИНОЛОВ

С. А. ВАРТАНЯН, Э. Л. АСОЯН и В. Н. ЖАМАГОРЦЯН Институт тонкой органической химии АН Армянской ССР (Ереван) Постульно 15 VII 1970

Конденсацией 2,2,5,5-тетраметил -  $\Delta^{3,4}$  - дигидрофуран-3-ацетилена (I) с масляным альдегидом и метилэтилкетоном получены соответствующие винилацетиленовые карбинолы II, III. Изомеризацией последних синтезированы дивинилкетоны VI, VII, взаимодействием которых с алкиламинами и сероводородом получены 4-пиперидоны X, XI, XII и тнопираноны XIII, XIV.

Библ. ссылок 3.

В продолжение исследований по синтезу разнообразных гетероциклических соединений—физиологически активных веществ на базе производных ацетилена, в настоящей статье приводятся результаты работы, посвященной превращениям ацетиленовых спиртов тетрагидрофуранового ряда.

Конденсацией ацетилена с фурманидоном и последующей дегидратацией последнего с помощью хлорокиси фоофора в пиридине [1, 2] получен с хорошим выходом дигидрофуранилацетилен І. Конденсация матнийбромдигидрофуранилацетилена с масляным альдегидом протекает гладко и приводит к получению карбинола ІІ. Взаимодействием енина І с метилэтилкетоном в присутствии порошкообразного едкого кали без растворителя получен ожидаемый винилацетиленовый карбинол ІІІ [3]. При гидрировании полученных спиртов в присутствии плагинового катализатора поглощаются по при молекулы водорода и получаются соответствующие предельные карбинолы IV, V.

$$(H_{3}C)_{2} \xrightarrow{C \equiv CH} (CH_{3})_{2} \xrightarrow{R_{1}COR_{0}} (H_{3}C)_{2} \xrightarrow{C \equiv CC(OH)R_{1}R_{2}} (CH_{3})_{2}$$

$$(H_{3}C)_{2} \xrightarrow{C} (CH_{3})_{2} \xrightarrow{CH_{2}CH_{2}C(OH)R_{1}R_{2}} (CH_{3})_{2}$$

$$(H_{3}C)_{2} \xrightarrow{CH_{2}CH_{2}C(OH)R_{1}R_{2}} (CH_{3})_{2}$$

$$(H_{3}C)_{2} \xrightarrow{IV-V} (IH_{3}C)_{2} \xrightarrow{IV-V} (IH_{3}C)_{2}$$

II, IV.  $R_1 = H$ ,  $R_2 = C_3H_7$ ; III, V.  $R_1 = CH_3$ ,  $R_2 = C_2H_5$ .

Карбинолы II, III в водно-метанольном растворе в присутствии серной кислоты и сернокислой ртути при 80—90° подвергаются изомеризации с образованием дивинилкетонов VI, VII. Строение их подтверждено ИК спектром. Гидрированием дивинилкетонов получены соответствующие предельные кетоны VIII, IX.

$$(H_3C)_2 \xrightarrow{COCH = CR_1R_2} \xrightarrow{H_3} (H_3C)_2 \xrightarrow{COCH_2CHR_1R_2} (CH_3)_2$$

$$VI = VIII = R$$

$$VI =$$

VI, VIII.  $R_1 = H$ ;  $R_2 = C_3H_7$ ; VII, IX.  $R_1 = CH_3$ ,  $R_2 = C_2H_5$ .

При взаимодействии дивинилкетонов VI, VII с водным раствором метил- и этиламинов получены N-алкилпиперидоны X, XI, XII. Напреванием дивинилкетонов VI, VII в водно-метанольном растворе сероводорода, подкислениом серной кислотой, получены соответствующие тепрагидро-4-тиопираноны XIII, XIV. Установлено что N-алкилпиперидоны X, XI, XII и тепрагидро-4-тиопираноны XIII, XIV образуются в виде двух стереоизомеров.

$$(CH_3)_2 \xrightarrow{R} R_1R_2$$

X.  $R=CH_3$ ,  $R_1=H$ ,  $R_2=C_3H_7$ : XI.  $R=C_2H_5$ ,  $R_1=H$ ,  $R_2=C_3H_7$ ; XII.  $R=R_1=CH_3$ ,  $R_2=C_2H_5$ ; XIII.  $R_1=H$ ,  $R_2=C_3H_7$ ; XIV.  $R_1=CH_3$ ,  $R_2=C_2H_5$ .

## Экспериментальная часть

Конденсация енина I с масляным альдегидом. К реактиву Гриньяра, приготовленному из 12 г магниевых спружек и 60 г бромнотого этила в 130 мл абсолютного эфира при комнатной температуре по каплям прибавлялся 21 г енина I. Содержимое колбы перемешивалось 3 часа. На следующий день смесь напревалась в течение часа при кипении эфира, затем по каплям прибавлялось 30 г масляного альдегида при 20° в течение 5 часов. Смесь оставлялась на ночь, охлаждалась до—10° и гидролизовалась 150 мл 12%-ной соляной кислоты. Эфирный экспракт нейтрализовался раствором соды, промывался водой и высушивался сульфатом мапния. После удаления эфира перегонялось 30 г (96,5%, при расчете на енин) карбинола II; т. кип. 125—128°/5 мм; промывался одено 0,9414. МRD найдено 67,28, вычислено 65,35. Найдено %. С 75,24; Н 10,03. С<sub>14</sub>Н<sub>22</sub>О<sub>2</sub>. Вычислено %. С 75,63; Н 9,97.

Конденсиция енина I с метилэтилкетоном. К 15 г едкого кали при интенсивном перемешивании прибавлялось 24 г енина при  $0^{\circ}$ . Смесь перемешивалась при комнатной температуре 1 час, затем нагревалась при  $30^{\circ}$  в течение часа, охлаждалась и при  $-4^{\circ}$  к ней по каплям прибавлялось 32 г метилэтилкетона. После обычной обработки получен 31 г ( $87.0^{\circ}/_{0}$ ) карбинола III; т. кип.  $116^{\circ}/_{7}$  мм;  $n_{D}^{20}$  1.4840;  $d_{A}^{20}$  0,9186.  $MR_{D}$  найдено 68.99. вычислено 65.35. Найдено  $0^{\circ}/_{0}$ : С 76.01; Н 9.94.  $C_{14}$   $H_{22}$   $O_{2}$ . Вычислено  $0^{\circ}/_{0}$ : С 75.63; Н 9.97.

Гидрирование карбинола II. 4 г свежеперегнанного карбинола в 25 мл абсолютного этанола гидрировалось в присутствии Рt-катализатора. Водорода поглотилось 1,35 л вместо 1,29. Получено 3,5 г (85,1%) предельного карбинола IV; т. кип. 107—108% мм;  $\Pi_D^{20}$  1,4540;  $\Pi_A^{20}$  0,9221. М $\Pi_D^{20}$  найдено 67,35, вычислено 67,82. Найдено  $\Pi_D^{20}$  С 73,61; Н 11.89.  $\Pi_A^{20}$  Вычислено  $\Pi_D^{20}$  С 73,63; Н 12,35.

Гидрирование карбинола III. З г свежеперегнанного карбинола в 15 мл этанола гидрировалось в присутствии Рt-катализатора. Водорода поглотилось 0,95 л вместо 0,97. Получено 2,5 г (81,0%) предельного карбинола V; т. кип. 91%,4,5 мм;  $n_D^{20}$  1,4480;  $d_A^{20}$  0,9003. МRD найдено 67,88, вычислено 67,82. Найдено % С 73,76; Н 12,20.  $C_{14}H_{28}O_{2}$ . Вычислено % С 73,63; Н 12,35.

Изомеризация карбинола //. Смесь 30 г карбинола, 110 мл  $10^{\circ}/_{0}$ -ного раствора серной кислоты, 80 мл метанола (прибавлялся до получения гомогенного раствора) и 0,05 г пирогаллола перемешивалась при 80° в течение 30 часов. При этом по порциям прибавлялось 8 г сернокислой ртути. После отгонки избытка метанола реакционный продукт экстрагировался эфиром, нейтрализовался раствором поташа, промывался водой и высушивался сульфатом магния. После отгонки эфира, перегналось 22 г (84,6°  $_{0}$ ) дивинилкетона VI; т. кип. 99—102°/3,5 мм;  $n_{\rm D}^{20}$  1,4700;  $d_{4}^{20}$  0,9398. М $R_{\rm D}$  найдено 65,84, вычислено 65,37. Найдено  $n_{0}^{\circ}$  С 75,76; Н 10,10.  $n_{0}^{2}$  С 8 ычислено  $n_{0}^{\circ}$  С 75,63, Н 9,97. В ИК спектре обнаружены частоты карбонильной группы (1700 см $n_{0}^{-1}$ ),

Изомеризация карбинола III. Смесь 30 г карбинола III, 120 мл  $10^{9}$ 0-ной серной кислоты, 75 мл метанола и 0,05 г пирогаллола перемешивалась при  $80^{3}$  в течение 35 часов; при этом по порциям прибавлялось 10 г сернокислой ртути. После обычной обработки получен 21 г  $(77,7^{9}$ 0) дивинилкетона VII; т. кип.  $103-104^{\circ}$ 7 мм;  $n_{\rm D}^{20}$  1,4810;  $d_{\rm A}^{20}$  0,9099. MRD найдено 69,52. вычислено 65,37. Найдено 90: С 75,99;

Н 9,93.  $C_{14}H_{22}O_2$ . Вычислено %: С 75,63; Н 9,97. В ИК спектре обнаружены частоты карбонильной группы (1665—1670 см-1 сильное) и сопряженной двойной связи (1620—1630 см-1). 2,4-Динитрофенилгидразон, т. пл. 126° (из спирта). Найдено %: N 14,02.  $C_{20}H_{20}N_4O_5$ . Вычислено %: N 13,88. Обратно получено 3 г исходного карбинола III; т. кип. 125—128°/5 мм;  $n_D^{20}$  1,4880.

Гидрирование дивинилкетона VI. 2,5 г свежеперегнанного кетона VI в растворе 15 мл этанола гидрировалось в присутствии Рt-катализатора. Водорода поглотилось 0,60 л вместо 0,58. Получено 1,5 г  $(58,9^{\circ})_0$  предельного кетона VIII; т. кип.  $120-122^{\circ}/10$  мм;  $n_D^{20}$  1,4540;  $d_{\bullet}^{20}$  0,9141. MRD найдено 66,39, вычислено 66,30. Найдено 0/0: С 74,38; Н 11,90.  $C_{14}H_{26}O_{2}$ . Вычислено 0/0: С 74,29; Н 11,58.

Гидрирование дивинилкетона VII. З г дивинилкетона VII в 20 мл этанола гидрировалось в присутствии Рt-катализатора. Водорода поглотилось 0,68 л вместо 0,65. Получено 2,2 г (71,8%) кетона IX; т. кип. 87% мм;  $\Pi_D^{20}$  1,4420;  $\Pi_D^{20}$  0,9095. MRD найдено 65,86, вычислено 66,30. Найдено  $\Pi_D^{20}$  С 74,10; Н 11,50.  $\Pi_D^{20}$  Вычислено  $\Pi_D^{20}$  С 74,29; Н 11,58.

Взаимодействие метиламина с дивинилкетоном VI. Смесь 10 г кетона VI, 45 мл  $25^{\circ}/_{0}$ -ного водного раствора метиламина, 20 мл этилового спирта и 0,05 г пирогаллола нагревалась при  $80-85^{\circ}$  в течение 56 часов в запаянной ампуле. После обычной обработки получено 3,6 г  $(48,6^{\circ}/_{0})$  смеси продуктов. При вторичной перегонке выделены:

1. Фракция, 1,5 г (41,6%), N-метилпиперидон (X); т. кип. 112% 10 мм;  $\Pi_D^{20}$  1,4660;  $d_4^{20}$  0,9281. М $R_D$  найдено 75,30, вычислено 72,66. Найдено %: N 5,28.  $C_{15}H_{27}NO_2$ . Вычислено %: N 5,53. 2,4-Динитрофенилгидразон, т. пл. 188° (из спирта). Найдено %: N 16,38.  $C_{21}H_{31}N_5O_5$ . Вычислено %: N 16,16. Пикрат, т. пл. 174° (из спирта). Найдено %: N 12,04.  $C_{21}H_{30}N_4O_8$ . Вычислено %: N 11,61.

II. Фракция, 1,2 г (33,3%), смесь двух изомеров пиперидона X; т. кип. 115-132%/10 мм;  $n_D^{20}$  1,4720.

III. Фракция, 0,8 г (22,2%), другой изомер пиперидона X; т. кип. 133°/10 мм;  $n_D^{20}$  1,4820;  $d_{\bullet}^{30}$  0,9928. М $R_D$  найдено 72,77. Найдено % N 5,96. 2,4-Динитрофенилгидразон, т. пл. 199° (из спирта). Найдено %: N 16,20. Пикрат, т. пл. 196° (из спирта). Найдено %: N 11,99. Из нейтрального экстракта перегнано 3,5 г исходного кетона VI; т. кип. 116°/7 мм:  $n_D^{20}$  1,4800.

Взаимодействие этиламина с дивинилкетоном VI. Смесь 10 г кетона VI, 30 мл  $25^0 l_0$ -ного водного раствора этиламина, 40 мл этилового спирта и 0.05 г пирогаллола в запаянной ампуле нагревалась при  $80-85^\circ$  в течение 42 часов. Обработка обычная. Получено 3.8 г  $(31.6^0 l_0)$  смеси продуктов. При вторичной перегонке выделены:

I. Фракция, 0,8 г (21,0%), N-втилпиперидон (XI); т. кип. 70—71°/5 мм;  $n_D^{20}$  1,4600;  $d_4^{20}$  0,9135. MR<sub>D</sub> найдено 80,09, вычислено 77,18.

Найдено %: N 5,35.  $C_{10}H_{20}NO_2$ . Вычислено %: N 5,24. 2,4-Динитрофенилгидразон, т. пл.  $175-177^\circ$  (из спирта). Найдено %: N 16,00.  $C_{22}H_{23}N_3O_3$ . Вычислено %: N 15,65.

II. Фракция, 1,2 г (31,5%), смесь двух изомеров пиперидона XI; т. кип. 72—110°/4 мм;  $\rm n_D^{20}$  1,4750.

III. Фракция, 1,3 г (34,2%), другой изомер N-этилпиперидона (XI); т. кип. 111—113 /4 мм;  $n_D^{20}$  1,4820;  $d_4^{20}$  0,9417. М $R_D$  найдено 80,25. Найдено %: N 5,49. 2,4-Динитрофенилгидразон, т. пл. 120—122 (из-спирта). Найдено %: N 15,45.

Взаимодействие метиламина с дивинилкетоном VII. Смесь 10 г кетона VII, 40 мл  $25^0/_0$ -ного волного раствора метиламина, 40 мл этилового спирта и 0,05 г пирогаллола в запаянной ампуле нагревалась при  $90-85^\circ$  в течение 60 часов. Обработано обычным способом. Получено 3.4 г  $(30.5^0/_0)$  смеси продуктов. При вторичной перегонке выделены:

І. Фракция, 0,8 г (23,5%), N-метилпиперидон (XII); т. кип. 86%/ 10 мм;  $n_D^{20}$  1,4590;  $d^{20}$  0.9401. М $R_D$  найдено 73,54, вычислено 72,66. Найдено %: N 5,89.  $C_{15}H_{27}NO_2$ . Вычислено %: N 5,53. 2,4-Динитрофенилгидразон, т. пл. 103—105° (из спирта). Найдено %: N 16,01.  $C_{21}H_{21}N_5O_5$ . Вычислено %: N 16,16. Пикрат не образовался.

II. Фракция, 1,4 г (41,1%), смесь двух изомеров пиперидона XII;

т. кип. 88—115°/8 мм; пр 1,4650.

III. Фракция, 1,1  ${\it 2}(32,3^{\circ}/_{\rm o})$ , представляет другой изомер пиперидона XII; т. кип.  $116^{\circ}/8$  мм;  $n_{\rm D}^{20}$  1,4790;  $d_{\rm q}^{20}$  0,9734. МR<sub>D</sub> найдено 73,68. Найдено  $^{\circ}/_{\rm o}$ : N 5,68. 2,4-Динитрофенилгидразон, т. пл.  $126-127^{\circ}$  (из спирта). Найдено  $^{\circ}/_{\rm o}$ : N 16,21. Пикрат т. пл.  $118-119^{\circ}$  (из спирта). Найдено  $^{\circ}/_{\rm o}$ : N 11,53.  $C_{\rm 21}H_{\rm 30}N_{\rm 4}O_{\rm 9}$ . Вычислено  $^{\circ}/_{\rm o}$ : N 11,61.

Взаимодействие дивинилкетона VI с сероводородом. Смесь 12 г дивинилкетона VI в 150 мл  $90^{\circ}/_{\circ}$ -ного раствора метанола, 9.8 г серной кислоты и 0.05 г пирогаллола, насыщенная сероводородом, нагревалась в запаянной ампуле в течение 44 часов на кипящей водяной бане. После соответствующей обработки получено 9.2 г  $(66.4^{\circ}/_{\circ})$  тиокетона XIII в виде двух изомеров.

I. Фракция, 1,3 г (14.1°/ $_0$ ). тиокетон XIII; т. кип. 110—111°/3 мм;  $n_D^{20}$  1,4810;  $d_{\star}^{20}$  0,9716. М $R_D$  найдено 74,80, вычислено 72,02. Найдено °/ $_0$ : S 12,30:  $C_{14}H_{24}O_2S$ . Вычислено °/ $_0$ : S 12,50. 2,4-Динитрофенилгидразон, т. пл. 175—176 (из спирта). Найдено °/ $_0$ : N 13,22; S 7,82.  $C_{20}H_{28}N_4O_5S$ . Вычислено °/ $_0$ : N 12,84; S 7,35.

II. Фракция, 2,5 г (27,1%), смесь двух изомеров тиокетона XIII: т. кип. 115-131%3 мм;  $n_D^2$  1,4930.

III. Фракция, 5,4 г (58.7%), представляет собой другой изомер тиокетона XIII; т. кип. 132°/3 мм; п<sup>20</sup> 1,5020; d<sup>20</sup> 1,0390. МR<sub>D</sub> найдено 72,60. Найдено %: S 12,20. 2,4-Динитрофенилгидразон, т. пл. 191—192. Найдено %: N 12,52; S 7,05.

Взаимодействие дивинилкетона VII с сероводородом. Опыт со смесью 10 г дивинилкетона VII в 150 мл 90%,-ного водного раствора метанола, 9,8 г серной кислоты и 0.05 г пирогаллола, насыщенной сероводородом, проводился аналогично с нагреванием в течение 50 часов; получено 4,7 г (40,7%) тиокетона XIV в виде двух изомеров:

I. 1,7 г (36,1%), тиопиран-4-он (XIV). т. кип. 116—118% им;  $n_D^{20}$  1,4960;  $d_4^{20}$  0,9866. М $R_D$  найдено 75,66, вычислено 72,02. Найдено %: S 12,29. С<sub>14</sub>Н<sub>24</sub>О<sub>2</sub>S. Вычислено %: S 12,50, 2.4-Динитрофенилгидразон, т. пл. 116—118° (из спирта). Найдено %: N 13,33; S 7,68. С<sub>14</sub>Н<sub>18</sub>N<sub>4</sub>O<sub>3</sub>S. Вычислено %: N 12,84; S 7,35.

II. 1,9 г (40,4%), смесь двух изомеров, т. кип. 118—126°/6 мм; пр. 1,5020.

III. 1,1 г (23,4%), другой изомер тиопиран-4-она (XIV); т. кип. 126-128%6 мм;  $\eta_D^{20}$  1,5120;  $d_4^{20}$  1,0240. М $R_D$  найдено 75,10. Найдено %: S 12,85. 2,4-Динитрофенилгидразон не образовался.

### ՎԻՆԻԼԱՑԵՏԻԼԵՆԻ ՔԻՄԻԱ

LXXXIX. 2,2,5,5-8ԵՑՐԱՄԵ**Թ**ԻՆ-Հ<sup>3,4</sup>-ԴԻՀԻԴՐՈՖՈՒՐԱՆ-3-ԷԹԻՆԵ**ԼԱԼԿԻԼԿԱՐԲԻՆՈԼՆԵՐԻ** ՍԻՆԹԵԶ ԵՎ ՆՐԱՆՑ ՓՈԽԱՐԿՈՒՄՆԵՐԸ

Ս. Հ. ՎԱՐԴԱՆՑԱՆ, Է. Լ. ԱՍՈՑԱՆ և Վ. Ն. ԺԱՄԱԳՈՐԾՑԱՆ

## Kohnhaid

2,2,5,5-Տետրամեթիլ- Δ<sup>3,4</sup>- դիհիդրոֆուրանիլ-3-ացետիլենը կոնդենսված է պրոպիլալդեհիդի և մեթիլէթիլկետոնի հետ. ստացված են համապատասխան կարբինոլները II, III։ Վերջինների իզոմերացմամբ առաջացել են դիվինիլկե-տոններ VI, VII, որոնք առաջնային ամինների և ծծմբաջրածնի հետ փոխաղ-դելով գոյացրել են 4-պիպերիդոններ X—XII և տետրահիդրոթիոպիրան-4-ոն-ներ XIII, XIV։

Սին թեզված բոլոր չհագեցած միացությունների հիդրմամբ ստացվել են համապատասիան հագեցած միացությունները։

#### ЛИТЕРАТУРА

- 1. С. А. Вартанян, Ш. Л. Шагбатян, Изв. АН Арм. ССР, XH, 14, 577 (1°61).
- 2. С. А. Вартанян, Э. Л. Асоян, В. Н. Жамагорцян, Арм. хнм. ж., 22, 414 (1969).
- 3. С. А. Вартанян, Ш. Л. Шагбатян. Изв. АН Арм. ССР, ХН, 17, 95 (1964).

XXIV, № 7, 1971

УДК 542.91+547.853.3

#### химия непредельных соединении

#### XXV. СИНТЕЗ НЕКОТОРЫХ ЗАМЕЩЕННЫХ 2-ОКСО- И 2-ТИОТЕТРАГИДРОПИРИМИДИНОВ

Р. М. ХАЧАТРЯН, С. К. ПИРЕНЯН и С. А. ВАРТАНЯН

**Чиститут** тонкой органической химин АН Армянской ССР (Ереван)

Поступило 26 III 1970

Дивинплистоны I—IV и метоксивинилистоны V—VIII с мочевиной или тиомочевиной в присутствии сухого хлористого водорода при 120—130° образуют 2-оксо- и 2-тиотетрагидропиримидины (IX—XVI), соответственно. Строение полученных соединений подтверждается ИК спектрами и некоторыми химическими превращениями. Табл. 1, библ. ссылок 5.

Ранее нами было установлено, что изотиоцианкетоны [1] взаимодействуют с аммиаком и первичными аминами, образуя тетрагидро- и гексагидропиримидинтионы-2 [2].

Показано также, что взаимодействие мочевины с  $\beta$ , $\beta$ -диметил-,  $\beta$ , $\beta$ -диметил- $\beta$ -диме

В настоящей работе приводятся данные о взаимодействии дивинилкетонов I—IV и соответствующих метоксикетонов V—VIII с мочевиной и тиомочевиной в присулствии сухого хлористого водорода при 120— 130°. При этом получаются 4,4-замещенные 2-оксо- и 2-тиотепрагидропиримидины (IX—XVI).

$$RR'C = C(R'')COCH_{2}C(R''')HOCH_{3}$$

$$V-VIII$$

$$\downarrow$$

$$RR'C = C(R'')COCH = CHR'''$$

$$I-IV$$

$$RR'C = C(R'')COCH_{2}C(R''')HOCH_{3}$$

$$\downarrow$$

$$H_{8}NCNH_{8}$$

$$X=0, S$$

$$HN$$

$$NH$$

$$X$$

$$IX-XVI$$

1, V, R=R'=CH<sub>3</sub>. R"=R"'=H; II, VI, R=CH<sub>3</sub>, R'=C<sub>2</sub>H<sub>5</sub>, R"=R"'=H; III, VII, R и R' пентаметилен, R"=R"'=H; IV, VIII, R=H, R'=R"=R"'=CH<sub>3</sub>; IX. R=R'=CH<sub>3</sub>, R"=R"'=H, X=O; X. R=R'=CH<sub>3</sub>, R"=R"'=H, X=S; XII. R=CH<sub>3</sub>, R'=C<sub>2</sub>H<sub>5</sub>, R"=R"'=H, X=O; XII. R=CH<sub>3</sub>, R'=C<sub>3</sub>H<sub>5</sub>, R"=R"'=H, X=S; XIII. R и R' пентаметилен; R"=R"'=H, X=O; XIV. R и R' пентаметилен, R"=R"=R""=CH<sub>3</sub>, X=O; XVI. R=H, R'=R"=CH<sub>3</sub>, X=O; XVI. R=H, R'=R"=CH<sub>3</sub>, X=S.

Исходя из существующих данных [4,5], не исключается также образование 2-иминотетрагидро-1,3-тиазингидрохлорида, претерпевавшего в условиях опыта внупримолекулярную перегруппировку с образованием соответствующих 2-тиотетрагидропиримидинов. Эти соображения еще не окончательны и для своего подтверждения требуют дополнительных исследований.

Нами установлено, что в условиях реакции происходит отщепление метанола от метоксикетонов V—VIII с образованием дивинилкетонов I—IV, которые затем реагируют с мочевиной или тиомочевиной, образуя соопветствующие оксо- и тиотепрагидропиримидины IX—XVI.

Строение тетрагидропиримидинов IX—XVI доказано спектральным анализом и химическим путем. В ИК опектрах оксопиримидинов найдены полосы поглощения карбонильной (1650—1680  $cm^{-1}$ ) и амидной (3200  $cm^{-1}$ ) групп, сопряженной двойной овязи (1630  $cm^{-1}$ ) и валентные колебания групп =  $CH_2$  (3060  $cm^{-1}$ ). В ИК опектрах тиопиримидинов вместо карбонильной группы обнаружены частоты поглощения C=S (тионной) прукпы (1075  $cm^{-1}$ ). При гидрировании соединений X, XI получены соответствующие насыщенные оксо- и тиогексагидропиримидины XVII, XVIII. В ИК спектрах последних отсутствуют полосы поглощения двойной связи.

На примере соединений X, XI показано, что тио- и оксотетратидропиримидины IX—XVI подвергаются диалкилированию диметилсульфатом в присутствии гидроокиси калия с образованием соответствующих диметилпроизводных XIX, XX.

Исходя из в в диметилвинил-3-изотиоцианэтилкетона (XXI) и аммиака, синтезирован 2-тиотетрагидропиримидин (XXII), после гидрирования оказавшийся идентичным с соединением XVII; смешанная проба обоих образцов не давала депреосии температуры плавления.

XVII, XIX,  $R=CH_2$ , X=S; XVIII, XX,  $R=C_2H_5$ , X=O.

Порядок присоединения мочевины и тпомочевины к метокси—VIII и дивинилкетону IV доказан на примере гидрирования метоксикетона VIII в соответствующий насыщенный метоксикетон XXIII и последующим присоединением тиомочевины. Полученный при этом замещенный тетрагидролиримидинтион-2 (XXIV) при гидрировании над Рт-катализатором образует продукт XXV, тождественный с гексагидротиопиримидином, полученным гидрированием тетрагидротиопиримидина XVI. В ИК спектре соединения XXV отсутствуют полосы поглощения двойной связи

На примере тетратидропиримидинов X, XI показано, что ожсо- и тнотетрагидропиримидины IX—XVI вступают в диеновый синтез с ангидридом малеиновой кислоты с образованием соответствующих аддуктов XXVI, XXVII, образующих при кислотном гидролизе ожидаемые двухосновные кислоты XXVIII, XXIX.

XXVI, XXVIII. R=CH<sub>3</sub>, X=S;

XXVII, XXIX.  $R=C_2H_5$ , X=0.

#### Экспериментальная часть

2-Оксотетрагидропиримидины IX, XI, XIII, XV. Смесь 0,1 моля мочевины и 0,05 моля замещенного дивинил- или метоксивинильетона при энергичном перемешивании напревают до 80°, пропускают ток сухого хлористого водорода до тех пор, пока температура смеси не достигнет 120—130°. Нагревание продолжают еще 2 часа. После охлаждения реак-

инопную смесь обрабатывают 10%-ным раствором поташа. Выпавшие кристаллы отфильтровывают, промывают волой, ацетоном, эфиром.

2-Тиотетрагидропиримидины X, XII, XIV, XVI получены аналогично из 0,1 моля тиомочевины и 0,05 моля дивинил- или метоксивинилкетона. Константы полученных 2-оксо- и 2-тиотетрагидропиримидинов IX—XVI приведены в таблице.

2-Тиотетригидропиримидин XXIV получен аналогично из 7,9 г (0,05 моля) насыщенного метоксикетона XXIII и 7,6 г (0,1 моля) тиомоченны. Маслообразный 4-метил-6-изобутил-1,2,3,4-тетрагидропиримидинтион-2 (XXIV) промывают несколько раз эфиром. После двухдневного стояния при комитатной температуре вещество кристаллизуется. Выход 3 г (32,6%); т. пл. 197—198° (разл.) (уксусная кислота—ацетон). Найдено  $^{\circ}$ /<sub>0</sub>: C 58,70; H 8,70; N 15,22.  $^{\circ}$ C<sub>9</sub>H<sub>16</sub>N<sub>2</sub>S. Вычислено  $^{\circ}$ /<sub>0</sub>: C 58,62; H 8,51: N 15,00.

4-4-Диметил-6-винил-2,3,4,5-тетрогидропиримидинтион-2 (XXII). Смесь 4,3 г (0,025 моля) кетона XXI, 30 мл 25%-ной гидроокиси аммония и 6 капель 10 н серной кислоты кипятят при 95° в течение 8 часов. После охлаждения выпавшие кристаллы отфильтровывают и промывают водой. Выход пиримидинтнона-2 (XXII) 1,2 г (28,1%); т. пл. 170—171° (разл.) (спирт—вода). Найдено %: С 51,29; Н 6,96; N 16,37. Св1112 N2S Вычислено %: С 51,19; Н 7,14; N 16,66.

4,4-Диметил-6-этил-2-тиогексагидропиримидин (XVII). а) Раствор 1 г (0,006 моля) тетрагидропиримидинтиона-2 (X) в 20 мл укоусной кислоты гидрирован над Р1-катализатором. После отгонки растворителя получено 0,6 г (58,65%) продукта; т. пл. 238—239° (спирт—вода). Найдено  $^{\circ}$ <sub>0</sub>: С 56,00; Н 9,18; N 16,07. С<sub>8</sub>Н<sub>16</sub>N<sub>2</sub>S. Вычислено  $^{\circ}$ <sub>0</sub>: С 55,81; Н 9,30; N 16,28. б) Из 0,2 г (0,0012 моля) тетрагидропиримидина-2 (XXII) получено 0,13 г (65,0%) XVII; т. пл. 239° (спирт—вода).

4-Метил-6-изобутил-2-тиогексагидропиримидин (XXV) получеч аналогично из 0,6 г (0,0033 моля) тиотетрагидропиримидина XVI. Выход 0,3 г ( $50^{\circ}/_{\circ}$ ); т. пл.  $141-143^{\circ}$  (разл.) (спирт—вода). Найдено  $^{\circ}/_{\circ}$ : С 56.98: Н 10.0; N 15.34. С  $_{\circ}$ Н $_{18}$ N $_{\circ}$ S. Вычислено  $^{\circ}/_{\circ}$ : С 57.06; Н 9.68; N 15.05. б) Из 0,4 г (0,0022 моля) тетрагидропиримидинтиона-2 (XXIV) получено 0,14 г ( $35.0^{\circ}/_{\circ}$ ) XXV; т. пл.  $140-142^{\circ}$  (разл.) (спирт—вода). Смешанная проба этих образцов депрессии не дала.

4-Метил-4,6-диэтил-2-оксогексагидропиримидин (XVIII) получен аналогично из (0,006 моля) оксотетрагидропиримидина XI. Выход 0,8 г (78,12%); т. пл. 280—281° (из опирта). Найдено %: С 63,09; Н 10,41; N 16,64; С $_9$ Н $_{13}$ N $_2$ О. Вычиклено %: С 63,53; Н 10,59; N 16,47.

Алкилирование тетрагидропиримидинов X, XI. К смеси 1,1 г (0,0065 моля) 2-тиотетратидропиримидина X, 0,8 г гидроокиси калия и 3,8 мл воды при 40° по каплям добавляют 2,5 г (0,02 моля) диметилсульфата. Затем температуру эмеси доводят до 85° и перемешивают в течение 5 часов. После охлаждения выпавшие юристаллы отфильтровывают, промывают водой и высушивают. Получено 0,8 г (62,50%) 1,3,4,4-тетраметил-6-вынил-2-тпо-1,2,3,4-тетрагидрюпиримидина (XIX). Т. пл.

Соединение	R	R'	R*	R'''	x	Дивинил- кетон	Метокси- кетон	Молекулярная формула	Выход, 0/е
1X	СН	CH <sub>3</sub>	н	н	0	I	_	C <sub>8</sub> H <sub>13</sub> N <sub>2</sub> O	90,80
IX	CH <sub>3</sub>	CH <sub>3</sub>	Н	Н	0	-	V	C <sub>8</sub> H <sub>12</sub> N <sub>2</sub> O	92,10
X	CH <sub>3</sub>	CH <sub>3</sub>	Н	Н	S	I	-	C <sub>8</sub> H <sub>12</sub> N <sub>2</sub> S	69,01
X	CH <sub>3</sub>	CH <sub>3</sub>	Н	11	S	-	v	C <sub>8</sub> H <sub>12</sub> N <sub>2</sub> S	84,52
XI	CH <sub>3</sub>	C2115	Н	Н	0	_	VL	C <sub>0</sub> H <sub>14</sub> N <sub>2</sub> O	96,38
XII	CH <sub>3</sub>	C <sub>2</sub> H <sub>5</sub>	Н	Н	S		VI	C,H,N,S	75,82
XIII	пентаме	нэгит	Н	Н	0	111	-	C11H16N2O	90,62
XIII	пентаме	зтилен	H	Н	0		VII	C11H16N2O	83,33
XIV	пентаме	етилен	н	Н	S.	Ш	12	C11H16N2S	92.30
XIV	пентамо	стилен	H	Н	S		VII	C11H16N2S	81,73
χv	CH <sub>3</sub>	Н	CHa	CH <sub>3</sub>	0		VIII	C <sub>5</sub> H <sub>14</sub> N <sub>2</sub> O	66,26
XVI	CH <sub>3</sub>	Н	CIIa	CH3	S	-	VIII	C <sub>9</sub> H <sub>14</sub> N <sub>2</sub> S	81,78

			A II	ал	н з,	1/0		
Т. пл.,		най	дено		вычислено			
°C	С	н	N	s	С	н	N	S
293-295	62,71	7,72	18,47	_	63,16	7,89	18,42	-
295—297	63,28	7,76	18,08	_	63,16	7.89	18,42	
250 — 251 разл.	56,76	7,23	16,64	18,80	57,14	7,14	16,67	19,02
249—251 разл.	56,48	7,03	16,62	-	57,14	7,14	16,67	19.02
232 -233	64,71	8,70	17,20	-	65,06	8,43	16.87	-
153	59,87	7,81	15,52	18,00	59,34	7,69	15,38	17,58
260-261	68,90	8,20	14,34	_	68,75	8,33	14.58	_
260-261	68,45	8,50	15,00	-	68,75	8,33	14,58	_
155-156	62,88	7,70	13,30	15,70	63,46	7,69	13,46	15,38
155156	62,98	7,80	13,42		63,46	7,69	13, 16	15,38
156—157	65,40	8,52	16,72	-	65,06	8,43	16,87	-
90-92	58,78	7,54	15,35	16,97	59,34	7,69	15.38	17.58

 $98-100^\circ$  (разл.) (спирт—вода). Найдено %: С 61,13; Н 7,96, N 14,35 С<sub>10</sub>Н<sub>16</sub>N<sub>2</sub>S. Вычислено %: С 61,22; Н 8,16; N 14,29.

Аналогично из 1,66 г (0,01 моля) 2-эксотетрагидропиримидина XI и 1,2 г гидроокиси жалия в 5,7 мл воды и 4,4 г (0,035 моля) диметилсульфата получено 0,8 г (41,24%) 1,3,4-приметил-4-этил-6-винил-2-оксо-1,2,3,4-тетрагидропиримидина (XX). Т. пл. 249—251° (промыт водой, ацетоном и эфиром). Найдено %: С 67,96; Н 9,07; N 14,28.  $C_{11}H_{18}N_2O$ . Вычислено %: С 68,04; Н 9,28; N 14,43.

Диеновый синтез. Смесь 0,01 моля хорошо измельченного тетрагидропиримидина X,XI и 0,012 моля малеинового ангидрида в запаянной трубке напревают при 170—180° в течение 7 часов. Таким образом получен аддукт XXVI с 75,9% выходом. Не плавится до 340° (из спирта). Найдено  $^{0}$ /<sub>0</sub>: N 10.32.  $C_{12}H_{14}N_{2}O_{3}S$ . Вычислено  $^{0}$ /<sub>0</sub>: N 10,52. Аддукт XXVII с 88,05°/<sub>0</sub> выходом. Т. пл. 278—280° (разл.) (из спирта). Найдено  $^{0}$ /<sub>0</sub>: N 10,57.  $C_{13}H_{16}N_{2}O_{4}$ . Вычислено  $^{0}$ /<sub>0</sub>: N 10,66.

Гидролизом (0,03 моля) аддуктов (XXVI, XXVII) 30 мл 10%-ной хлористоводородной кислоты при 90° в течение 3 часов получены соответствующие двухосновные кислоты: 5,6-дикарбоюси-8,9-дегидроциклогексано-2-тио-4,4-диметилгексагидропиримидин (XXVIII) с 62,5% выходом. Т. пл. 285° (разл.) (спирт—вода). Найдено %: С 51,00; Н 5,78; N 10,19.  $C_{12}H_{16}N_2O_4S$ . Вычислено %: С 50,70; Н 5,63; N 9,86. 5,6-Дикарбокси-8,9-дегидропиклогексано-2-оксо - 4 -метил-этилгексагидропиримидин (XXIX) с 56,47% выходом. Т. пл. 267—268° (разл.) (спирт—вода). Найдено %: С 55,17; Н 6,36; N 10,00.  $C_{13}H_{16}N_2O_3$ . Вычислено %: С 55,32; Н 6,38; N 9,93.

#### ՉՀԱԳԵՑԱԾ ՄԻԱՑՈՒԹՅՈՒՆՆԵՐԻ ՔԻՄԻԱ

XXIV. ՄԻ ՔԱՆԻ ՏԵՂԱԿԱԼՎԱԾ 2–0ՔՍՈ– ԵՎ 2–ԹԻՈՏԵՏՐԱՀԻԴՐՈՊԻՐԻՄԻԴԻՆՆԵՐԻ ՍԻՆԹԵՉ

n. v. haguspaud, v. 4. oppobaud L v. 2. duppudaud

## U. d. d. n. d. n. d.

3ույց է տրված, որ տեղակալված դիվինիլկետոնները I—IV և նրանց Համապատասխանող մեթօքսիվինիլկետոնները V—VIII միզանյութի կամ թիոմիզանյութի հետ քլորաջրածնի ներկայությամբ 2—3 ժամ 120—130° տաքացնելիս առաջացնում են համապատասխանաբար տեղակալված 2-օքսո- և 2թիոտետրահիդրոպիրիմիդիններ IX—XVI: 4,4-Դիմեթիլ-6-վինիլ-2-թիո- և
4-էթիլ-6-վինիլ-2-օքսո- 1,2,3,4-տետրահիդրոպիրիմիդինները (X, XI)
Pէ կատալիզատորի ներկայությամբ հիդրելով ստացվել են համապատասխան
հեջսահիդրոպիրիմիդինները XVII—XVIII: Միևնույն օրինակների վրա ցույց
է տրված, որ տետրահիդրոպիրիմիդինները IX—X<sup>\*</sup>I կալիումի հիղրօքսիդի
ներկայությամբ դիմեթիլսուլֆատով ենթարկվում են ալկիլման, առաջացնելով
համապատասխան դիալկիլածանցյալները XIX, XX, իսկ մալեինաթժվի անհիդ-

րիդի հետ մանում են դիենային սինքեզի մեջ, առաջացնելով համապատասխան ադուկտներ, որոնց հետագա հիդրոլիզով ստացվել են XXVIII և XXIX հրկհիմն թթուները։ Ստացված տեղակալված տետրահիդրոպիրիմիդինների կառուցվածքն ապացուցված է հանդիպակած սինթեղով և ինֆրակարմիր սպեկտրների միջոցով։ Սինթեզված 2-օքսո- և 2-թիոտետրահիղրոպիրիմիդինների որոշ հաստատունները բերված են աղյուսակում ։

#### ЛИТЕРАТУРА

- 1. Р. М. Хачатрян, С. К. Пиренян, С. А. Вартанян, Арм. хим. ж., 21, 836 (1968).
- 2. Р. М. Хачатрян, С. К. Пиренян, С. А. Вартинян, Арм. хим. ж., 23, 645 (1970).
- 3. С. А. Вартанян, С. К. Пиренян, Р. М. Хачатрян, Арм. хим. ж., 21, 177 (1968). 4. С. J. Cavallto, С. M. Martini, F. C. Nachod, J. Am. Chem. Soc., 73, 2544 (1951).
- 5. R. Zimmermann, H. Hotze, Angew. Chem., 75, 1025 (1963).

XXIV, № 7, 1971

#### химическая технология

УДК 517+678.744.422

## МАТЕМАТИЧЕСКАЯ МОДЕЛЬ СИНТЕЗА ВИНИЛАЦЕТАТА С УЧЕТОМ ПРОДУКТОВ ПОБОЧНЫХ РЕАКЦИИ

Э. В. ОГАНЕСЯН, С. С. ЗАХАРЬЯН и К. А. ШАГИНЯН

Всесоюзный научно-исследовательский и проектный институт полимерных продуктов (Ереван)

Поступило 10 IX 1970

Сделана попытка получения математического описания реактора для синтеза винилацетата в неподвижном слое катализатора. Предлагаемая модель реактора учитывает влияние продуктов побочных реакций на характер протекания процесса и падение экравности катализатора. После уточнения значений параметров модель может быты использована для целей управления промышленным реактором.

Енбл. ссылок 10.

Уопешное осуществление функций управления технологическими объектами возможно при наличии алгоритмов, по которым производится соответствующая обработка информации, полученной от управляемого объекта.

Для решения этой задачи, прежде всего, необходимо располагать математической моделью процесса, которую можно получить либо экспериментально-статистическим путем, либо с помощью уравнений химической кинетики, теплового и материального баланса. Преимущество кинетического подхода заключается в том, что вид функциональных зависимостей более или менее обоснован физико-химическ ми соображениями, которые для ряда процессов достаточно полно освещены в литературе.

В настоящей работе ставитоя задача моделирования синтеза винилацетата на неподвижном слое катализатора именно с помощью теоретического подхода, при котором используется сравнительно небольшое число эмпирически определяемых коэффициентов и достаточная информация о реакторе-объекте с распределенными параметрами. Кроме того, кинетический подход для моделирования синтеза винилацетата является единственным практически осуществимым, поскольку обор экспериментальных данных затруднен большой длительностью цикла (около 100 суток).

Синтез винилацетата осуществляется путем пропускания смеси ацетилена с парами уксусной кислоты через напретый катализатор. Катализатор в виде мелких частиц (гранул активированного угля AP-3 с содержанием 25% ацетата цинка) диаметром 6—8 мм засывается в трубки реактора, а в межтрубном пространстве циркулирует хладовтент (масло «Вапор»), отводящий тепло экзотермической реакции.

I процессе синтеза меняется активность катализатора, которая компенсируется подъемом температуры реакции с 170 до 220°. Падение активности катализатора вызывается следующими причинами [1,2]: сублимацией ацетата цинка с поверхности катализатора (особенно сильно при нарушении теплового режима в реакторе); его уносом реакционным потоком; отравлением побочными продуктами.

Механизм реакции синтеза винилацетата весьма сложен, поскольку, помимо основной реакции получения целевого продукта—винилацетата, протекают побочные с образованием этилидендиацетата, ацетона, ацетальдегида, кротонового альдегида, двуокиси углерода и др. Как это характерно для органического синтеза, в данном случае число возможных параллельных и последовательных стадий превращения исходного сырья столь велико, что полное кинетическое описание процесса является практически неразрешными задачей. Механизм основной реакции, уравнение скорости химического превращения, влияние соотношения реагентов и прочих факторов на синтез подробно описаны в литературе [3,4]. Большое влияние на характер протекания синтеза оказывают побочные реакции. В работах [1,5] изучается их влияние на отравление катализатора. Показано, что на старение катализатора влияют главным образом реакции, ведущие к образованию труднолетучих смолообразных продуктов (продуктов полимеризации ацетилена, винилацетата, ацетальдегида). Однако до сих пор при построения математических моделей не учитывалось влияние побочных продуктов на синтез и падение активности катализатора.

На основании предварительного изучения технологии процесса и литературных данных нами выбраны следующие реакции из всех возможных для описания синтеза:

$$C_{2}H_{2} + CH_{3}COOH \longrightarrow C_{4}H_{6}O_{2} + q_{1}$$

$$2CH_{3}COOH \stackrel{\nearrow}{\searrow} C_{3}H_{6}O + CO_{2} + H_{2}O + q_{2}$$

$$C_{4}H_{6}O + H_{2}O + O_{2} + q_{3}$$

$$C_{2}H_{2} + H_{2}O \longrightarrow C_{2}H_{4}O + q_{4},$$

$$(1)$$

где  $q_i$  — тепловой эффект i-ой реакции (i = 1 + 4).

Система стехиометрических уравнений будет иметь следующий вид:

$$A_{1} + A_{2} \xrightarrow{k_{1}} B_{1}$$

$$2A_{1} \longrightarrow \begin{vmatrix} k_{2} & B_{2} + B_{3} + B_{4} \\ \vdots & \vdots & \vdots \\ k_{3} & B_{5} + B_{4} + B_{7} \end{vmatrix}$$

$$A_{2} + B_{4} \xrightarrow{k_{4}} B_{6},$$

$$(2)$$

где  $A_1$  и  $A_2$  — уксусная кислота и ацетилен, исходные вещества;  $B_1$  — вичилацетат, конечный целевой продукт;  $B_4$  — вода, промежуточный побочный продукт;  $B_2$ ,  $B_3$ ,  $B_5$ ,  $B_6$ ,  $B_7$  — ацетон, двуокись углерода, кротоновый альдегид, ацетальдегид, кислород, побочные конечные продукты.

Для моделирования процесса синтеза винилацетата, протеквющего в трубчатом реакторе, выбираем модель идеального вытеснения, которая вполне приемлема для промышленного реактора.

Характер изменения относительных концентраций компонент реакции по длине трубки описывается системой дифференциальных уравнений, которую в матричной форме можно представить в следующем виде [6]:

$$V \frac{d}{di} \|x_i\| = \|y\| \cdot \|r\|, \tag{3}$$

где V — линейная скорость парогазовой смеси;  $||x_i||$  — матрица относительных концентраций компонент реакционной смеси; ||v|| — матрица стехиометрических коэффициентов; ||v|| — матрица скоростей реакции.

С целью упрощения математической модели нами сделана попытка сократить до минимума число дифференциальных уравнений, входящих в систему (3). Для этого на основании ранга маприцы стехнометрических коэффициентов выбирались несколько ключевых компонент. Составляющие реакционной омеси, не вошедшие в число ключевых компонент, описывались через последние с помощью дополнительных соотношений. В результате была получена система уравнений (4):

$$V \frac{dx_1}{dl} = -r_1 - 2r_2 - 2r_3;$$

$$V \frac{dx_4}{dl} = r_2; \qquad V \frac{dx_7}{dl} = r_3; \qquad V \frac{dx_8}{dl} = r_4;$$

$$x_2 = x_2^0 - x_8 - 1 + x_1 + 2x_4 + 2x_7; \qquad x_3 = 1 - x_1 - 2x_4 - 2x_7;$$

$$x_5 = x_4; \qquad x_6 = x_4 + x_7 - x_8; \qquad x_9 = x_7,$$

$$(4)$$

где  $r_i$  — скорость i-ой реакции ( $i = 1 \div 4$ );

$$r_1 = [A_{10}] \cdot k_1 \cdot x_1; \qquad r_2 = [A_{10}]^2 \cdot k_2 \cdot x_1^2;$$
  

$$r_3 = [A_{10}]^2 \cdot k_3 \cdot x_1^2; \qquad r_4 = [A_{10}] \cdot k_4 \cdot x_6,$$

где  $x_1$ ;  $x_2$ ;  $x_3$ ;  $x_4$ ;  $x_5$ ;  $x_6$ ;  $x_7$ ;  $x_8$ ;  $x_9$ — относительные концентрации в реакционной смеси, соответственно: уксусная кислота, ацетилен, винилацетат, ацетон, двуокись углерода, вода, кротоновый альдегид, ацетальдегид, кислород;  $k_t$ — константа скорости i-ой реакции (i=1+4) с граничными условиями:

$$l = 0$$
  $x_1^0 = 1;$   $x_2 = x_2^0$   
 $x_3^0 = x_4^0 = x_5^0 = x_6^0 = x_7^0 = x_8^0 = x_9^0 = 0$ 

Математическая модель процесса, кроме кинетики реакции на зерне катализатора, должна учитывать явления тепло- и массопереноса по длине трубки. Для синтеза винилацетата на мелкозернистом катализаторе вышеуказанные явления могут быть учтены раксмотрением квазигомогенной модели слоя катализатора. При этом система уравнений слоя идеального вытеснения, совместно с уравнением теплового балан-

са для межпрубного пространства, примет вид (в безразмерных величинах):

$$\frac{dx_1}{d\xi} = \sum_{i=1}^{3} \gamma_{ii} \cdot \psi_i; \qquad \frac{dx_4}{d\xi} = \gamma_{21} \cdot \psi_2; \qquad \frac{dx_7}{d\xi} = \gamma_{31} \cdot \psi_3;$$

$$\frac{dx_8}{d\xi} = \gamma_{41} \cdot \psi_4; \qquad \frac{d\theta}{d\xi} = \sum_{j=1}^{4} \gamma_{5j} \cdot \psi_j - \gamma_{55} \cdot (\theta - \theta_x)$$

$$\frac{d\theta_x}{d\xi} = \gamma_{61} \cdot (\theta - \theta_x)$$
(5)

с граничными условиями:

$$\xi = 0$$
  $x_1^0 = 1;$   $x_4^0 = x_7^0 = x_8^0 = 0;$   $\theta^\circ = 0$   $\xi^* = 1$   $\theta_x = \theta_x^*$ ,

где

$$\xi = \frac{l}{L}; \qquad \theta = \frac{T - T_0}{T_0}; \qquad \theta_x = \frac{T_x - T_0}{T_0}$$

 $\gamma_{ij}$  — постоянняя величина (i = 1 + 6; j = 1 + 5)

$$\psi_1 = \exp\left[-\frac{E_1}{RT_0(1+\theta)}\right] \cdot x_1$$

$$\psi_2 = \exp\left[-\frac{E_2}{RT_0(1+\theta)}\right] \cdot x_1^2$$

$$\psi_3 = \exp\left[-\frac{E_3}{RT_0(1+\theta)}\right] \cdot x_1^2$$

$$\psi_4 = \exp\left[-\frac{E_4}{RT_0(1+\theta)}\right] \cdot (x_4 + x_7 - x_8)$$

L — длина трубки; l — текущая длина трубки; T — температура в слое катализатора, °K;  $T_o$  — начальная температура смеси, °K;  $T_x$  — текущая температура хладоагента, °K;  $E_l$  — энергия активации l-ой реакции (l = 1  $\leftrightarrow$  4); R — универсальная газовая постоянная.

Полная модель синтеза винилацетата должна учитывать также скорость изменения активности катализатора во времени в зависимости от параметров синтеза.

Как известно, процесс старения очень сложен, зависит от многих факторов и трудно поддается математическому описанию.,

В литературе [7, 8, 9] падение активности катализатора учитывается введением дополнительного множителя—параметра старения в выражение для окорости реакции. Вид параметра старения обычно выбирается на основе имеющихся физико-химических соображений и представляется эмпирической формулой, в которую в качестве экспоненциального показателя входят температура реакции, время и эмпирические коэффициенты.

Нами оделана попытка описания падения активности катализатора синтеза винилацетата с помощью дифференциального уравнения вида:

$$-\frac{dS}{dt} = \omega(x_0; x_0; \theta), \tag{6}$$

в котором на старение катализатора влияют не только б и t, но и концентрации побочных продуктов, которые, согласно работам [1,5], отравляют катализатор. Таким образом, уравнение (6) учитывает большее число факторов, имеющих непосредственное влияние на старение катализатора и, следовательно, должно с большей точностью моделировать процесс. Вид уравнения (6) необходимо выбирать на основе известных ссображений с физико-химическим механизмом процесса отравления катализатора ядами.

В связи с тем, что скорость изменения активности катализатора эначительно меньше скорости переходных процессов в объекте, можно уравнение (5) рассматривать совместно с динамическим уравнением (6) [10]. Следовательно, получаем квазистационарную модель синтеза эмнилацетата.

### ՎԻՆԻԼԱՑԵՏԱՏԻ ՍԻՆԹԵԶԻ ՄԱԹԵՄԱՏԻԿԱԿԱՆ ՄՈԴԵԼ՝ ԿՈՂՄՆԱԿԻ ՌԵԱԿՑԻԱՆԵՐԻ ԱՐԳԱՍԻՔՆԵՐԻ ՀԱՇՎԱՌՈՒՄՈՎ

է. Վ. ՀՈՎՀԱՆՆԻՍՅԱՆ, Ս. Ս. ԶԱՔԱՐՅԱՆ և Կ. Հ. ՇԱՀԻՆՅԱՆ

Աշխատանքում փորձ է արված ստանալ կատալիզատորի անշարժ շերտում
ընթացող վինիլացնտատի սինթեզի ռեակտորի մաթեմատիկական նկարագիընթացող վինիլացնտատի սինթեզի ռեակտորի մաթեմատիկական նկարագիըը։ Ի տարբերություն գրականությունում եղած աշխատանքների, ռեակտորի
առաջարկված մոդելը հաշվի է առնում կողմնակի ռեակցիաներից գոյացող
նյութնիր ազդեցությունն ինչպես պրոցեսի ընթացքի բնույթի, այնպես էլ կատալիզատորի ակտիվության անկման վրա։ Պարամետրի արժեքների ճշտումից
հետո մոդելը կարող է օգտագործվել արդյունաբերական ռեակտորի ղեկավարման համար։

#### ЛИТЕРАТУРА

- 1. С. Н. Ушаков, Поливиниловый опирт и его производные, ч. 1. Изд. АН СССР, 'Ленинград, 1960.
- С. Вейлас. Химическая кинетика и расчеты промышленных реакторов, Изд. «Химия», Москва, 1967.
- 3. А. В. Чирикова, Автореферат канд. дисс., Москва, 1959.
- 4. И. Б. Васильева, Автореферат канд. днос., Москва, 1964.
- 5. А. Е. Акопян, В. Е. Бадалян, В. К. Бояджян, В. К. Ерицян, ЖПХ. 39, 1341 (1966).
- М. Р. Сменько, Моделирование и оптимизация каталитических процессов, ч. 3, Изд. «Наука», Москва, 1965.
- 7. С. С. Захарьян, Автореферат канд. дысс., Тбилисы, 1969.
- 8. С. С. Хачатрян, Автореферат канд. дисс., Москва, 1969.
- 9. В. А. Хохлов, В. А. Лавров, Хим. пром., № 1, 8 (1969).
- 10. Г. М. Островский, Моделирование и оптимизация каталитических процессов, 24. Изд. «Наука», Москва 1965.

## 2 U S 4 U 4 U 1 2 Р Г Р U 4 U 5 U Г В Ц 4 Р Р Р АРМЯНСКИЯ ХИМИЧЕСКИЯ ЖУРНАЛ

XXIV, № 7, 1971

УДК. 678.744.422+678.744.531

## ПОЛУЧЕНИЕ ПОЛИВИНИЛФОРМАЛЯ

VI. НЕПРЕРЫВНАЯ ПОЛИМЕРИЗАЦИЯ ВИНИЛАЦЕТАТА. В ВОДНОМ РАСТВОРЕ УКСУСНОИ КИСЛОТЫ.

А. Е. АКОПЯН , Ю. Е. НАЛБАНДЯН и Л. А. САРКИСЯН

Ереванский политехнический институт

Поступило 3 VI 1970

Теоретическим расчетом определено число полимеризаторов в каскаде.

Показано, что процесс непрерывной полимеризации винилацстата в водном растворе уксусной кислоты в присутствии персульфатных инициаторов можно осуществлять в полимеризаторс колонного типа.

Исследована зависимость производительности установки непрерывного действил от скорости подачи исходной смеси и концентрации инициатора полимеризации.

Изучено влияние концентрации инициатора на молекулярный вес полученного поливинилацетата.

Рис. 4, табл. 1, библ. ссылок 7.

В наших предыдущих сообщениях [1—4] была показана возможность проведения регулированной полимеризации винилацетата в водных растворах уксусной кислоты и получения растворимого поливинилформаля путем непосредственного ацеталирования поливинилацетата формальдегидом в той же среде.

Течение полимеризации винилацетата в водном растворе уксусной кислоты с большой скоростью (10—12 часов вместо 25—30 при полимеризации в метаноле) создает реальную возможность. проведения полимеризации непрерывным способом.

Полимеризация винилацетата в различных распворителях непрерывным методом изучалась различными авторами [6,7]; нами же впервые изучается непрерывная полимеризация винилацетата в водном растворе уксусной кислоты с целью получения полимеризата, непосредственное ацеталирование которого приводит к образованию поливинилацеталей.

В данной работе рассматриваются результаты изучения полимеризации винилацетата в водном растворе уксуоной кислоты на лабораторной установке непрерывного действия.

Если процесс полимеризации винилацетата осуществить в одном аппарате «идеального омещения», длительность непрерывного процесса т<sub>непр.</sub> будет значительно больше длительности периодического про-

цесса 
$$\tau_{nep.}$$
, т. е.  $\frac{\tau_{nep.}}{\tau_{nep.}} \gg 1$ .

Повышение к. п. д. одноаппаратной схемы «идеального смешения» путем снижения степени конверсии винилацетата иоключается, так как выделение непрореагировавшего винилацетата из реакционной омесн связано с большими техническими трудностями.

В данном случае повышение к. п. д. установки может быть достигнуто совмещением принципов смещения и вытеонения, т. е. включением в установку нескольких полимеризаторов.

#### Экспериментальная часть

До начала экспериментальных работ по непрерывной полимеризации винилацетата определенный интерес представлял теоретический расчет числа полимеризаторов установки.

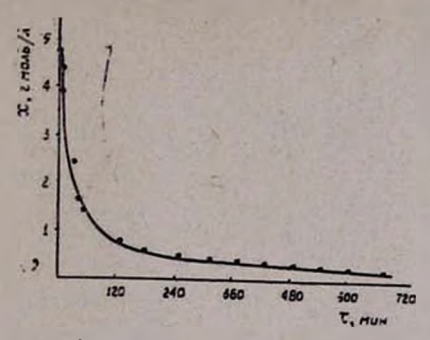


Рис. 1. Изменение концентрации винилацетата во времени.

Расчет производился на основании данных периодической полимеризации винилацетата [2] графоаналичическим методом, предложенным Левиным [5].

#### Определение продолжительности полимеризации винилацетата

В опытах данной серии полимеризация винилацетата в водном растворе уксукной кислоты проводилась по рецептуре, указанной в нашем предыдущем сообщении. Начальная концентрация винилацетата в исходной смеси ( $X_{\text{нач.}}$ ) составляла 4,76, конечная же ( $X_{\text{кон.}}$ ) — 0,147 гмоль/л. На основании полученных данных был построен график с координатами: X — концентрация винилацетата, гмоль/л,  $\tau$  — время, мин (рис. 1).

Выбор конечной концентрации винилацетата в реакционной смеси обусловлен также продолжительностью реакции  $\tau_{\text{пер.}}$ , равной 675 минутам.

## Расчет числа (п) аппаратов установки

Расчет необходимого числа (n) одинаковых по емкости, последовательно соединенных аппаратов производился прафическим дифференцированием кривой  $X = \tau$  (рис. 1); был построен график с координатами  $\frac{dx}{d\tau} = X$  (рис. 2), при помощи которого затем решалась система следующих уравнений:

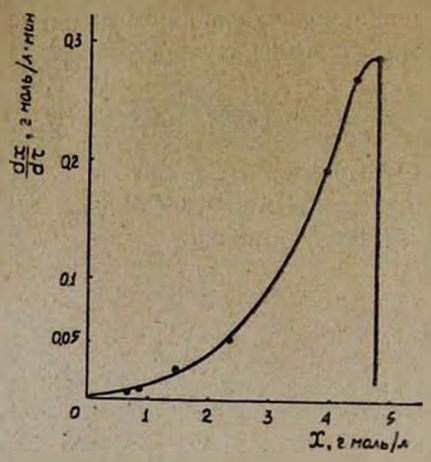


Рис. 2. Дифференциальная кривая изменения концентрации винилацетата во времени.

$$X_{n-1} = X_n + \frac{dx_n}{d\tau} \cdot \frac{\tau_{\text{KOH.}}}{n},$$
 $X_{n-2} = X_{n-1} + \frac{dx_{n-1}}{d\tau} \cdot \frac{\tau_{\text{KOH.}}}{n},$ 
 $X_{n-3} = X_{n-2} + \frac{dx_{n-2}}{d\tau} \cdot \frac{\tau_{\text{KOH.}}}{n},$ 
 $X_0 = X_{n-(n-1)} + \frac{dx_{n-(n-1)}}{d\tau} \cdot \frac{\tau_{\text{KOH.}}}{n} \gg X_{\text{KOH.}}.$ 

Принимая число аппаратов в каскаде n=4 и подставляя соответствующие значения из прафика (рис. 2) в вышеприведенные уравнения, получаем мольные концентрации винилацетата в отдельных аппаратах.

$$X_3 = X_{\text{кон.}} + \frac{dx_{\text{кон.}}}{d\tau} \cdot \frac{-\frac{\pi_{\text{кон.}}}{n}}{n} = 0,147 + 0,0012 \cdot \frac{675}{4} = 0,3493 \ \text{гмоль/л},$$
 $X_2 = X_3 + \frac{dx_3}{d\tau} \cdot \frac{-\frac{\pi_{\text{кон.}}}{n}}{n} = 0,3493 + 0,0026 \cdot \frac{675}{4} = 0,788 \ \text{гмоль/л},$ 
 $X_1 = X_2 + \frac{dx_3}{d\tau} \cdot \frac{-\frac{\pi_{\text{кон.}}}{n}}{n} = 0,788 + 0,0075 \cdot \frac{675}{4} = 2,051 \ \text{гмоль/л},$ 
 $X_0 = X_1 + \frac{dx_1}{d\tau} \cdot \frac{-\frac{\pi_{\text{кон.}}}{n}}{n} = 2,051 + 0,0375 \cdot \frac{675}{4} = 8,381 \ \text{гмоль/л},$ 
 $8,381 \ \text{гмоль/л} > X_{\text{нвч.}} = 4,76 \ \text{гмоль/л}.$ 

Следовательно, наличие 4 аппаратов в каскаде может обеспечить достижение указанной выше конверсии зинилацетата.

Продолжительность полимеризации винилацетата в каждом отдельном аппарате будет:

$$\tau_{1} = \frac{x_{3} - x_{4}}{\frac{dx_{4}}{d\tau}} = \frac{0.3493 - 0.147}{0.0012} = 169 \text{ мин,}$$

$$\tau_{2} = \frac{x_{2} - x_{3}}{\frac{dx_{3}}{d\tau}} = \frac{0.788 - 0.3493}{0.0026} = 168.7 \text{ мин,}$$

$$\tau_{2} = \frac{x_{1} - x_{2}}{\frac{dx_{2}}{d\tau}} = \frac{2.051 - 0.788}{0.0075} = 168.7 \text{ мин,}$$

$$\tau_{1} = \frac{x_{0} - x_{1}}{\frac{dx_{1}}{d\tau}} = \frac{8.381 - 2.051}{0.0375} = 168.8 \text{ мин,}$$

$$\tau_{10000} = 675.2 \text{ мин.}$$

Опыты по непрерывной полимеризации винилацетата в водном растворе укоусной кислоты проводились на лабораторной установке (рис. 3) по рецептуре, указанной в наших предыдущих сообщениях [1—4].

Винилацетат растворялся в водном растворе уксусной кислоты в колбе 1, снабженной механической мешалкой, откуда смесь поступала через питатель 2 в первый полимеризатор 3, куда из бюретки поступал также 4%-ый водный раствор инициатора. Полимеризаторы представляют собой стеклянные прубки диаметром 30 мм, высотой 450 мм, соединенные между собой последовательно. Они снабжены рубашкой, механической мешалкой и термометром. Первый полимеризатор снабжен также обратным холодильником 5 для конденсации паров реакционной смеси.

Температура в полимеризаторах 3 и 4 регулировалась при помощи роды, полаваемой в рубашки полимеризаторов из ультратермостата.

Вначале полимеризация винилацетата в полимеризаторах проводилась периодически, до получения полимеризата, содержащего 0,5% свободного винилацетата, а затем путем подачи исходной омеси в первый полимеризатор и отвода реажционной омеси из последнего полимеризатора в приемник 6 установка переводилась на непрерывную работу; после 48 часов непрерывной работы из отдельных полимеризаторов отбирались пробы и в них определялись содержание овободного мономера и молекулярный вес полученного поливинилацетата.

Первая серия опытов посвящалась изучению зависимости степени конверсии винилацетата и производительности установки от окорости подачи исходной смеси. Полученные данные изображены в виде прафика (рис. 4).

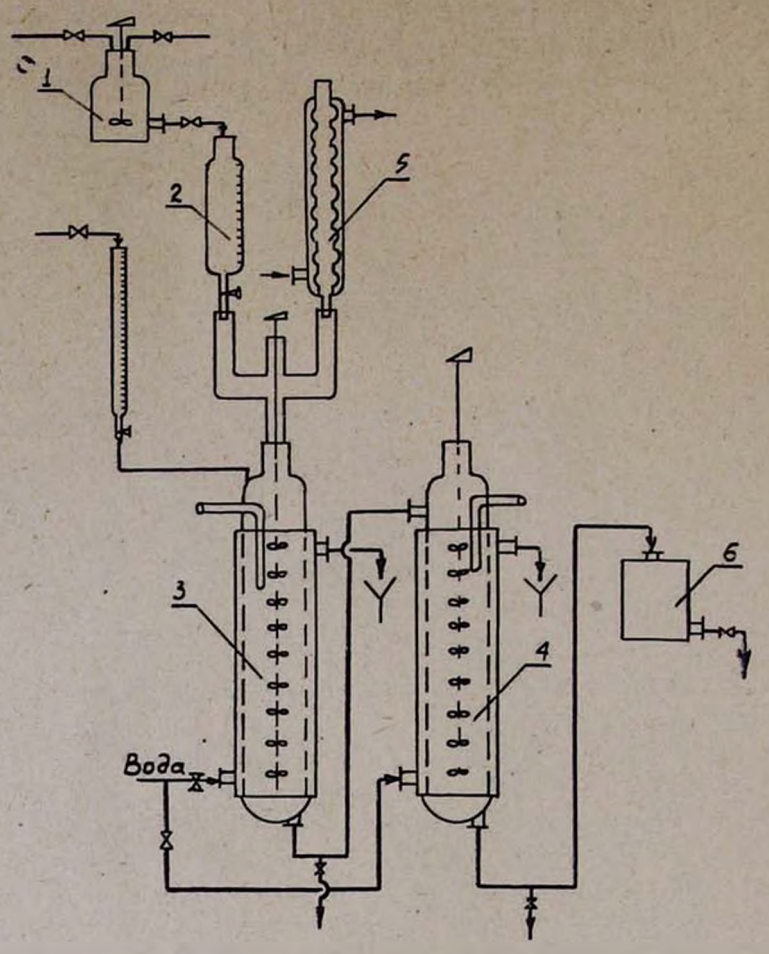


Рис. 3. Схема лабораторной установки непрерывной полимеризации винилацетата.

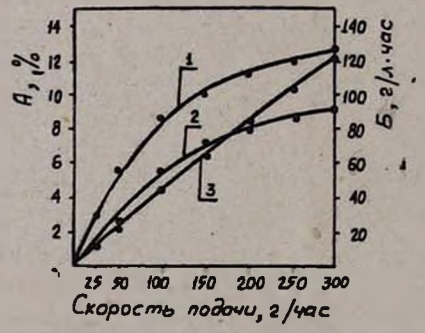


Рис. 4. Зависимость содержания свободного винилацетата и производительности установки от скорости подачи исходной смеси: 1, 2 — зависимость содержания свободного винилацетата (А) от скорости подачи исходной смеси в полимеризаторы 3 и 4; 3 — зависимость производительности установки по полимеру (Б) от скорости подачи исходной смеси.

Приведенные данные показывают, что производительность установки, состоящей из двух полимеризаторов, слишком мала.

При скорости подачи исходной смеси 25 г/час, что обеспечивает снижение свободного мономера в полученном полимеризате до 1,2%, производительность составляет примерно 12,6 г/л час, при пернодическом же процессе 45—40 г/л час, т. е. примерно в 3 раза больше. Увеличение скорости подачи исходной омеси значительно увеличивает произзолительность установки, но при этом снижается конверсия винилацетата. Так, при скорости подачи исходной смеси 300 г/час производительность установки возрастает до 121,2 г/л час полимера, но содержание свободного мономера в полученном полимеризате составляет 8,7%, что, безусловно, недопустимо, так как выделение свободного мономера из полимеризата запруднительно.

Приведенные данные показывают, что основная часть винилацетата (60—70%) полимеризуется в первом полимеризаторе, остальная (30—40%)—во втором.

Увеличение производительности установки непрерывной полимеризации винилацетата в водном растворе уксусной кислоты при глубокой конверсии винилацетата возможно только при увеличении числа реакторов в каскаде.

При этих исследованиях было также установлено, что молекулярный вес получаемого поливинилацетата при непрерывной полимеризации винилацетата оказывается ниже, чем при периодической. Поэтому вторая серия опытов посвящалась изучению зависимости молекулярного веса поливинилацетата от содержания инициатора.

Полученные результаты приведены в таблице.

Таблица
Влияние концентрации инициатора на конверсию винилацетата
и молекулярный вес поливинилацетата

Концентрация инициатора, <sup>0</sup> / <sub>0</sub>	Содержание винилаце		Молекуляр- ный вес	Примечание	
	1 колонна	II колонна	полимера		
0,05	15,5	9,9	23000	t=70°	
0,15	10,8	8,4	20000	W=100 .4A/4ac	
0,25	9,4	6,6	18000	1 12 22 24	
0,35	7.2	3,6	17000	7 60	
0,50	5,4	2,1	16000		

На основании данных таблицы можно придти к выводу, что при непрерывной полимеризации винилацетата в водном распворе уксусной кислоты отпадает надобность в применении репулятора полимеризации (ацетальдегида), в присутствии которого поливинилацетат с нужным молекулярным весом (20000—23000) получается лишь при слишком ма-

лых концентрациях инициатора (0,05—0,15%),что приводит к значительному снижению окорости полимеризации.

Поливинилацетат с молекулярным весом 18000—22000 получается, при проведении непрерывного процесса полимеризации винилацетата в присутствие регулятора полимеризации и концентрации инициатора 0,20—0,25%.

## ՊՈԼԻՎԻՆԻԼՖՈՐՄԱԼԻ ՍՏԱՑՈՒՄ

ут францивыямые массовама посторивания вивинциродь хризна спитованни

Հ. Ե. ՀԱԿՈՐՏԱՆ 🗼 Յու. Է. ՆԱԼԲԱՆԴՏԱՆ և Լ. Հ. ՍԱՐԴՍՏԱՆ

#### Udhnhald

Հաշվարկով տեսականորեն որոշված է պոլիմերիզատորների Թիվը կասկադում։ Պարզվել է, որ քացախաԹԹվի ջրային լուծույթում պերսուլֆատային հարուցիչների ներկայությամբ վինիլացետատի անընդհատ պոլիմերացումը կարելի է իրագործել աշտարակային տիպի պոլիմերիզատորում։ Ուսումնասիրվել է անընդհատ գործող սարքի արտադրողականության կախումը ելանյութային խառնուրդի արագությունից և հարուցիչի կոնցենտրացիայից։ Ուսումնասիրված է նույնպես հարուցիչի կոնցենտրացիայի ազդեցությունը ստացված պոլիվինիլացետատի մոլեկուլային կշռի վրա և ցույց է տված, որ տվյալ արոցեսում հնարավոր է չօգտագործել կարդավորիչներ։

#### ЛИТЕРАТУРА

- 1. А. Е. Акопян, М. Б. Ордян, Л. А. Саркисян, Дж. Х. Саркисян, С. Х. Геворкян, Арм. хим. ж., 22, 442 (1969).
- 2. А. Е. Акопян, М. Б. Ордян, Л. А. Саркисян, Дж. Х. Саркисян, Р. Г. Геворкян, Арм. хим. ж., 22, 627 (1969).
- 3. А. Е. Акопян, М. Б. Ордян, Л. А. Саркисян, Дж. Х. Саркисян. Р. Г. Геворкян, Арм. хим. ж., 22, 727 (1969).
- 4. А. Е. Акопян, М. Б. Ордян, Л. А. Саркисян, Арм. хим. ж., 22, 1028 (1969).
- 5. С. М. Арбитман, А. Н. Левин, Хим. пром., № 2, 91 (1958).
- 6. А. Ф. Николаев, М. Э. Розенберг, В. Л. Тризно и др., Пластические массы, № 7, 3 (1968).
- 7. А. Ф. Николаев, В. Л. Тризно. С. С. Мнацаканов и др., Пластические массы, № 12, 5 (1968).

#### КРАТКИЕ СООБШЕНИЯ

УДК 542.91+632 938

#### СИНТЕЗ ПЕСТИЦИДОВ

4,6-бис-АРИЛАМИНО-симм-ТРИАЗИНИЛ-2-МЕРКАПТОМКСУСНЫЕ КИСЛОТЫ

#### В. В. ДОВЛАТЯН и Т. О. ЧАКРЯН

Армянский сельскохозяйственный институт (Ереван)

Поступило 24 XI 1970

Ранее нами были синтезированы 4,6-бис-алкил (диалкил) аминосимм-триазинил-2-меркаптоуксусные кислоты. Некоторые из них оказались эффективными стимуляторами роста растений [1]. В развитие этих
работ представлялось интересным выяснить влияние ариламинных заместителей в триазиновом кольце на пестицидную активность соединений. С этой целью взаимодействием 2-хлор-4,6-бис-ариламино-симм-триазинов с тиомочевиной в среде сухого ацетона получены хлористые 4,6бис-ариламино-симм-приазинил-2-тиуронии. Последние взаимодействием
с хлоруксусной кислотой и едким натром образуют 4,6-бис-ариламиносимм-триазинил-2-меркаптоуксусные кислоты:

Ar=C6H5, o-CH3C6H4, w-CH3C6H4, o-CIC6H4, w-CIC6H4, n-CIC6H4.

Выходы, физико-химические свойства и данные элементного аналива полученных соединений приведены в таблицах 1,2.

По данным предварительных испытаний, промежуточные соли тиурония и конечные меркаптоуксусные кислоты являются фунтицидами и стимуляторами роста растений, однако по своей активности они уступают соединениям, содержащим у атома азота алкильные радикалы.

#### Экспериментальная часть

Хлористые S-{4,6-бис-ариламино-симм-триазинил -2-тиуронии. 0,76 г (0,01 моля) тиомочевины, растворенной в 20 мл безводного аце тона, добавляют 0,01 моля 2-хлор-4,6-бис-ариламино-симм-триазин; Смесь три перемешивании кипятят на водяной бане в течение 4 часот Выпавший осадок отсасывают, промывают безводным ацетоно (табл. 1).

Таблица

	о°, пожива °С		Анализ, 0/0						
			N		S		CI		
Ar		Т. раза., °C	Молекулярная формула	пайдено	вычис-	найдено	вычис-	найлено	вы инс-
C <sub>4</sub> H <sub>5</sub>	90,4	262—263	C <sub>16</sub> H <sub>16</sub> CIN <sub>7</sub> S	25,85	26,23	8,25	8,56	9,13	9,50
o-CH3-C6H4	64,1	218—219	C18H20CIN7S	24,38	24,40	7,63	7,97	8,42	8,84
M-CH2-C4H4	90,0	241—242	C18H20CIN7S	24,20	24,40	7,58	7,97	8,53	8,84
o-CI-C <sub>6</sub> H <sub>4</sub>	97.7	197	C <sub>16</sub> H <sub>14</sub> Cl <sub>3</sub> N <sub>7</sub> S	22,36	22,14	7.05	7,23	24,66	24,06
M-CI-CaH4	99.0	272—273	C18H14CI3N7S	22,01	22,14	7,15	7,23	24,44	24,06
n-CI-CeH4	87,5	284—286	C16H14Cl3N7S	22.25	22, 14	7,60	7,23	24,27	24,06

4,6-бис-Ариламино-симм-триазинил-2-меркаптоуксусные кислоты. К 0,01 моля хлористого S-{4,6-бис-ариламино-симм-приазинил}-2-тиурония прибавляют 0,8 г (0,02 моля) едкого натра в 16 мл 50% ного этанола. Смесь кипятят 2 часа на водяной бане при перемешнавнии, прибавляют 1,9 г (0,02 моля) монохлоруксусной кислоты и 1,6 г (0,04 моля) едкого натра в 16 мл 50%-ного этаноля. Продолжают нагревание в течение 3 часов, отгоняют этанол, остаток растворяют в горячей воде и подкисляют соляной кислотой. Вышавший осадок отсасывают и перекристаллизовывают из этилцелозольва (табл. 2).

Таблица 2

A						нализ. <sup>0</sup> / <sub>0</sub>				
	BHXO, 0,0	т. разл., °С	Молекулярная формула	N		S	CI			
Ar				наплено	вычис-	найдено вычис- лено	найдено	вычис-		
C₄H <sub>5</sub>	98,5	>340	C <sub>17</sub> H <sub>15</sub> N <sub>5</sub> SO <sub>2</sub>	19,90	19,83	8,959,06	_	-		
-છ-CH₃—C₄H₄	99,0	216-217	C19H19N5SO2	18,21	18,37	8,098,39	_	_		
NE-CH3-C4H4	99,0	185186	C19H19N5SO2	17,90	18.37	8,118,39	-	_		
-o-CIC4H4	71,4	207-208	C17H12C12N5SO2	16,90	16,58	7,197,58	16,64	16,82		
W-CI-COIH4	95,2	220-221	C17H13C12N5SO2	16,82	16,58	8,017,58	17,21	16,82		
IZ-CIC4H4	71,4	247 —248	C <sub>17</sub> H <sub>13</sub> Cl <sub>2</sub> N <sub>5</sub> SO <sub>3</sub>	16,50	16,58	7,16 7,58	17,31	16,82		

# ЛИТЕРАТУРА

1. В. В. Довлатян, Т. О. Чакрян, Дж. А. Мецбурян, Арм. хнм. ж., 24, 264 (1971).

# 2 Ц 3 4 Ц 4 Ц 5 Р Р Г Р Ц 4 Ц 5 Ц Г Г Ц 9 Р Г АРМЯНСКИЯ ХИМИЧЕСКИЯ ЖУРНАЛ

XXIV, № 7, 1971

УДК 547.91

# **в-ЦИАНЭТИЛОВЫЙ ЭФИР ЛУПИНИНА**

в. А. МНАЦАКАНЯН и Л. С. АРУТЮНЯН

Институт тонкой органической химии АН Армянской ССР (Ереван)
Поступило 30 XII 1970

В поисках возможностей направленной модификации структуры лупинина I изучено цианэтилирование этого алкалоида разными количествами акрилонитрила в присутствии катализатора (твердое едкое кали
и его водный раствор) и растворителей (эфир, бензол, тепрагидрофуран)
при напревании и без напревания. Наилучший результат был получен
при кипячении I с несколько большим, чем эквимольное, количеством
акрилонитрила в тетрагидрофурановом растворев присутствии 40%-ного
едкого кали. Учитывая, что реакция спирта с акрилонитрилом—
обратимый процесс, лимитируемый стадией присоединения аннона спирта к акрилонитрилу, протекающей во времени [1], мы контролировали
реакцию тонкослойной хроматографией Установлено, что максимальное
образование в-цианэтилового эфира лупинина II, судя по соотношению
площадей и интенсивности окраски пятен I и II на ТСХ, происходит к
концу 8-часового кипячения. Выход II не повышлся при более продолжительном напревании и увеличении количества акрилонитрила.

Осуществлен ряд превращений II. Так, при алкоголизе II в этанольно-кернокислом растворе происходит образование β-карбэтоксиэтилового эфира лупинина III, а восстановление II алюмогидридом лития приводит к γ-аминопропиловому эфиру IV. Эфир III был получен также пооредством солянокислого гидролиза II и этерификации образовавшегося β-карбоксиэтилового эфира лупинина V.

Попытки щелочного гидролиза II до V были малоэффективны, так каж даже непродолжительное напревание спиртовых растворов II с 50%-ным едким кали и 5%-ным едким натром приводили, в основном, у лупинину. Децианэтилирование наблюдалось частично, также при аль коголизе и восстановлении, и в несколько большей степени—при соляно кислом гидролизе β-цианэтилового эфира.

$$\begin{array}{c} CH_2OH \\ \hline \\ CH_3-CHCN \\ \hline \\ CH_2O(CH_2)_2COOC_2H_5 \\ \hline \\ CH_2O(CH_2)_2COOH \\ \hline \\ CH_2O(CH_3)_2COOH \\ \hline \\ CH_3O(CH_3)_2COOH \\ \hline \\ CH_3O(CH_3)_3COOH \\ CH_3O(CH_3)_3COOH \\ \hline \\ CH_3O(CH_3)_3COOH$$

#### Экспериментальная часть

ТСХ проводилась в тонком слое окиси алюминия II степени активности в системе хлороформ-этанол (30:1). Проявитель—пары йода. Оптическая активность определялась на круговом поляриметре СМ-1.

В-Шианэтиловый эфир лупинина (II). Смесь 25,4 г (0,15 моля) I (с т. пл. 69—70° [2]), 30 мл тепратидрофурана, 3 мл 40%-ного раствора едкого кали и 10,6 г (0,2 моля) акрилонитрила кипятилась при перемешивании 8 часов. Раствор декантировался с выпавшего осадка, последний промывался эфиром. Эфирно-тетратидрофурановый раствор сушился над едким кали. Растворитель отгонялся и остаток фракционировался в сакууме. Получено 6,3 г фракции с т. кип. 132—158°/4 мм (ТСХ, интенсивное пятно с R<sub>I</sub> 0,34—I и слабое пятно с R<sub>I</sub> 0,45—II) и 23,0 г фракции с т. кип. 160—164°/4 мм (ТСХ, одно пятно с R<sub>I</sub> 0,45).

Выход II —  $69^{\circ}/_{0}$  (85,5°/<sub>0</sub>, считая на вступивший в реакцию I). Т. пл.  $52-53^{\circ}$ ; [2] $_{0}^{21}-28^{\circ}\pm1,5^{\circ}$  (С 3,65, ацетон). Найдено  $_{0}^{\circ}$ : С 70,74; Н 10,10; N 12,79. С<sub>13</sub>Н<sub>22</sub>N<sub>2</sub>O. Вычислено  $_{0}^{\circ}$ : С 70,23; Н 9,97; N 12,60. В ИК спектре имеется полоса при 2250 см<sup>-1</sup> (С $\equiv$ N) и отсутствует полоса активного водорода. Йодметилат, т. пл. 134—135,5° (из ацетона).

β-Карбэтоксиэтиловый эфир лупинина (III). а) Получен по вналогии с [3]. Раствор 20 г (0,09 моля) II в 50 мл абсолютного этанола и 30 г концентрированной серной кислоты кипятился при перемешивании 12 часов, охлаждался, разбавлялся 100 мл воды, подщелачивался содой и экстрагировался эфиром. Эфирный раствор сушился над сульфатом натрия, эфир отгонялся. Остаток (TCX, Rf 0,47 — III и

- 0,32-1) фракционировался в вакууме. Выход фракции с т. кип.  $170-174^\circ/6$  мм,  $n_D^{23}$  1,4855, составил 18,1 г (74,5%). На ТСХ  $R_t$  0,47;  $|\alpha|_D^{23}-22\pm1^\circ$  (С 7,25, ацетон). Найдено %: С 67,27; Н 10,45; N 5,05.  $C_{15}H_{27}NO_3$ . Вычислено %: С 66,86; Н 10,12; N 5,19. В ИК спектре имеется полоса 1730 (СООС $_2H_3$ ) и отсутствует полоса в интервале 2200-2300 см $^{-1}$ . Йодметилат, т. пл.  $115-117^\circ$  (из ацетон—эфира).
- 6) Раствор 5 г (0,0225 моля) II в 20 мл концентрированной соляной кислоты кипятился 6 часов, охлаждалоя, промывался эфиром, подщелачивался 10% ным едким натром и экспрагировался эфиром. Эфирный раствор сущился над сульфатом натрия, выпаривался досуха. Остаток—белые кристаллы с т. пл. 67—68°, R<sub>f</sub> 0,33. Проба смешения с I плавится без депрессии. Выход 2,1 г. Щелочной раствор выпаривался досуха. Остаток смешивался с 50 мл абсолютного этанола. Смесь насыщалась хлористым водородом, кипятилась 5 часов и фильтровалась. Фильтрат выпаривался, сухой остаток растворялся в воде. Раствор подщелачивался содой и экстралировался эфиром. Эфирный экстракт обрабатывался как в пункте «а». Получено 2,5 г бесцветного масла с т. кип. 171—173°/6 мм; по 1,4858; R<sub>f</sub> 0,47; выход III 44°/0.
- $\gamma$ -Аминопропиловый эфир лупинина (IV). Раствор 10 г (0,045 моля) II в 50 мл абсолютного эфира прибавлялся к суспензии 4,2 г (0,11 моля) алюмогидрида лития в 100 мл абсолютного эфира. Смесь перемещивалась и кипятилась в атмосфере авота 10 часов, разлагалась при охлаждении 6 мл воды и 6 мл 20%-ного едкого напра. Эфирный слой отделялся. Осадок фильтровался, промывался эфиром. Эфирный раствор сущился над едким кали и выпаривался. Остаток перегонялся. Выход фракции с т. кип.  $120-125^{\circ}/2$  мм составил 7,1 г ( $70^{\circ}/_{0}$ );  $12^{\circ}/_{0}$  1,5012;  $12^{\circ}/_{0}$  0,19;  $12^{\circ}/_{0}$  21°  $12^{\circ}/_{0}$  21°  $12^{\circ}/_{0}$  3 мм составил 7,1 г ( $12^{\circ}/_{0}$ ) с 69,47;  $12^{\circ}/_{0}$  1,1,42; N 12,70.  $12^{\circ}/_{0}$  21°  $12^{\circ}/_{0}$  8ычислено  $12^{\circ}/_{0}$  С 68,98; Н 11,60; N 12,37.

γ-Аминопропиловый эфир лупинина—беспветное масло, сильно поглощающее углекислоту из воздуха. Карбонат, т. пл. 87—88°.

Фракция с т. кип. 109—1118°/2 мм составила 0,7 г и на ТСХ показала пятна с  $R_{\rm f}$  0,19—IV, 0,33—I и 0,43.

Взаимодействие II со щелочью. а) Смесь 1 г (0,006 моля) II, 5 м этанола, 0,5 г едкого кали в 0,5 мл воды киплятилась 1 час. На ТСХ реакционная смесь показала пятна с R<sub>I</sub> 0 и 0,33—I. Спирт отгонялся, остаток разбавлялся 20 мл воды и экспрагировался эфиром. Из эфирного раствора после сушки над сульфатом натрия и выпаривания досуха получили 0,61 г (80,2%) I с т. пл. 67—68°, R<sub>I</sub> 0,33.

Водно-щелочной раствор подкислялся соляной кислотой и выпаривался досуха. Остаток смешивался с 25 мл 3%-ного этанольного раствора хлористого водорода и кипятился 2 часа. Смесь выпаривалась досуха, растворялась в 10 мл воды, подщелачивалась содой и экспрацировалась эфиром. Из эфирного раствора после сущки и выпаривания получили 0,2 г масла с R<sub>1</sub> 0,47. Выход III 12%. б) Смесь 1 г II, 20 мл метанола и 3 мл 5%-ного едкого натра кипятилась 1 час и обрабатывалась, как выше. Получено 0,62 г (81,5%) I и 0,24 г (15%) III.

#### ЛИТЕРАТУРА

- 1. M. Wronski, J. Bogdanski, C. A., 62, 3903c (1965).
- 2. А. Л. Миджоян, В. А. Мнацаканян, Л. С. Арутюнян. М. С. Мурадян, Арм. хнм. ж., 24., 271 (1971).
- 3. И. Н. Назаров, Г. А. Швехгеймер, ЖОХ, 24, 165 (1954).

#### письма в РЕДАКЦИЮ

УДК 542.91+547.362.

# РЕАКЦИЯ ФУНКЦИОНАЛЬНО ЗАМЕЩЕННЫХ АЦЕТИЛЕНОВЫХ СПИРТОВ С ИЗОМАСЛЯНЫМ АЛЬДЕГИДОМ

В ходе работ по синтезу и изучению непредельных систем нами обнаружено, что напревание функционально замещенных ацетиленовых спиртов I с изомасляным альдегидом в апротонных растворителях (бензол, толуол, коилол и т. д.) в присутствии кислот приводит к образованию либо замещенных алленовых II (при 100—110°), либо диеновых III (при 120—150°) альдегидов с хорошими выходами:

$$RR^{I}C(OH)C \equiv CX \longrightarrow R^{II}CH=C(X)C(CH_{3})_{2}CHO$$

$$III$$

$$RR^{I}CH=C(X)C(CH_{3})_{2}CHO$$

$$III$$

 $R = R^{I} = H$ , алкил, циклоалкил; X = CI, Br,  $CH = CH_2$ .

Строение полученных соединений доказано даными ИК опектров, превращением алленовых альдегидов II в диеновые III и изучением их химических свойотв.

II.  $R=R^1=CH_3$ , X=CI; выход  $76,4^0/_0$ ; т. кип.  $63-64^\circ/3$  мм;  $n_D^{20}$  1,4852;  $d_A^{20}$  1,0016;  $MR_D$  найдено 49,37, вычислено 47,70. Найдено  $^0/_0$ : CI 20,54.  $C_0H_{13}$ OCI. Вычислено  $^0/_0$ : CI 20,57. ИК спектр:  $^1V_{C-C-C}$  1961,  $^1V_{CHO}$  1715, 2715 см $^{-1}$ . II.  $R=R^1=CH_3$ , X=Br; выход  $42^0/_0$ ; т. кип.  $71-74^\circ/2$  мм;  $n_D^{20}$  1,5050;  $d_A^{20}$  1,2819;  $MR_D$  найдено 50,20, вычислено 50,60. Найдено  $^0/_0$ : Br 38,53.  $C_0H_{13}$ OBr. Вычислено  $^0/_0$ : Br 36,86. ИК спектр:  $^1V_{C-C-C}$  1956,  $^1V_{CHO}$  1703, 2094 см $^{-1}$ . II.  $R=CH_3$ ,  $R^1=C_2H_5$ , X=Br; выход  $34^0/_0$ ; т. кип.  $80-83^\circ/3$  мм;  $n_D^{20}$  1,4970;  $d_D^{20}$  1,2070;  $MR_D$  найдено 55,97, вычислено 55,22. Найдено  $^0V_0$ : Br 36,90.  $C_{10}H_{15}$ OBr. Вычислено  $^0V_0$ : Br 34,63. ИК спектр:  $^1V_{C-C-C}$  1956,  $^1V_{CHO}$  1722, 2712 см $^{-1}$ . III.  $R=R^1=CH_3$ , X=Br; выход  $69^0/_0$ ; т. кип.  $76-77^\circ/4$ мм;  $n_D^{20}$  1,5104;  $d_A^{20}$  1,2843.  $MR_D$  найдено 50,55, вычислено 50,60. Найдено  $^0V_0$ : Br 35,80.  $C_0H_{13}$ Br. Вычислено  $^0V_0$ : Br 36,86. ИК спектр  $^1V_{C-C}$  1625,  $^1V_{CHO}$  1715, 2788 см $^{-1}$ .

III. R=CH<sub>3</sub>, R<sup>1</sup> = C<sub>2</sub>H<sub>5</sub>, X=Br; получа ется из II R=CH<sub>3</sub>, R<sup>1</sup> = C<sub>2</sub>H, X=Br, с 87,5% выходом, т. кип. 86—88% им;  $n_D^{20}$  1,5049;  $d_4^{20}$  1,2503; MRD найдено 55.55, вычислено 55,22. Найдено %: Br 32,65. С<sub>10</sub>H<sub>15</sub>OBr. Вычислено %: Br 34.63. ИК спектр;  $\nu_{\rm CHO}$  1626,  $\nu_{\rm CH_3}$  919, 957, 310%,  $\nu_{\rm CHO}$  1719, 2718 см<sup>-1</sup>.

Судя по полученным данным, можно сказать, что электроноакцепторные заместители в 2-положении тройной связи (X=Cl, Br) облегчают реакцию, в то время как электронодонорные заместители (X=Cl·l=Cl·l<sub>2</sub>) не только затрудняют реакцию, но и способствуют протеквнию побочных процессов. Исследования по дальнейшему изучению условий и области приложения реакции продолжаются.

Ш. О. БАДАНЯН, Г. Р. МХИТАРЯН, А. А. ГЕВОРКЯН

Институт органической химии АН АрмССР (Ереван)

Поступило 24 IX 1970

УДК 542.957.2+547.362

# ВЗАИМОДЕЙСТВИЕ РЕАКТИВА ГРИНЬЯРА С АЦЕТАТОМ БУТИН-2-ОЛА-1

Нами показано, что при взаимодействии реактива Гриньяра с ацетатом бутин-2-ола-1 в эфире (диэтиловый, дибутиловый или диизоамиловый), аналогично простым эфирам алкин-2-олов-1 [1], протекает лепкое замещение ацетатной группы радикалом реактива Гриньяра. При этом с выходами 60—70% образуются изомерные продукты замещения—соответствующие аллены с примесью (8—10%) дизамещенных ацетиленов—продуктов нормального замещения.

$$CH_{3}C \equiv CCH_{2}OCOCH_{3} \xrightarrow{RMgBr} \xrightarrow{CH_{3}} C = C - CH_{2} + CH_{3}C \equiv CCH_{2}R$$

$$R = C_{2}H_{5}; \quad C_{3}H_{7}; \quad C_{4}H_{9}.$$

Чистота и соотношение полученных изомерных углеводородов определялись методом ГЖХ (детектор—катарометр, колонка с  $10^{\circ}/_{\circ}$  апиезона—L и  $10^{\circ}/_{\circ}$  твина-80 на хромосорбе W, длина 2 M, газ-носитель гелий, 30 Mл/мин, температура  $55-120^{\circ}$ ).

Аналогичные результаты получены и при реакции с пропил- и бутилмагний бромидами. Механизм взаимодействия изучается.

Э. С. ВОСКАНЯН,Э. В. ПИРУЗЯН,С. М. ГАСПАРЯН,Г. М. МКРЯН

Всесоюзный научно-исследовательский и проектный институт полимерных продуктов (Ереван)

Поступило 26 III 1971

#### ЛИТЕРАТУРА

1. Г. М. Мкрян, Ш. Л. Мнджоян, С. М. Гаспарян, Арм. хим. ж., 19, 37 (1966). Г. М. Мкрян, С. М. Гаспарян. Э. А. Аветисян, Ш. Л. Мнджоян, ЖОрХ. 3, 808 (1967); Г. М. Мкрян, С. М. Гаспарян, Н. К. Мелконян, А. А. Назарян, ЖОрХ. 6, 912, (1970).

# 2 Ц 3 Ч Ц Ч Ц Б Р Г Р Ц Ч Ц Б Ц Г Г Ц Ч Р Р АРМЯНСКИЯ ХИМИЧЕСКИИ ЖУРНАЛ

XXIV, № 7, 1971

#### АННОТАЦИИ И РЕФЕРАТЫ СТАТЕЯ, ДЕПОНИРОВАННЫХ В ВИНИТИ

УДК 547.725

#### ИССЛЕДОВАНИЯ В ОБЛАСТИ ПРОИЗВОДНЫХ ФУРАНА

XL. ПРОИЗВОДНЫЕ *бис*-ГАЛОИДМЕТИЛФУРАН-2-КАРБОНОВЫХ ЭФИРОВ

А. Л. МНДЖОЯН , Г. Л. ПАПАЯН и Г. Е. ГАБРИЕЛЯН

Институт тонкой органической химин АН Армянской ССР (Ереван)

Изучена реакция бромирования эфиров 4-хлор (бром) метил-5-метил-фуран-2-карбоновых кислот. На основе полученных бис-галондметильных и исходных моногалондметильных производных синтезирован ряд соединений. Так, взаимодействием с уротропином получены моно-(I, II) и бис-уротропиновые (III, IV) соли. Последние переведены в моно-(V) и бис-аминометильные (VI) соединения. Из триптамина и 4,5-бис-бромметилфуран-2-карбонового эфира получен метиловый эфир 4,5-ди(β-индолил-2-этил) аминометилфуран-2-карбоновой кислоты (VII). Взаимодействием с этиламином и пиперидином из 4-бромметил-5-метилфуран-2-карбонового эфира синтезированы соединения VIII и IX, бромированием метильных прупп которых получены соединения X и XI.

4-Ацетоксиметил-5-метилфуран-2-карбоновый эфир (XII) бромирован по метильной групппе XIII, из которого получено 5-этиламинометильное соединение XIV.

С сульфидом натрия 4,5-бис-бромметилфуран-2-карбоновый эфир образовал 2-карбметокси-За, 4, 6, ба-тетрагидротиено-(3,4b)-фуран (XV), из которого получены гидравид XVI, кислота XVII и хлорангидрид XVII.

Из 0,01 моля 4-хлорметил-5-метилфуран-2-карбонового эфира и 0,01 моля уротрошина в хлороформе с 90,4% выходом получена уротрошиновая соль I, т. пл. 187—188°. Аналогично из 4-бромметильного производного с 92% выходом получена соль II, т. пл. 182—183°.

В тех же условиях, но с двойным количеством уротропина получены бис-уротропиновые соли 4-хлорметил-5-бромметил (III) - и 4,5-бис-бромметилфуран-2-карбоновых эфиров (IV), выход 89%, т. пл. 1:15—1:16°.

Из 0,01 моля уротропиновых солей I и II обычным путем получен гидрохлорид 4-аминометил-5-метилфуран-2-карбонового эфира (V). Выход 46,8%, т. пл. 188—189°. Из III и IV получается цигидрохлорид 4,5-бис-аминометилфуран-2-карбонового эфира (VI). Выход 57,4%, т. пл. 59—60°. Из основания соединения VI получены моногидрохлорид, т. пл.

157—158°, монойодгидрат т. пл. 167—168° и йодгидрат монометиламин эметилпроизводного, т. пл. 198—199°.

Взаимодействием 0.01 моля 4,5-бис-бромметилфуран-2-карбонового эфира с 0,04 молем триптамина получен метиловый эфир 4,5-ди (β-индолил-2-этил) аминометилфуран-2-карбоновой кислоты (VII). Т. пл. дигидрохлорида 216—218°.

Моноуротропиновая соль бромированного продукта 2,3-диметил-фурана плавится при 197—198°. Из 0,01 моля 4-бромметил-5-метилфуран-2-карбонового эфира и 0,02 моля этиламина с 63,8% выходом получен VIII, т. кип. 155—157°/30 мм. Гидрохлорид, т. пл. 209—10°. Аналогично получено 4-пиперидинометильное производное IX. Выход 60,1%, т. кип. 160—165°/30 мм. Т. пл. пикрата 154—155°, гидрохлорида 210—211°, гидробромида 213—214°. Действием на 0,01 моля VIII 0,01 моля брома и последующей обработкой с 42,2% выходом получено соединение X, т. пл. 169—170°. Аналогично получено соединение XI из IX. Выход 58,6%,т. пл. 223—224°.

Из 0,01 моля 4-бромметил-5-метилфуран-2-карбонового эфира и 0,01 моля прокаленного уксуснокислого натрия с 69,7% выходом получено соединение XII, т. кип. 170—172°/7 мм.

Действием на 0.01 моля XII 0,01 моля брома с 86,9% выходом получено 5-бромметильное производное (XIII), т. кип. 105—110°/10 мм.

Из 0,01 моля XIII и 0,02 моля этиламина получено этиламинометильное производное XIV, охарактеризованное в виде ликрата, т. пл. 184—185°.

10-чассовым напреванием 0,01 моля 4,5-бис-бромметилфуран-2-карбонового эфира и 0,01 моля сульфида наприя и последующим растиранием смолообразного остатка с ацетоном с 60,2% выходом получено XV, т. пл. 258—259°. Омылением последнего с 68,7% выходом получена кислота XVII, которая не плавится выше 300°. Действием на бензольный раствор XVII избытком хлористого тионила с 68,0% выходом получен хлорангидрид XVIII, т. пл. 174—175°.

Из 0,02 моля XV и гидрата гидразина в диоксане с 80,9% выходом получен гидразид XVI, который не плавится выше 420°.

Полный текст статьи депонирован в ВИНИТИ

Библ ссылок 5.

.Регистрационный номер—2771—71 Деп. от 31 марта 1971 г.

Поступило в VI 1969

УДК 547.295.2+547.4665

## СИНТЕЗ НОВЫХ ПРОИЗВОДНЫХ КАПРОЛАКТАМА

# III. ПОЛУЧЕНИЕ ЗАМЕЩЕННЫХ ЛАКТОН—ЛАКТАМНЫХ СОЕДИНЕНИИ

#### Э. Г. МЕСРОПЯН, Ю. А. БУНЯТЯН и М. Т. ДАНГЯН

Ереванский государственный университет

Окислением 30 г N-метилкапролактил-аллилмалонового эфира (I). 15,7 мл 30%-ной перекиси водорода (II) в присутствии 44,9 мл уксусного ангилрида (III) получен с 38,2% выходом α-(N-метилкапролактил)-α-карбэтокси-δ-окси-γ-валеролактон (IV) с т. кип. 205—210°/0,5 мм.

Окислением 20 г N-метилкапролактил- $\gamma$ -хлоркротилмалонового эфира (V), 8,11 мл II в присутствии 23,2 мл III, с 68,4% выходом получен  $\alpha$ -(N-метилкапролактил)- $\alpha$ -карбэтокси- $\gamma$ -ацетил- $\gamma$ -бутиролактон (VI) с т. кип. 215—220°/1 мм.

Гидролизом и последующим декарбоксилированием 6 г IV, 2,3 г едкого натра (VII) и 4,5 мл воды (VIII) с 75,7% выходом получен  $\alpha$ -(N-метилкапролактил)-3-окси- $\gamma$ -валеролактон (IX) с т. кип. 201-202%2 мм.

Гидролнзом и последующим декарбоксилированием 7 г VI, 2,6 г VII и 5 мл VIII с  $80,8^{\circ}/_{\circ}$  выходом получен  $\alpha$ -(N-метилкапролактил)- $\gamma$ -ацетил- $\gamma$ -бутиролактон (X) с т. кип.  $186-187^{\circ}/1$  мм.

Гидролизом и последующим декарбоксилированием 40г I, 14,8 г VII и 15 мл VIII с 79% выходом получена N-метилкапролактил-аллилуксусная кислота (XI) с т. кип. 197—200°/1 мм.

Гидролизом и последующим декарбоксилированием 80 г V, 25,7 г VII и 30 мл VIII получена с  $68,3^{\circ}/_{\circ}$  выходом N-метилкапролактил- $\gamma$ -хлоркротилуксусная кислота (XII) с т. кип.  $215-219^{\circ}/1$  мм.

Этерификацией 41,7 г XI, 53,9 мл абсолютного этилового спирта (XIII) и 2 мл концентрированной серной кислоты (XIV) с  $59,7^{\circ}/_{\circ}$  выходом получен этиловый эфир N-метилкапролактил-аллилуксусной кислоты (XV) с т. кип.  $135-136^{\circ}/_{\circ}/_{\circ}$  мм.

Этерификацией 39 г XII, 41,6 мл XIII и 1,5 мл XIV с  $65,1^{\circ}/_{\circ}$  вы-кодом получен этиловый эфир N-метилкапролактил- $\gamma$ -хлоркротилуксусной кислоты с т. кип.  $175-178^{\circ}/1$  мм.

Окислением 20,2 г XV, 13,6 мл 27% II в присутствии 40 мл III с 75,36% выходом получен IX с т. кип. 190—192°/1 мм.

Окислением 14,1 г XVI, 7,9 мл  $30^{\circ}/_{0}$ -ной II в присутствии 23 мл III с  $61^{\circ}/_{0}$  выходом получен X с т. кип.  $186-187^{\circ}/_{1}$  мм.

Полный текст статьи депонирован в ВИНИТИ

Библ. ссылок 8.

Регистрационный номер-2770-71 Деп. от 31 марта 1971 г.

Поступило 7 VII 1970

УДК 542.91+547.476.1

# СИНТЕЗ 2-ЗАМЕЩЕННЫХ 2-КАРБЭТОКСИ-7-ФОРМИЛ-БУТИРОЛАКТОНОВ И ИХ ПРЕВРАЩЕНИЯ

М. Г. ЗАЛИНЯН: О. А. САРКИСЯН и М. Т. ДАНГЯН Ереванский государственный университет

Описан синтез а-замещенных а-карбэтокси-ү-формилбутиролактонов (III). Исходными веществами служили 4-замещенные 4,4-дикарбэтоксибутанали (I). Синтез а-замещенных ү-формиллактонов осуществлялся бромированием бутаналей и последующей циклизацией а-бромбутаналей II:

При окислении α-замещенных γ-формилбутиролактонов перекисью водорода в среде муравьиной кислоты образуются α-замещенные α-карбэтокси-γ-карбоксибутиролактоны (IV), а при восстановлении формиллактонов изопропилатом алюминия—α-замещенные α-карбэтокси-δ-окси-γ-валеролактоны (V), гидролиз и декарбоксилирование которых приводит к α-замещенным γ-карбоксибутиролактонам (VI) и α-замещенным δ-окси-γ-валеролактонам (VII), соответственно:

 $R = C_2H_5$ ,  $C_8H_7$ ,  $a30-C_3H_7$ ,  $C_4H_9$ ,  $a30-C_4H_9$ ,  $C_5H_{11}$ ,  $a30-C_5H_{11}$ ,  $C_8H_9CH_2$ .

Этерификацией а-замещенных ү-карбоксибутиролактонов IV и VI получены соответствующие ү-карбэтоксибутиролактоны VIII и IX.

Полный текст статья депонирован в ВИНИТИ
Регистрационный номер—2854—71 Деп. от 26 апреля 1971 г.

Табл. 7, библ. ссылок 19.

Поступило 6 VII 1970

#### 

XXIV, № 7, 1971

УДК 66.096.5+678.744.423

# СИНТЕЗ ВИНИЛПРОПИОНАТА В ПСЕВДООЖИЖЕННОМ СЛОЕ КАТАЛИЗАТОРА

А. Е. АКОПЯН, В. К. ЕРИЦЯН, В. К. БОЯДЖЯН и Д. Р. МУСАЕЛЯН

Еренвнокий отдел НПО «Пластполимер»

Предложен новый смешанный цинк-кадмийпропионатный катализатор для синтеза винимпропионата из ацетилена и пропионовой кислоты в условиях псевдоожижения катализатора. Исследована зависимость активности смешанного жатализатора от следующих параметров:

- 1. температуры синтеза;
- 2. соотношения пропионатов цинка и кадмия;
- 3. суммарного содержания пропионатов цинка и кадмия на активированном угле;
- 4. объемной скорости парогазовой смеси.

Выявлено, что при синтезе винимпропионата из ацетилена и пропионовой кислоты самым активным из испытанных катализаторов (цинкпропионатного, цинк-кадмийпропионатного и кадмийпропионатного) является смещанный, содержащий цинкпропионат и кадмийпропионат с весовым соотношением 1:1 и осажденный на активированный уголь марки AP-3д.

Активность этого катализатора в 1,6—2 раза превышает активность цинкпропионалного и в 2,5—3 раза кадмийпропионатного.

Полный текст статьи депонирован в ВИНИТИ

Рис. 4, табл. 1, библ. ссылок 4.

Регистрационный номер—2855—71 Деп. от 26 апреля 1971 г.

Поступило 19 II 1970

УДК 543.42+549.6

# СРАВНИТЕЛЬНОЕ ИЗУЧЕНИЕ ПРАКТИЧЕСКИХ ВОЗМОЖНОСТЕЙ ХИМИКО-СПЕКТРАЛЬНОГО МЕТОДА АНАЛИЗА НАТРИЕВОГО ЕРЕВАНИТА

#### О. Б. АФРИКЯН и А. В. КАРЯКИН

Институт общей и неорганической хамин АН Армянской ССР (Ереван)

В работе исследован химико-спектральный метод определения примесей в среваните-15, основанный на разделении ереванита на силикатель и солянокислый раствор с дальнейшим опектральным анализом концентратов, полученных на основах угольного порошка и хлористого натрия.

Навоску 0,2 г натриевого ереванита (влажн. 42,5%) обрабатывали 2 мл 10% ного раствора соляной кислоты марки «хл.» Разложенную часть карбоната после обработки натриевого ереванита кислотой переносили в отдельную чашку. Туда же был перенесен раствор вторичной промывки SiO<sub>2</sub> 1—2 мл деновизированной воды. Все операции проводились во фторопластовой пооуде. Полученный раствор выпаривали досуха и весь сухой остаток NaCl подвергали опектральному анализу. Силикагель—осадок, неполностью освобожденный от натрия, обрабатывали 0,5—1 мл фтористоводородной кислоты, добавляли 0,02 г угольного порошка. Полученный угольный концентрат также подвергался спектральному анализу.

Чувствительность определения примесей в хлористом натрии составила  $n\cdot 10^{-4}-1\cdot 10^{-3}$ , а в  $SiO_2-1\cdot 10^{-5}-1\cdot 10^{-1}$   $^{0}/_{0}$ . Проведено детальное изучение распределения примесей из натриевого ереванита в растворе и осадке силикагеля.

Располагая коэффициентами, характеризующими отношение содержания ( $Me_{oc.}/Me_{p-p}$ ), возможно вычислить истинную концентрацию примесей в растворе (табл.).

Дальнейшее изучение показало, что практически при любых соогношениях содержания примесей их мсжно определять в наприевом ереваните с достаточной точностью, если вводить рассчитанные коэффициенты для избирательного анализа осадка—силикателя. Ошибка же воспроизводимости распределения натрия в остатке силикателя (после разложения натриевого ереванита кислотой), определяемого в интервале концентраций 1—0,5%, составляет до ±3%.

Экспериментальная проверка предложенного метода на образцах натриевого ереванита с различным содержанием соды (5—8%) показала достаточную эффективность его применения.

Таблица

		A						
	Анализ, °/о							
Проба	Al	Ti	Mn	Ca	Fe	Mg		
Ереванит-15 (натриевый)	2.10-2	8-10-4	4,5-10-4	3-10-2	7 - 10 -3	2,3.10-3		
Найденное содержание примесей в силикателе	5,4.10-3	8,3.10-4	8.5.10	8,8.10-1	4,7.10-3	9.10-4		
Отношение (Меос/Мер-р)	0,30	_	0,20	0,021	1,3.	0,42		
Истинное содержание в растворе	1,8.10-2	_	5,6·10 <sup>-4</sup>	4,2.10-2	3,6.10-3	2,1·10 <sup>-3</sup>		
Коэффициент к силика- гелю	3,3	-	6,6	47	1,3	2,3		
Раствор соляной кислоты (10°/0-ный)	3.10-5	не обн.	1.10-6	5.10-5	8-10-6	4-10-6		
Фтористоводородная кислота	2,8·10 <sup>-5</sup>	не обн.	1.10-6	2-10-5	7-10-6	2.10-6		
Вода денонизированная	1.10-5	не обн.	1.10-6	2,5-10-5	7,5-10-6	1-10-6		

Полный текст статьи депонирован в ВИНИТИ

Регистрационный номер—2856—71 Деп. от 26 апреля 1971 г.

Табл. 4, библ. есылок 5.

Поступило 11 VIII 1969

#### Ընդհանոււ և ֆիզիկական քիմիա

Codumence a Chidhdadae che ha	
Tk. Հ. Մանթաշյան, Ս. Մ. Նիագյան, Ա. Բ. Նալբանդյան — Գադ ֆադում բևնդոլի «թոհղացումը»   Բենդոլի ինալիկ օրոիդացման ռևակցիայում ֆենոլի կու- աակման կինետիկան  Մ. Խ. Մինասյանց, Յու. Տ. Սարուչկով — 2-Շեոպենտիլալլիլպալադիումբլորիդի	339
ի յուրեղական և մոլնկուլային կառուցված ջները	369
<b>Ա</b> նօւգանական և <b>ա</b> նալի <b>շ</b> իկ քիմիա	
O O Shaften e o no 1 e de aller a man de al	
9. 9. Տերժենջյան, Գ. Ս. Գայբակյան — Վոլֆրաժի(VI) Թրթնչկաթթվային, կիտրո- Նաթթվային և դիներթվային կոժպլերմների բազադրության ժամին	877
Օրգանական Բիմիա	-6
Է. Գ. Մհորոպյան, Զ. Բ. Կարտպետյան, Մ. Տ. Դանգյան — Ալկիլդլիցիդիլժալուս Թեուների դիէերիլէսթերների սինթեղ և նրանց մի ջանի փոխարկումները	383
- Շ. Հ. Բաղանյան, կ. Լ. Սարգսյան, Ա. Հ. Գևորյան — Ձ <i>նադեցած ժիացու.թյունների</i>	100
տևակցիանևը։ [], Դիեններին և ենիններին արիջլորացետոնիարիլի ժիացում Վ. Հ. Դանիելյան, Վ. Գ. Բարիուդարյան, Ս. Գ. Մացոյան — Հիգրօջաիլ և կարբօջաիլ	589
տահութադիսմ քուցույիլըրևուդ մարդմոմ անկերբերբեր վատունվացնի տեսուդրա-	
տիրություն։ III. Գոլիդիժեթիլվինիլէթինիլկարրինոլ-ժետակրիլաթթու պատ-	200
վաստված համատեղ պոլիմերի լուսացրումը և պոլիէլեկտրալիտային ուռչումը	393
վ. վ. Դովլարյան, կ. Ա. Էլիազյան — Գեստիցիդների տինթեզ։ Օ-α-Ալկօբսի-ֆ,3,8- տրիբլորէԲիլգլիկոլաթթուների էթիլային էսթերներ	599
Ս. Հ. Վարդանյան, Է. Լ. Ասոյան, Վ. Ն. Ժամագործյան — Վ <i>ինիլացետիլենի ջիմիա</i> ։	000
LXXXIX. 2, 2, 5, 5-Տետրաժեթիլ-\3.1-դինիդրոֆուրան-3-էթինիլալկիլկարրի-	
ոսնրեն սիրերմ ը բնուրն փոփասկուղբերը	604
Ռ. Մ. հայատրյան, Ս. Կ. Փիրենյան, Ս. Հ. Վարդանյան — Ձհագեցած ժիացություն-	
ների ջիժիա։ XXIV. Մի ջանի տեղակալված 2-օբոո− և 2-թիոտետրանիդրո-	
ոլիրիժիդինների սին թեղ	610
- Քիմիական «հխնոլոգիա	
Է. Վ. Հովնաննիսյան, Ս. Ս. Զաբարյան, Կ. Հ. Շաճինյան — Վինիլացնտատի սինքների մաքենատիկական մոգել՝ կողմնակի ռեակցիաների արդասիջների հաշվառու-	
dnd	617
ե. Է. Հակոբյան , Ցու. Ե. Նալբանդյան, Լ. Հ. Սարգսյան — <i>Գոլիվինիլֆորժալի ստա</i> -	
ցում։ VI. Վինիլացետատի անընդհատ պոլիմերացում բացախաթթվի ջրային	
Intoneillary	622
Կաrն հաղուգումներ	
Վ. Վ. Գովլաթյան, Տ. Հ. Չակրյան — <i>Գեստիրիդների սինթեղ. 4,6-Արիլաժինա</i> -սիմմ-	
արիագինիլ-2-մերկասլառջացախա <i>ը թ</i> ուներ	629
Վ. Հ. Մնացականյան, Լ. Ս. Հարությունյան — <i>Լուպիեինի β-ցիաներիլ հԹերը</i>	632
. Դաղավըրւ խղետվւուհյացն	
Շ. Հ. Բազանյան, Գ. Ռ. Մախթարյան, Ա. Հ. Գևորգյան — <i>Ֆունկցիոնալ տեղակալված</i>	
ացետիլենային սպիրտների ռեակցիան իղոկարագաթթվական ալդեհիղի հետ	686
է. Ս. Ոսկանյան, Է. Վ. Փիրուզյան, Ս. Մ. Գասպարյան, Գ. Մ. Մկրյան — Գ <i>րիъյարի</i>	
ահակարիվի փոխաղդեցությունը թուաին-3-օլ-1-ի ացետատի հետ	638

ԳԵՑԻՀԻ-ում գեպոնացված հոգվածների անո <b>ւացիանե</b> ր և ռեֆերաւն	Tr.
Ա. Լ. Մնջոյան , Գ. Լ. Պապայան, Գ. Ս. Գաբրիհլյան — Հետազոտություններ ֆու-	
տանի ածանցյալների բնագավառում։ XL. բիս-Հալոդենվերիլֆուրան-2-կար-	
հարի ագարհիանրենի երամովասութ, չբ. ենութակարութենն արև 1 և և	638
է, Գ. Մհորոպյան, Ցու Ա. Բունյաթյան, Մ. Տ. Գանդյան — Կապրոլակաաժի հոր	
ածանցյալների սին թեզ։ []]. Տեղակալված լակտոն-լակտամային ժիացու-	
11 Shah amazar d	011
Մ. Գ. Չալինյան, Հ. Ա. Սարգսյան, Մ. Տ. Գանդյան — 2- <i>Տեղակալված 2-կարբէի</i> օրսի-	
	843
2. Ս. Հակոբյան <sub>,</sub> վ. Կ. Երիցյան, վ. Կ. Բոյաջյան, Լ. Ռ. Մուսայելյան — Վ <i>ի</i> ջ <i>իլ</i> -	
ի - Տատի ախերեր կատարիգատորի կեցծ հեցուկ շերաում	011
Հ Բ. Աֆրիկյան, Ա. վ. Կարյակին – Նատիումական հրևվանիտի սպեկտրալ անա-	513
1/7C	
СОДЕРЖАНИЕ	
	Стр
Общая и физическия химия	
А. А. Манташян, О. М. Ниазян, А. Б. Налбандян — Окисление бензола в га-	
зовой фазе. 1. Кинегика наконления фенола в реакции термического	
окисления бензола	559
М. Х. Минасянц, Ю. Т. Стручков — Кристаллическая и молекулярная струк-	
туры 2-неопентил-п-аллилпалладийхлорида	569
Неорганическая и аналитическая химия	
3. 3. Терменджан, Д. С. Ганбакан - О составе оксалатного, цитратного и	
тартратного комплексов вольфрама(VI)	577
Органическая химия	
Э. Г. Месропян, З. Т. Кирапетян, М. Т. Дангян — Синтез и некоторые пре-	
вращения диэтиловых эфиров алкилглицидилмалоновых кислот	583
III. О. Баданян, К. Л. Саркисян, А. А. Геворкян — Реакции непредельных сое-	
динений. II. Присоединение трихлорацетонитрила к некоторым диенам и	Ecc
енинам	589
гидроксил- и карбоксилсодержащих полимеров в растворах. [1]. Свето-	
рассеяние и полиэлектролитное набухание привитого сополимера поли-	
диметилвинильтинилкарбинол—метакриловая кислота	593
В. В. Довлатин, К. А. Элиизян Синтез пестицидов. Этиловые эфиры	030
О-2-алкокси-5,5,3-трихлорэтилгликолевых кислот	599
С. А. Вартанян, Э. Л. Асоян, В. Н. Жамагориян — Химия винилацетилена.	033
LXXXIX. Синтез и превращения 2,2,5,5-тетраметил- $\lambda^{3,4}$ -дигидрофуран-3-	
этинилалкилкарбинолов	60
Р. М. Хачатрян, Р. К. Пиренян, С. А. Вартанян — Химия непредельных сое-	604
динений. XXV. Синтез рекоторых замещенных 2-оксо- и 2-тиотетрагид-	
дановия. А. Синтев рекоторых замещенных 2-оксо- и 2-тнотетрагид-	010

Химическая технология

Э. В. Оганесян, С. С. Захарьян, К. Л. Шагннян — Математическая модель

сиптеза винилацетата с учетом продуктов побочных реакций..... 617

А. А. Акопян , Ю. Е. Налбандян, Л. А. Саркисян — Получение поливинил-	
формадя. VI. Непрерывная полимеризация винидацетата в водном растворе уксусной кислоты	622
Краткие сообщения	
В. В. Довлитян, Т. О. Чакрян — Синтез пестицидов. 4,6-бис-Ариламино-симм- триазицил-2-меркаптоуксусные кислоты	629 632
Письма в редакцию	
III. О. Баданян, Г. Р. Мхитарян, А. А. Геворкян — Реакция функционально замещенных ацетиленовых спиртов с изомасляным альдегидом	636 638
Аннотации и рефераты статей, депонированных в ВИНИТИ	
А. Л. Миджоян . Г. Л. Папаян. Г. Е. Габриелян — Исследования в области	
производных фурана. XL. Произодные бис-галондыетилфуран-2-карбоновых	
эфиров	639
капролактама. III. Получение замещенных лактон-лактамных соединений М. Г. Залинян, О. А. Саркисян, М. Т. Дангян — Синтез 2-замещенных 2-карб-	641
этокси-ү-формилбутиролактонов и их превращения	643
винилпропионата в псевдоожиженном слое катализатора	644
О. Б. Африкян, А. В. Карякин — Химико-спектральный ацализ натриевого ереванита	645
CONTENTS	
General and Physical Chemistry	
A. H. Mantashian, H. M. Niazian, A. B. Nathandian — Vapour Phase Oxidation of Benzene. I. Kinetics of Phenol Accumulation in Thermic Oxidation of	
M. Kh. Minassiants, Yu. T. Struchkov — Crystal and Molecular Structure of	559
2-Neopentyl-m-Allyl-Palladium Chloride	569
Inorganic and Analytical Chemistry	
Z. Z. Termenjian, D. S. Galbakian — On the Composition of Oxalic, Citric and Tartaric Complexes of Tungsten(VI)	577
Organic Chemistry	
E. G. Mesropian, Z. T. Karapetian, M. T. Danghian - Synthesis and Transfor-	
mations of Diethyl Alkylglycidylmalonates	583
Entres	589

V. A. Daniellan, V. G. Barkhudarian, S. G. Matsoyan — Studies on the Structure of Hydroxyl and Carboxyl Containing Polymers in Solutions. III.  Light Scattering and Swelling of Dimethylvinylethinylcarbinol-Methacrylic	<b>F0</b> 2
Acia, Graft-Copolymer	593 599
S. H. Vartanian, E. L. Assoyan, V. N. Zhamagortsian — Vinylacetylene Chemistry. LXXXIX. Synthesis and Transformations of 2,2,5,5-Tetremethyl-	959
A <sup>3,4</sup> -dihydrofuran-3-ethinylalkylcarbinols	610
Chemical Technology	
Chemical recumotogy	
E. V. Hovanessian, S. S. Zakharian, K. A. Shahinian — Mathematical Model of Vinylacetate Synthesis with Consideration of Byproducts	617
H. Ye. Hakoplan, Yu. B. Nalbandian, L. A. Sarkissian - Products of Polyvi-	
nylformal. VI. Continuous Polymerization of Vinyl Acetate in Aqueous Solution of Acetic Acid	622
Short Communications	
and the second s	
V. V. Doviatian, T. H. Chakrian — Synthesis of Pesticides bis-Arylamino-symm- triazinyl-2-mercapioacetic Acids	629
V. H. Mnatsakanlan, L. S. Harutyunlan — β-Cyanoethyl Ether of Lupinine	632
Letters to the Editor	
Sh. H. Badanian, G. R. Mkhitarian, A. A. Cevorkian - Reaction of Substituted	
Acetylenic Alcohols with Isobutyric Aldehyde	635
E. S. Voskanian, E. V. Piruzian, S. M. Casparian, G. M. Mkrian - Interaction	
of Grignard Reagent with Butine-2-ol Acetate	638
Abstracts of Articles Filed at the All-Union Institute of Scientific	
and Technical Information	
A. L. Mnjoyan, G. L. Papayan, G. Ye. Gabrielian - Studies on Furan Deriva-	
tives. XL. Derivatives of bis-Halogenomethylfuran-2-carboxylic Esters	639
E. G. Mesropian, Yu. A. Bunyatian, M. T. Danghian New Derivatives of	-05
Caprolactam. III. Substituted Lactam Compounds	641
M. G. Zalinian, H. A. Sarkissian, M. T. Danghian — Synthesis of α-Substituted α-Carbethoxy-γ-formylbutyrolactones	643
H. Ye. Hakəpian , V. K. Yeritsian, V. K. Boyajian, L. R. Mussaelian — Vinyl	010
Propionate syntesis in Pseudo-Liquid Layer of Catalists	644
H. B. Afrikian, A. V. Karjakin — Chemical-Spectra Analysis of Sodium Yere-	011